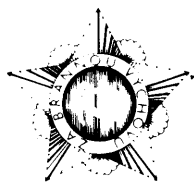


# AMATÉRSKÉ RÁDIO II

NOSITEL  
VYZNAMENÁNÍ  
ZA BRANNOU  
VÝCHOVU  
I. A II. STUPNĚ



## ŘADA PRO KONSTRUKTÉRY

ČASOPIS PRO ELEKTRONIKU  
A AMATÉRSKÉ VYSÍLÁNÍ  
ROČNÍK XXXVIII/1989 ● ● ČÍSLO 2

### V TOMTO SEŠITĚ

**Spolehlivost – jeden ze základních požadavků na moderní výrobu** ... 41

### ZAJÍMAVÁ A PRAKTICKÁ ZAPOJENÍ

**Ještě jednou o časovači 555** ... 42

**Elektronika kolem nás** ..... 49

Zvukové spínače ..... 50

Světelné spínače ..... 51

Nabíječe ..... 52

**Čidla a možnosti jejich využití** .. 54

Měřič  $U_z$  ..... 55

Světelný maják ..... 55

Měřič síly pole ..... 56

Zdroj vn ..... 56

Indikátor tepu ..... 57

Měření impulsů ..... 58

Měření teploty ..... 58

Automatické zalévání ..... 59

Elektrický „proutek“ ..... 60

Určení zásoby vody ..... 60

Pohyb tanku Plastimat ..... 61

Elektronická ladička ..... 61

**Indukční snímače přiblížování** .. 63

Určení kmitočtu krystalu ..... 66

Zesilovač pro sluchátka ..... 67

Hledač kovů ..... 67

Přijímač signálů OMA ..... 69

**Osobní mikropočítáče (dokončení  
z AR B1)** ..... 75

### AMATÉRSKÉ RÁDIO ŘADA B

Vydává ÚV Svatazarmu ve vydavatelství NAŠE VOJSKO. Vladislavova 26, 135 66 Praha 1, tel. 26 06 51-7. Šéfredaktor ing. Jan Klaba, Redakční radu řídí ing. J. T. Hyam. Redaktor L. Kalousek, OK1FAC. Redakce Jungmannova 24, 113 66 Praha 1, tel. 26 06 51-7. Šéfredaktor linka 354, redaktor linka 353, sekretářka linka 355. Ročně vyjde 6 čísel. Cena výtisku 5 Kčs, pololetní předplatné 15 Kčs. Rozšířuje PNS, v jednotlivých oboznamených sítích vydavatelství NAŠE VOJSKO, administrace Vladislavova 26, Praha 1. Rozšířuje PNS. Informace o předplatném podá a objednávky přijímá každá administrace PNS, pošta, doručovatel a předplatitelská střediska. Objednávky do zahraničí vyrábíme PNS - ústřední expedice a dovoz tisku Praha, administrace vývozu tisku, Kovpakova 26, 160 00 Praha 6. Tiskne NAŠE VOJSKO, n. p., závod 08, 160 05 Praha 6. Viestnička ulice č. 889/23.

Za původnost a správnost příspěvku odpovídá autor. Návštěvy v redakci a telefonické dotazy po 14. hodině. Číslo indexu 46 044.

Toto číslo má výjít podle plánu 13. 4. 1989.  
Vydavatelství NAŠE VOJSKO.

## Spolehlivost – jeden ze základních požadavků na moderní výrobu

Se stále se zvyšující složitostí jak jednotlivých součástek, tak i jejich sestav vystupuje do popředí nutnost zjišťovat jejich spolehlivost – ať již jde o časovou stálost jejich parametrů ve zvoleném pracovním režimu nebo jejich poruchovost, protože každá oprava kompletního zařízení je složitá, nákladná a obvykle i časově náročná.

Obě dosavadní klasické testovací metody, tj. součástkový test (in-circuit) a funkční test mají svá omezení především právě ve zvyšující se složitosti součástek a systémů, které z nich byly využity. I když lze stále ještě některé součástky typu LSI a VLSI podrobit s úspěchem součástkovému testu, nelze již obvykle jednoduše testovat jejich vzájemnou součinnost. Proto se stává, že se zjistí chyby při komplexním zkoušení osazených desek s plošnými spoji, i když při testu „in circuit“ byly všechny součástky shledány jako funkční.

Zdroje závad při komplexním zkoušení desek s plošnými spoji je třeba hledat především v dynamickém chování složitých součástek, neboť při stále se zvětšující hustotě součástek a při stále vyšších taktovacích kmitočtech nelze dynamické chování součástek dosud běžnými testery „in circuit“ postihnout.

Podrobili jsme takové složité obvody funkčním testům, lze přijatelně míry odhalení chyb (pokud je vůbec možné) dosáhnout jen po důkladně promyšleném zkoušení za velmi dlouhou dobu (řadu měsíců). Navíc jsou diagnostické schopnosti funkčního testu silně omezené, neboť obvykle není dobrý přístup k uzlovým bodům desky s plošnými spoji, takže není možné hlášení chyb na úrovni součástek.

Navíc je samozřejmě nutné, aby vadanou desku opravoval pouze specializovaný pracovník a to pouze na speciálním testeru (online).

Z uvedených důvodů se tedy ukázalo jako nutné vyvinout a dát do provozu novou generaci testerů, tzv. multimodových (několikarežimových), které odstraňují slabá místa dosavadních testovacích metod a přístrojů. Jednou z předních světových firem, která takové testery vyrábí, je italská firma SPEA, která se od doby svého založení 1976 prosadila velmi úspěšně na světových trzích a jejíž výrobky v současné době používají přední světoví výrobci jako IBM, Hartmann a Braun, Saba, Olivetti, Philips, Siemens, Westinghouse a další. Multimodová generace testérů SPEA představuje první testovací systémy na trhu, které se opírají o zkušenosť, nasbíranou při zkoušení velmi složitých konstrukčních skupin (desek s plošnými spoji).

Typické výrobky firmy – multimodové testery – jsou na protější straně obálky. Základními výrobky firmy jsou testery Digitest 100 AD a Digitest 70. Digitest 100 AD je koncipován tak, aby se s ním mohly testovat desky s plošnými spoji se složitou jak digitální, tak analogovou částí, Digitest 70 je určen k testování složitých digitálních desek s malým podílem analogové části.

Filosofie multimodových testérů vychází z toho, že jedním ze základních požadavků je jakost výrobku; jakost kromě jiného je dána dokonalým testováním, dokonalým testerem. Tester musí přitom splňovat tři hlavní požadavky: zkoušená deska musí být testována za stejných pracovních podmínek, za jakých bude použita v zařízení, test musí poskytnout jasnou a jednoznačnou diagnózu (což má následek v případě potřeby rychlou a jednoznačnou opravu), testování musí být produktivní a co nejdůvěryhodnější.

Multimodové testery tvoří v protikladu ke kombinovaným testovacím systémům, které

se obvykle skládají z hardwarové kombinace (tester „in circuit“ + funkční tester), jeden hybridní monolitický systém. Multimodové testery mohou díky své architektuře pracovat ve všech oblastech použití dynamiky. Multimodový test se skládá z těchto fází:

- dynamický test analogových a digitálních součástek,
- dynamický obvodový test analogových a digitálních funkčních jednotek,
- automatická kalibrace,
- dynamický funkční test celé desky (konstrukční skupiny).

Měřicí strategie je založena na poznatu, že 100% odhalení chyb lze dosáhnout dynamickým součástkovým testem analogové a digitální části, po němž následuje dynamický obvodový test analogových a digitálních dílčích funkcí. Odhalené chyby jsou diagnostikovány na úrovni součástek, což umožňuje realizovat případnou opravu mimo tester a navíc pouze zaučenými pracovníky. Celá multimodová testovací strategie je založena na analýze všech teoreticky možných příčin chyb – nejsou-li při testu zjištěny žádné chyby, pracuje testovaná deska bezvadně.

Při analýze možných chyb byly zjištěny tři hlavní skupiny chyb:

1. Chyby plošných spojů – zkraty mezi spoji, přerušení spojů. Tyto chyby se zjišťují měřením každého bodu proti všem ostatním.
2. Chyby součástek – chybějící nebo nezapojené součástky, součástky „otocené“, mimotoleranční, vadné, jiného druhu nebo typu, s tepelnou vadou, neodpovídající specifikaci. Uvedené chyby zkouší tester u každé součástky zvlášť.
3. Vady obvodů – kritické, mezní, dynamické, možné přetížení, vazba mezi obvody, interference, teplotní. Obvodový test prověřuje dílčími funkčními testy všechny i dílčí funkce každého obvodu především v oblasti jmenovaných chyb a zajišťuje, zda odpovídají požadovaným specifikacím.

Všechny části testu probíhají v reálných časech, při jmenovitých proudech a napětích, současně se však testují i mezní parametry – ověřuje se funkce desky při tzv. nejhorších podmínkách, přičemž součástkový a obvodový test mají přísnější podmínky než funkční test, aby se nemohly při funkčním testu vyskytnout žádné chyby.

S téměř exponenciálně rostoucí hustotou integrace digitálních integrovaných obvodů se stává podíl dynamických chyb desek, osazených převážně součástkami LSI a VLSI činitelem, který již nelze zanedbat. Dynamické chování jednotlivých IO lze však testovat jen při odpovídající konstrukci „jehlové“ elektroniky testera a takové konstrukci systému, který umožní kontaktování zkoušeného obvodu se zanedbatelnými délkami vodičů.

K nejdůležitějším výkonovým znakům každého multimodového testera patří vlastnosti digitální elektroniky budičů/snímačů. Digitesty jsou vybaveny monolitický konstruovanými budiči/snímači, které zaručují vzorkovací kmitočet při testu až 10 Mbit/s při strmosti čela impulsů až 500 V/s. Maximální výstupní proud budičů je 1 A. Doba čela signálu na úrovni TTL jsou mezi 8 ns (nezatížený obvod) a 20 ns. Posuv mezi jednotlivými budiči je ±3 ns. Digitální snímače testerů Digitest umožňují paralelně měřit všechny výstupy IO při součástkovém testu, popř. všechny obvodové výstupy při obvodovém a funkčním testu.

Jak již bylo uvedeno, podstatou testérů je dynamický režim testování. Dyna-

mický digitální test znamená, že

- testovací systém musí být schopen „zrealizovat“ vzorkovací testovací signál minimálně 10 Mbit/s na jehle adaptéru,
- testovací systém musí být schopen prověřovat testovaný IO v součástkovém testu, popř. celé zapojení při funkčním testu vzorkovacími testovacími signály s dobou čela při úrovni TTL asi 20 ns,
- reakci IO, popř. celého zapojení na testovací signál musí být nutno změřit po určité době, doba by měla být řádově stejná jako doba zpoždění průchodu signálu při přechodu z jedné logické úrovni do druhé,
- vstupní kapacita snímací elektroniky smí ovlivňovat měřené signály jen do ta-

kové míry, která je pod úrovní doby zpoždění signálu při přechodu z jedné logické úrovni do druhé (hradlovací doby).

Všechny tyto požadavky jsou u přístrojů Digitest SPEA splněny.

Dynamické testování má velkou důležitost nejen u digitálních obvodů, ale i v obvodech analogových, u nichž zajišťuje též možnost úplného zjištění případných závad. Dynamický test v analogové oblasti vyžaduje stimulační a měřicí zařízení, která jsou synchronizovatelná a jejichž časování lze programovat s rozlišením po 1 μs. U přístrojů Digitest je k dispozici k testování osm programova-

telných analogových signálů, jimiž lze testovat všechny analogové součástky při reálných měřicích podmínkách, pokud jde o proud, napětí a čas. Díky impulsní měřicí technice se při analogovém testu dosahuje testovací doby takové, která je statistických metodách nedosažitelná, a která je jen zlomkem dříve nutné doby.

Testery SPEA jsou jen jedním z výrobků, které díky výpočetní technice přiblížují realizaci snu každého výrobce: dodávat výrobky, které by byly po celou dobu svého života bez závad, u nichž by bylo možno použít označení CAQ – Computer Aided Quality Assurance (jakost zajištěná díky počítači).

# ZAJÍMAVÁ A PRAKTICKÁ ZAPOJENÍ

Už vrchní kurát Lacina při usínání v arestantském wagoně prohlásil, že se nic nesmí přepeprít, přepaprikovat, pře..., a proto se z dnešní přepočítáčové, premikroprocesorované, přeLS integrované elektroniky vráteme trochu zpátky – řekl bych – na zem, k tranzistorům a jednodušším integrovaným obvodům. Ne každý dosáhl již „počítáčových“ výšin, někteří na ně nikdy ani nedojdou, zůstanou u „úpatí kopce“ a ani nechtějí ztěcty vysoké hory. A jsou stále noví a noví zájemci, a „novorozenci je i nejstarší vtip nový“.

Proto jsem vybral převážnou část takových zapojení, o nichž by někdo mohl říci, že již „vysly s módy“. Ale i móda se stále vrací a v šuplíkách se najdou součástky, z nichž lze sestavit leccos zajímavého a užitečného – i když by dnes nad tím leckdo mohl ohrnovat nos. Připočteme-li však k našemu zaoštávání za světovým stavem chronický nedostatek moderních součástek a nutnost začínat vždy „při zemi“, domnívám se, že výběr dále uvedených zapojení uvítají jak ti, co s elektronikou začínají, tak ti, kteří si chtějí oživit dobu, kdy elektronika nebyla ještě „pře...“.

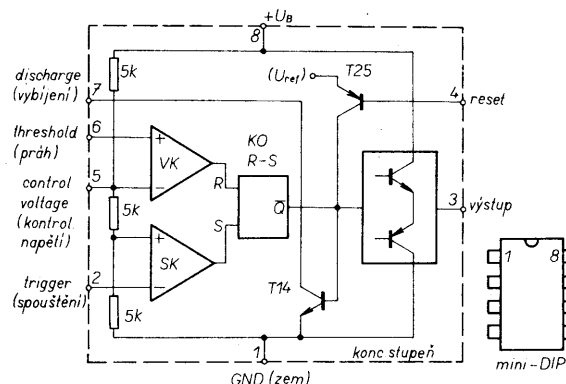
## Ještě jednou o časovači 555

Již v začátcích vývoje analogových integrovaných obvodů si výrobci uvědomovali, že se jejich vývoj vyplatí jen tehdy, když bude výroba produkovat miliónové série. Také proto byly jedněmi z prvních výrobků operační zesilovače. Kupř. známý obvod 741 se vyrábí od r. 1968, 709 (MAA50.) již od r. 1965 a dnes není možné ani vypočítat, kolik desítek miliónů nebo stamiliónů těchto obvodů bylo vyrobeno.

Po operačních zesilovačích se rodily monolitické stabilizátory typu 723 a současně se objevila i „pětsetpadesátpětka“ – známý časovač.

Tento obvod patří dosud k nejúspěšnějším integrovaným obvodům, možnosti jeho použití snad ani nelze bezezbytku vyjmenovat. I u nás byl již obvod popsán v různých časopisech, byla zveřejněna řada zapojení – aby však podrobnější popis obvodu s typickými aplikacemi byl pokaždé po ruce, povazuji za účelné shrnout všechny základní údaje.

Obvod 555 vyrábí téměř každá světová firma: Signetics NE555, Motorola MC1555, Silicon General SG555, Intersil NE555, Raytheon RM555, National LM555, v RVHP



Obr. 1. Vnitřní uspořádání integrovaného obvodu 555

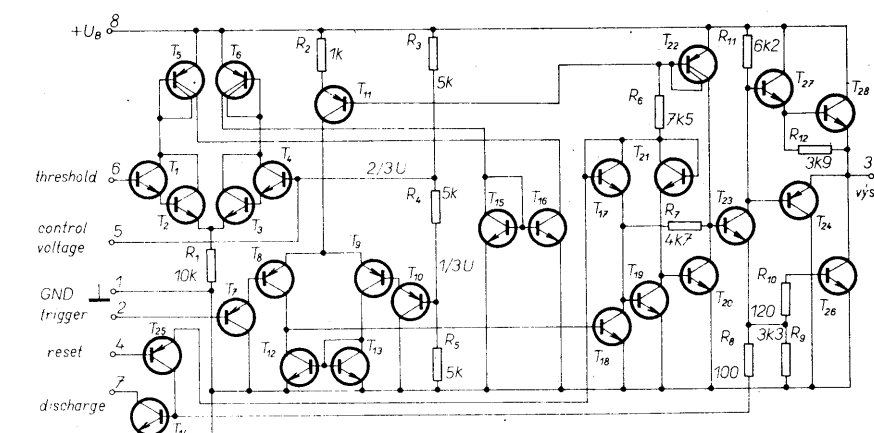
B555 a mnoho dalších výrobců pod různým označením. Totéž platí i o variantě „555“ v provedení CMOS, jako Intersil 7555 apod. Jednotlivé typy se mohou vzájemně lišit v nepatrných detailech, ty jsou však prakticky zanedbatelné.

Na obr. 1 je blokové zapojení NE555. Srdcem časovače je klopový obvod R-S, na jeho vstupu R (reset, nulování) je tzv. vypínač komparátoru VK, na vstupu S (set, nastavení) je spínací komparátor SK. Komparátory se skládají z Darlingtonových emitorových sledovačů a jsou téměř stejné. Referenční napětí pro komparátory vytváří dílčí s rezistory 5 kΩ. Dělíc je zapojen mezi napájecí napětí a zem. Jedna třetina napájecího napětí slouží jako spínací, dvě třetiny napájecího napětí jako vypínač napětí komparátorů (napětí je k dispozici na vývodu 5). Na výstupu klopového obvodu R-S je komplementární koncový stupeň a spínací tranzistory T<sub>14</sub> a T<sub>25</sub>; T<sub>14</sub> invertuje výstupní signál. Pomoci T<sub>25</sub> je možné zvenčí blokovat řídící signál

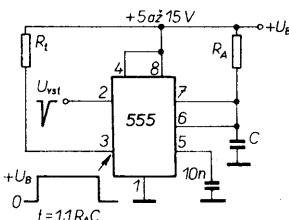
koncového stupně. Obvod má osm vývodů, je obvykle v plastovém pouzdře Mini-DIP, ale vyrábí se i v pouzdře TO5.

Předpokládejme, že na vývodu 2 (obr. 2), který je vstupem spínacího komparátoru (TRIGGER), je menší napětí než 1/3 U<sub>B</sub>. V takovém případě výstup komparátoru překlopí klopový obvod R-S, na jeho výstupu Q bude úroveň L. Koncový stupeň (který obrací fázi) bude mít úroveň H a T<sub>14</sub> se uzavře. Tento stav je jedním z charakteristických stavů obvodu.

Druhý charakteristický stav nastane tehdy, bude-li na vývodu 6, tedy na vstupu vypínačího komparátoru, THRESHOLD, napětí větší než 2/3 U<sub>B</sub>. Signál z komparátoru překlopí KO R-S, na jeho výstupu Q bude úroveň H, napětí na výstupu bude mít úroveň L, T<sub>14</sub> vede. To se může stát i tehdy, že na vývodu 4 – přivedeme malé napětí. Když z nějakých důvodů nepoužijeme vývod RESET, připojíme ho k napájecímu napětí. Nepoužijeme-li



Obr. 2. Zapojení obvodu 555

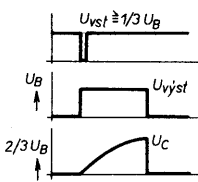


Obr. 3. Základní zapojení 555

vývod 5 (CONTROL VOLTAGE), připojíme jej k zemi přes kondenzátor asi 10 nF.

Na obr. 3 je základní zapojení 555 s minimálním množstvím součástek, obvod pracuje jako monostabilní multivibrátor, tzn. že při spouštěcím signálu na vstupu 2 vyrobí výstupní signál s přesně definovaným časovým průběhem. Vezmeme kondenzátor, přes rezistor ho nabijeme na úroveň napájecího napětí  $U_B$ . Průběh nabijení lze pozorovat pomocí vypínačového komparátoru. Zvětšíme si napětí na kondenzátoru na 2/3  $U_B$ , vypínač komparátor překlopí KO R-S a přes tranzistor  $T_{14}$  se kondenzátor rychle vybije. KO R-S tuto informaci zachová,  $T_{14}$  zůstává v otevřeném stavu a kondenzátor se nemůže znova nabijet. Přivedeme-li však na výstup 2 (tedy na spináci komparátor) záporný impuls, KO R-S se překlopí, uzavře se  $T_{14}$  a kondenzátor se může znova nabijet. Nabíjení ukončí znova již popsaný děj a nastane klidový stav. To je činnost obvodu jako monostabilního multivibrátoru, spouštěného záporným impulsem.

Parametry 555 určují maximální časovou konstantu, které můžeme dosáhnout členem  $RC$ . Je jasné, že tranzistorem  $T_{14}$  protéká i v uzavřeném stavu velmi malý kolektorový proud, i v komparátozech protéká malý „zbytkový“ proud  $I_{\text{thresh}} = 0,1$  až  $0,25 \mu\text{A}$ . To omezuje nabíjecí odpor kondenzátoru na max.  $20 \Omega$ . Rychlosť komparátoru určuje nejkratší čas impulsu, který může komparátor překlopit – za pokojové teploty 20 až 60 ns. Impuls na vstupu 2 musí mít velikost  $1/3 U_B$ , aby se přes komparátor překlopil KO R-S. Na obr. 4 je časový diagram spinání.



Obr. 4. Časový diagram spinání 555

Výsledkem jednoho pracovního cyklu bude výstupní úroveň L na vývodu 3, která tam zůstává neomezenou dobu. Na kondenzátoru je napětí blízké nule. Po příchodu záporného impulu se výstup během 100 ns překlopí na úroveň H a začíná nabíjení kondenzátoru, průběh nabíjení je exponenciální. Rychlosť nabíjení závisí na časové konstantě  $RC$ , nabíjení se ukončí překlopením obvodu R-S. Tako dosažený časový interval, tedy doba vzniku úrovni H na výstupu, je  $1,1RC$ , v praxi lze intervaly zjistit z grafu na obr. 5.

Nabíjení kondenzátoru je možné kdykoliv přerušit pomocí vstupu RESET. Na vývod 4 je třeba přivést napětí 0,4 až 1 V proti zemi a ihned nastane klidový stav, kondenzátor se vybije. Chceme-li vyloučit tuto možnost, obvykle se na RESET připojuje napájecí napětí.

Napájecí napětí obvodu 555 může být 4,5 až 18 V, ale IO většinou pracují již od 4, dokonce i od 3 V, jsou tedy kompatibilní jak s obvody TTL, tak i CMOS. Na výstupu v součinnosti s obvody TTL bude buď log. 0 nebo log. 1. Bude-li na výstupu úroveň log.

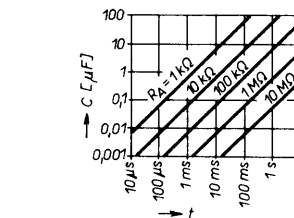
1, máme možnost jej zatížit proudem až 200 mA, napětí bude podle proudu 2,75 až 3,3 V. Při výstupní úrovni log. 0 je možná zátěž také 200 mA, při součinnosti s logikou TTL lze však výstup zatížit jen proudem 5 až 10 mA, napětí pak bude 0,1 až 0,35 V.

Kmitočet lze zjistit z grafu na obr. 8. Meziúrovňové napětí na kondenzátoru bude  $1/3 U_B$ .

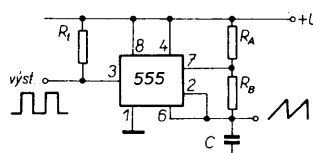
V astabilním režimu bude teoreticky nejvyšší kmitočet asi 300 kHz, vezmeme-li však v úvahu teplotní stabilitu, výrobci doporučují použít jen do 200 kHz. Zahájme-li provoz impulsem, jeho perioda musí být kratší, než je nastavená perioda. Bude-li na vstupu 2 úroveň L delší dobu, než odpovídá zvolené periodě, výstup bude na úrovni H tak dlouho, pokud vstup zůstává na L. Bude-li na vstupu RESET napětí větší než 1 V, obvod bude pracovat normálně, bude-li menší než 0,4 V, výstup zůstává trvale ve stavu L až do příchodu impulsu na vývod 2.

Casovací doby se mění se změnou napájecího napětí jen nepatrně, typicky 0,1 %/1 V. Změna teploty ovlivňuje přesnost jen nepodstatně: teplotní drift v astabilním režimu je asi 150 ppm/°C.

V uvedeném astabilním režimu je na výstupu poměr signál-mezera téměř 1:1. Chceme-li jej podstatně měnit, použijeme zapojení podle obr. 9. Kondenzátor C se nabije přes  $R_A$  a vybije přes  $R_A + R_B$ .



Obr. 5. Časové intervaly a závislost na článku RC



Obr. 6. Astabilní režim 555

Dalším základním zapojením s 555 je astabilní multivibrátor podle obr. 6. Nabíjecí rezistor je rozdělen na dva a nabíjení kondenzátoru sledují současně oba komparátoru. Vstup RESET nepoužijeme, proto je připojen ke kladnému napájecímu napětí, vývod 7 je připojen na dělící bod nabíjecího rezistoru. Po zapnutí napájecího napětí se kondenzátor nabije přes  $R_A$  a  $R_B$ . Dosáhne-li napětí na 7 2/3  $U_B$ , spináci komparátor překlopí KO R-S a sepnutý  $T_{14}$  vybije kondenzátor přes  $R_B$ . Zmenší-li se napětí na kondenzátoru na 1/3  $U_B$ , spináci komparátor překlopí KO R-S a  $T_{14}$  se uzavře. Cyklus začíná znova.

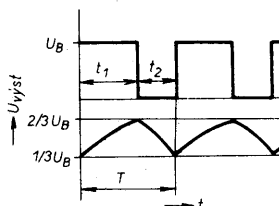
Perioda nabíjení bude

$$t_1 = 0,693(R_A + R_B)C \quad \text{- výstupní úroveň bude H,} \\ \text{perioda vybíjení bude}$$

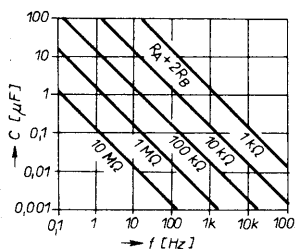
$$t_2 = 0,693R_B C \quad \text{- výstupní napětí bude L.} \\ \text{Po zapnutí napájecího napětí tento pochode začíná samovolně a neustále se opakuje. Na obr. 7 je časový diagram. Na kondenzátoru je pilovité napětí, na výstupu je napětí pravoúhlého průběhu, celková perioda bude}$$

$$T = t_1 + t_2 = 0,693(R_A + 2R_B)C \\ \text{a kmitočet oscilátoru bude}$$

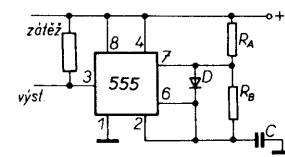
$$f = \frac{1}{T} = \frac{1,44}{(R_A + 2R_B)C}$$



Obr. 7. Časový diagram astabilního režimu 555

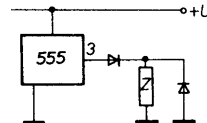


Obr. 8. Kmitočet astabilního multivibrátoru s 555



Obr. 9. Modifikace poměru signál-mezera s 555

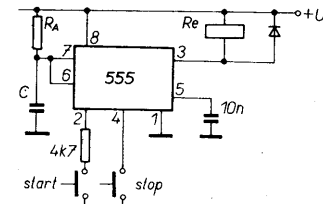
Záporný impuls na výstupu způsobí, že obvod bude až do vypnutí napájecího napětí neovládatelný. Po novém připojení napájecího napětí bude stav opět normální. Proto při indukční zátěži obvod chráníme podle obr. 10.



Obr. 10. Ochrana obvodu před poruchou

Kromě vnitřních děličů a členů  $RC$  můžeme ovlivnit referenční napětí  $U_{\text{REF}}$  (obr. 1) a tím i casovací možnosti obvodu ovládáním vývodu 5 (control voltage). V monostabilním režimu se může regulační napětí na tomto vývodu pohybovat od 0,45 do 0,9  $U_B$  (vnitřní dělíc dává  $0,67 U_B$ ), v astabilním režimu od 1,7 V do  $U_B$ .

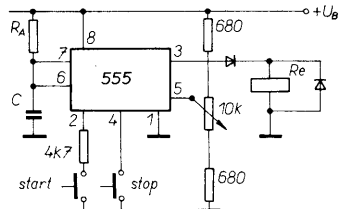
Po rozšíření obvodu 555 jeho aplikace dosáhly takových možností, jakých dosud neměl snad žádný obvod. Jeho použití usnadňuje i volbu napájecího napětí v širokých mezích.



Obr. 11. Časovací obvod s možností startu a zastavení (Re – indukční zátěž)

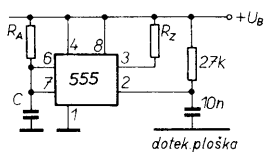
Na obr. 11 je 555 v režimu časovacího obvodu s možností startu a zastavení. V klinovém stavu je na výstupu stav L, proto je relé přitaženo. Stiskneme-li tlačítko start,

výstup se překlopí, bude na něm úroveň H a začná časovací interval, relé bude po tu dobu v klidovém stavu. Po dobu, určené členem RC, relé znova přitáhne. Chceme-li interval přerušit, stiskneme tlačítko RESET a časovací interval předčasně ukončíme.



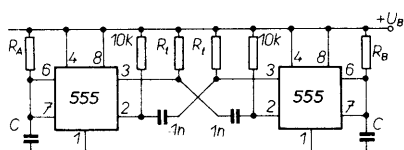
Obr. 12. Časovací obvod s jemnou regulací

Na obr. 12 je podobné zapojení, ale s rozdílem, že přes relé v klidovém stavu neteče proud, přitáhne až po stisknutí tlačítka start. Dobu intervalu můžeme jemně reguloval napětím, které přivedeme na vývod 5 (CONTROL VOLTAGE).



Obr. 13. Časovač spouštěný doteckem

Na obr. 13 je podobné zapojení, jeho činnost lze řídit „kapacitně“, tj. dotykem. Brumový signál, přivedený na vývod 2, překlopí spinaci komparátor a uvede obvod do provozního stavu. Ochranný rezistor 27 kΩ chrání obvod proti okolní úrovni brumu ze síťového napětí. Není-li poblíž zdroje rušicího napětí, je možné odpor rezistoru poněkud zvětšit.



Obr. 14. Astabilní multivibrátor ze dvou monostabilních

Na obr. 14 je astabilní multivibrátor sestavený ze dvou obvodů 555. Jeho parametry jsou lepší než parametry astabilního multivibrátoru s jedním obvodem 555. U tohoto zapojení může určit poměr signál-mezera libovolně s rozdílem i několika rádu. Ze dvou výstupů můžeme nezávisle napájet dva spotřebiče, relé nebo pod. Kmitočet výstupního pravouhlého napětí bude

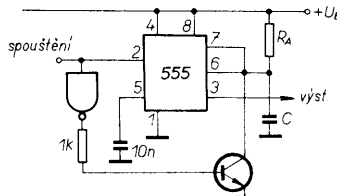
$$f = \frac{0,91}{(R_A + R_B)}$$

a poměr signál-mezera

$$k = \frac{R_B}{R_A + R_B}$$

Obvod je necitlivý na impulsy, které přicházejí během časovací doby.

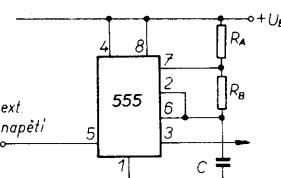
Na obr. 15 je zapojení monostabilního obvodu, na jehož výstupu bude vždy úroveň H, pokud po prvním spouštěcím impulsu přichází další. Bude-li mezi dvěma spouštěcími impulsy mezera větší než původně nastavená, výstup se překlopí do stavu L. Hradly TTL je možné vždy zastavit nabíjení C a tak udržet na výstupu úroveň H. Obvod lze použít např. v hlídacích zařízeních ke kontrole stavu bdělosti hlídáče, neboť není-li



Obr. 15. Monostabilní obvod s možností nového spouštění

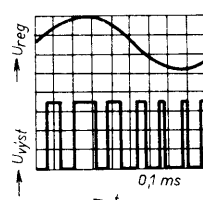
v určitých intervalech stisknuto kontrolní tlačítko, kterým se přivádí spouštěcí impuls, nastane poplach.

U obvodu 555 je charakteristické, že již jeho základní zapojení umožňuje použít její nejrůznějším účelům. Na obr. 16 je v podstatě základní zapojení, u něhož na vývod CONTROL VOLTAGE přivádíme různé řídící signály. Kmitočet astabilního multivibrátoru ovlivňuje nejen člen RC, ale i řídící napětí. Jeden vstup komparátoru je připojen na dělič referenčního napětí, který dělí napájecí napětí na třetiny a určuje překlápací úroveň obou komparátorů. Přivedeme-li na dělič vnější napětí, změníme tím nastavený poměr děliče napětí a tím i překlápací napětí komparátorů.



Obr. 16. Řízení astabilního multivibrátoru externím napětím

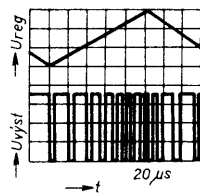
Na obr. 17 je diagram pro externě řízený multivibrátor, řídícím napětím je sinusový signál. Mezivrcholové řídící napětí je asi 3 V, mění se pomalu a vzniká šířkově modulovaný impuls, popř. sled impulsu. Řídící napětí ovlivňuje především vypínací komparátor, proto se mění napětová úroveň vypínání, mění se časový interval. Obvod je rychlejší, než je řídící napětí, proto je schopen sledovat změny, které se projeví změnou šířky impulsu.



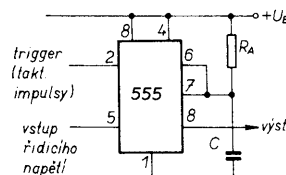
Obr. 17. Diagram pro řízení astabilního multivibrátoru sinusovým napětím ( $U_B = 5$  V,  $R_A = 3,9$  kΩ,  $R_B = 3$  kΩ,  $C = 10$  nF)

Na obr. 18 je diagram, odpovídající řídícímu napětí trojúhelníkovitého tvaru mezi východami velikosti 9 V. Vlivem tohoto napětí se změní činnost obou komparátorů a vznikne modulace nejen šířková, ale i polohová (PPM). Souvislost mezi vstupním řídícím signálem a šířkou výstupního impulsu a četnosti je značně složitá a souvislosti nejsou lineární. Někdy tento vztah může být i rušivý a pak musíme poznamenit zapojení podle obr. 19. Na vývod 2 připojíme signál, který máme modulovat. Tedy kmitočet a poměr signál-mezera je dán, spouštění se uskutečňuje v určených časových intervalech. Na výstupu vznikají impulsy podle člena RC. Vlivem externího řízení se mění režim vypínacího kondenzátoru a tím i výstupní signál. Diagram je na obr. 20. Výstupní signál je vázán na náběžnou hranu vstupního signálu, ale

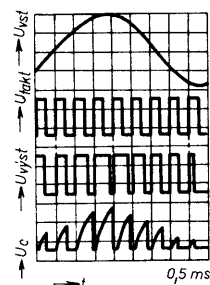
jeho týlová hrana je závislá na řídícím napětí. Překlopení může nastat i dříve i později, a tak vznikne šířková modulace.



Obr. 18. Diagram pro řízení astabilního multivibrátoru trojúhelníkovitým napětím ( $U_B = 5$  V,  $R_A = 47$  kΩ,  $R_B = 100$  kΩ,  $C = 0,1$  μF)

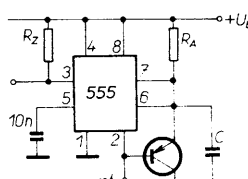


Obr. 19. Modulace šířky impulsů monostabilním obvodem



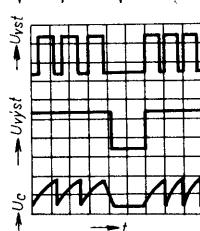
Obr. 20. Časový diagram modulace

Když chceme pozorovat nějaký děj nebo změnu (vyněchaný impuls nebo poruchu pravidelnosti kmitočtu) použijeme zapojení podle obr. 21. Vstupní signál úrovně H tranzistor uzavře, na výstupu bude úroveň L.



Obr. 21. Indikace vyněchaného impulsu

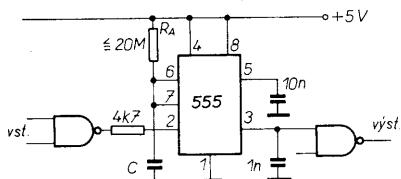
Vlivem vstupního impulsu bude na výstupu úroveň H. Je-li kmitočet vstupních impulsů vysoký, spouštěcí impuls občas zastaví nabíjení kondenzátoru a nabíjecí doba je krátka – napětí na C pak nedosáhne překlápcí úrovně pro vybíjecí kondenzátor, protože se předčasně vybije přes tranzistor. Mají-li vstupní signály stále stejný kmitočet, napětí na kondenzátoru (tj. pilovité napětí) bude stálé. Opozdí-li se nějaký impuls, pilovité napětí se mění, napětí na kondenzátoru bude větší; bude-li nějaký spouštěcí impuls vyněchaný, výstup se překlopí a bude na něm



Obr. 22. Diagram vyněchaného impulsu ( $R_A = 1$  kΩ,  $C = 100$  μF)

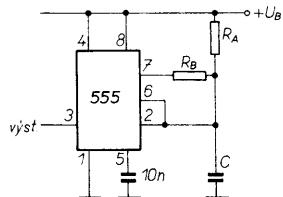
úroveň L. Při příchodu nového spouštěcího impulu bude na výstupu opět úroveň H. Diagram je na obr. 22. Pomocí tohoto zapojení můžeme indikovat pohyb, otáčení nebo poruchu provozu.

Je známo, že monostabilní časovače obvody řady TTL (74121, 74123 a další) mají maximální časové konstanty dosť malé,  $R_t$  může maximálně být 5 až 50 k $\Omega$ . I když použijeme v zapojení přidáváný tranzistor, maximální  $R_t$  nemůže překročit 2 M $\Omega$ . U obvodu 555 může být  $R_t$  až desetinásobný – 20 M $\Omega$  a tak při stejně kapacitě kondenzátoru C může časovací doba dosáhnout desetinásobku.



Obr. 23. Monostabilní obvod s dlouhým časem

Na obr. 23 je zapojení časovače; který je přizpůsoben k logice TTL. Pro velmi dlouhé časy jsou v členech RC elektrolytické kondenzátory velkých kapacit nevhodné, protože mají velký svodový proud, čehož důsledkem je nereprodukčnost dlouhých spinacích časů. Pro tento účel jsou vhodné kondenzátory s polykarbonátovou fólií. Výstup časovače přizpůsobíme k dalším obvodům hradlem, a jak vstupní, tak výstupní hradlo může současně vykonávat logickou funkci.



Obr. 24. Poměr signál-mezera 50 %

Chceme-li získat na výstupu pravoúhlý signál s přesným poměrem signál-mezera 1:1, použijeme zapojení podle obr. 24. Generátor má nezávisle zvolitelné  $R_A$  a  $R_B$ . Pro výstupní úroveň L platí:

$$t_2 = \frac{R_A R_B}{R_A - R_B} C \ln \frac{R_B - 2R_A}{2R_B - R_A}$$

$$\text{a } T = t_1 - t_2,$$

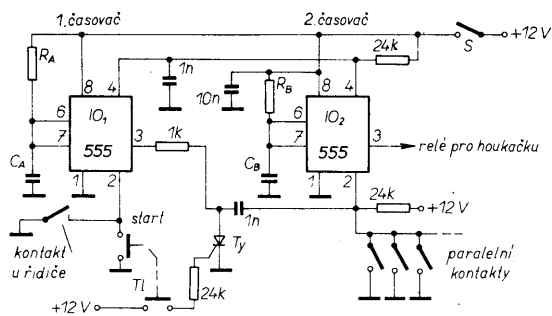
kmitočet bude:

$$f = \frac{1}{t_1 + t_2}.$$

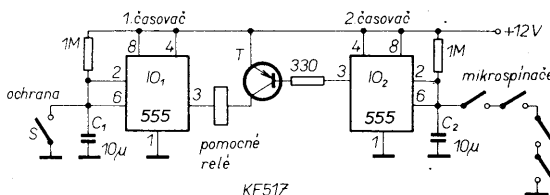
Je si třeba uvědomit, že bude-li  $R_B$  větší než  $R_A/2$ , nebude obvod kmitat, protože se na spinaci komparátor nedostane signál potřebné úrovni.

Na obr. 25 je poplašné zařízení, které reaguje na otevírání dveří, tzn. že dveřní kontakty jsou při zavřených dveřích rozpojeny. Po zapnutí ochrany tlačítkem start a spínačem S bude na výstupech obou časovačů úroveň L, protože kondenzátory  $C_A$  a  $C_B$  budou bez náboje. Za nějaký čas kondenzátory budou nabité, ale výstupy budou trvale na úrovni L, časovací kondenzátory jsou zkratovány vnitřním tranzistorem. Spouštění časovačů je vyvoláno záporným impulsem

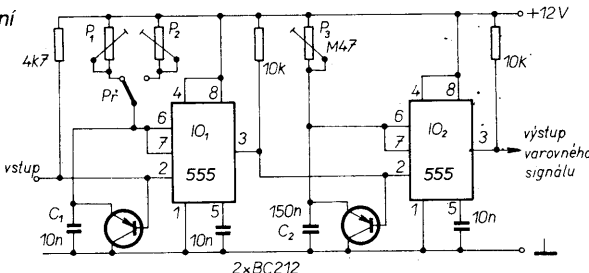
Obr. 25. Poplašné zařízení – v klidovém stavu kontakty relé rozpojeny



Obr. 26. Poplašné zařízení s mikropočítací



Obr. 27. Indikátor překročení stanovené rychlosti



na vstupech 2 (TRIGGER). Řidič, když se přesvědčí, že dveře a ostatní jištěná místa jsou uzavřena, zapne zařízení. Před opuštěním vozu stiskne tlačítko Tl. První obvod produkuje na výstup jen kladný impuls, ale ten je zkratován otevřeným tranzistorem Ty. Ke konci časového intervalu bude na výstupu IO<sub>1</sub> úroveň L, tranzistor se uzavře. Perioda prvního časovače (doba uvedení do pohotovostního stavu) má být několik sekund, aby řidič mohl klidně vystoupit a za sebou uzavřít dveře. Otevření jištěných dveří (kromě řidičových) vyvolá spouštěcí signál pro poplach – na výstupu IO<sub>2</sub> bude úroveň H a relé zapne např. houkačku. Dobu houkání určíme výběrem  $R_B$ -C<sub>B</sub>. Chce-li řidič nastoupit do vozu, otevře svoje dveře a má čas několik sekund k tomu, aby vypnul zařízení.

Na obr. 26 je poplašné zařízení, které je aktivováno rozpojením některého z několika spínačů. Mezi výstupy obou 555 je relé s odberem do 100 mA, jeho kontakt v sepnutém stavu spinají houkačku. Relé může sepnout jen tehdy, bude-li tranzistor T otevřen, tj. tehdy, bude-li na výstupech obou 555 úroveň L. Oba časovače pracují ve stejném režimu. Budou-li časovací kondenzátory (C<sub>A</sub> a C<sub>B</sub>) mít s pevným dielektrikem, v žádném případě elektrolytické) zkratované, na výstupech bude úroveň H.

Zařízení bude neučinné, bude-li zablokován první časovač (spínačem S zkratujeme C<sub>A</sub>), tranzistor nebude mít napájecí napětí, je možné nastupovat, vystupovat z vozu. Důležité je umístit spínač S na správném místě. Pohotovostní stav nastane při rozpojení kontaktu tohoto spínače, potom ještě máme několik sekund na vystoupení z auta a zavření dveří.

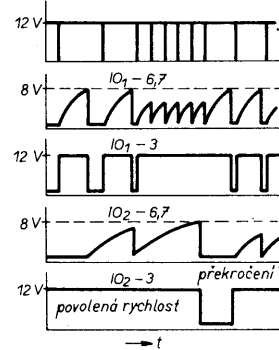
Zapojení druhého časovače je obdobné.

Ochranné kontakty, které při zavřených dveřích jsou sepnuty, můžeme montovat na všechny dveře, kryt motoru, zavazadlového prostoru, s úpravou i pro střešní zavazadla, na uzávěr henzinové nádrže atd.

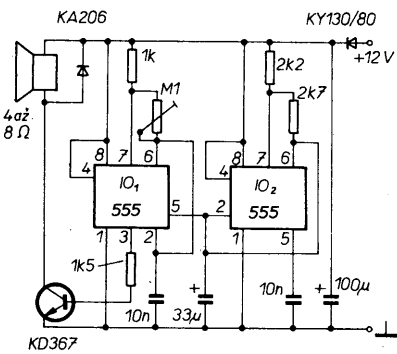
Na obr. 27 je indikátor překročení stanovené rychlosti u auta. V různých státech platí různá rychlostní omezení na různých silnicích. Podle toho se nastaví trimry P<sub>1</sub>, P<sub>2</sub>, nebo i větší počet trimrů (mohou mít odpory

1 až 10 M $\Omega$ ). Trimr P<sub>3</sub> určuje výstupní kmitočet signálu pro reproduktor nebo sluchátko. Přepínačem P volíme dovolenou rychlosť, při jejímž překročení se má ozvat varovný signál.

Funkce obou časovačů je stejná. Na vstup IO<sub>1</sub> přivádíme záporné impulsy. Impuls, který přichází během nabíjení C<sub>1</sub>, kondenzátor vybije a nabíjení začíná znovu. Impulzy vyvolají na výstupu IO<sub>1</sub> pravoúhlé napětí, odpovídající četnosti impulsů. Člen RC a IO<sub>2</sub> je zvolen tak, že kontroluje kmitočet pravoúhlého signálu na výstupu IO<sub>1</sub>. Týl impulsů, které přicházejí pomalu nebo velmi rychle, vyvolá časovací periodu. Rychle přicházející impulsy způsobí na výstupu IO<sub>1</sub> trvalý stav H, který umožní, aby se kondenzátory nabily a na výstupu IO<sub>2</sub> bude tedy stav L, který trvá až do následujícího spouštěcího impulsu. Protože četnost impulsů odpovídá rychlosti vozidla, vyvolá podle nastavení zvukový signál, který nás upozorní, že máme jet pomaleji. Převod rychlosti vozidla na impulsy je mechanickou záležitostí (impulzy lze odvodit od pohoru tachometru nebo rotujícího magnetu, viz např. AR A2/1977). Diagram signálů je na obr. 28.



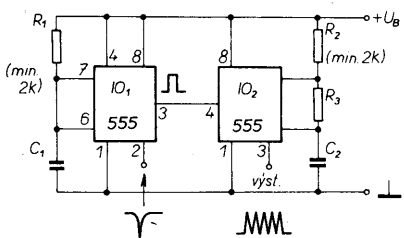
Obr. 28. Diagram signálů překročení rychlosti



Obr. 29. Policejní siréna

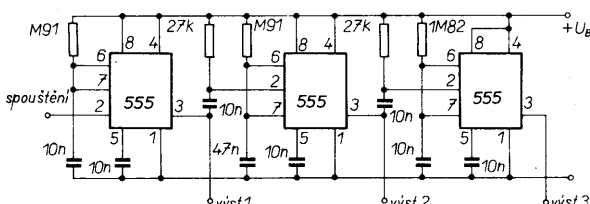
Na obr. 29 je zapojení sirény, která napodobuje policejní. Její signál může být velmi účinným poplašným signálem v nejrůznějších hlídacích zařízeních.

$IO_2$  po zapnutí napájecího napětí začíná pracovat jako astabilní multivibrátor. Na kladném pólu časovacího kondenzátoru bude napětí pilovitého průběhu, nejvhodnější kmitočet zvolíme volbou kapacity kondenzátoru (až 100  $\mu$ F). Napětí pilovitého průběhu moduluje signál z  $IO_1$ , který má kmitočet několik kHz (lze nastavit trimrem P). Výstupní signál zesilíme tranzistory v Darlingtonové zapojení. Zkreslení v tomto případě můžeme zanedbat. Protože výstupní signál má pravoúhlý tvar, bude jeho výkon při napájení 12 V větší než 6 W, což postačí na velmi hlasitý a nepríjemný zvukový efekt.



Obr. 30. Obvod pro signál burst

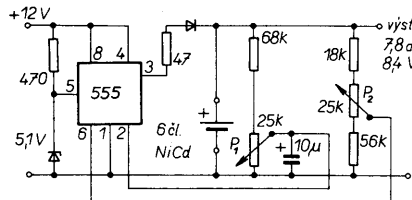
K různým měřením se často používá signál tzv. burst. Při měření na osciloskopu je důležitým požadavkem, aby byl osciloskop spouštěn tímto signálem. Řídicí impuls spouští osciloskop a signál „burst“ vyrobíme obvodem 555. Na obr. 30 první IO na popud vstupního signálu podle člena  $RC$  uvede v činnost druhý IO. Časování prvního IO si zvolíme tak, aby z měřicího signálu bylo vytvořeno alespoň deset period. Výstup prvního IO na vstupu druhého IO uzavře astabilní klopový obvod, na jehož výstupu bude pravoúhlý průběh.



Na obr. 31 je zapojení pro zvláštní použití časovačů. Sekvenční (za sebou jdoucí) časování můžeme použít tehdy, když potřebujeme vykonat určité úkony v časové posloupnosti, za sebou. Tento případ může nastat kupř. při spouštění topení, otevírání kombinačních zámků, spouštění různých funkcí strojů a zařízení apod. Časovače spouští postupně v závislosti na kapacitě kondenzá-

torů C předcházející časovač, který předtím vytvořil potřebný interval a ukončil ho.

První časovač je spuštěn záporným impulsem, na jeho výstupu bude kladný impuls v trvání asi 10 ms. Ten spustí druhý časovač, který bude mít výstupní impuls délky asi 50 ms. Ten opět spustí třetí časovač (délka impulsu 20 ms), který může spustit další, a tak dále. Poslední – je-li třeba – může opět spustit první a znova opakovat celý pochod až do vypnutí. Od okamžiku spouštěcího impulsu lze tedy získat signály, kterými můžeme uvést do chodu nějaké zařízení za 10, 60 a 80 ms. Je samozřejmé, že intervaly můžeme zvolit libovolně dlouhé podle potřeby, od mikrosekund až do několika minut i více (podle diagramů na obr. 5 a 9).



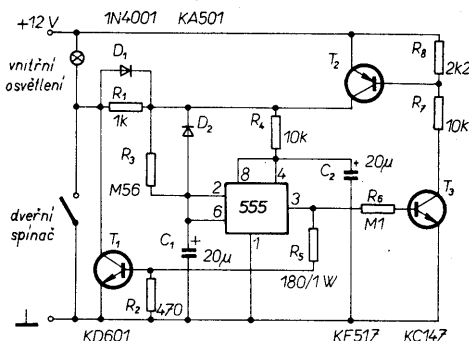
Obr. 32. Automatická nabíječka

Na obr. 32 je automatická nabíječka pro tužkové akumulátory NiCd s kapacitou 450 až 500 mA/h. Horní konec vnitřního děliče obvodu 555 je připojen na napájecí napětí, které není stabilizováno. Zenerova dioda s předřadným rezistorem stabilizuje napětí dělicího bodu. Vnitřní komparátory sledují napětí nabíjených akumulátorů. Potenciometry  $P_1$  a  $P_2$  lze ovládat komparátory: zmenší-li se napětí akumulátorů pod určitou mez, překlopí se spinaci komparátor podle nastavení  $P_1$  a na výstupu obvodu bude napětí úrovně H – akumulátory se nabijí. Dosáhne-li napětí na akumulátořech požadované velikosti, překlopí se vypínací komparátor (podle nastavení  $P_2$ ) a napětí na výstupu bude úrovně L. Dioda nepovede, nabíjení je ukončeno. Tento pochod se stále opakuje, akumulátory budou stále provozovány.

Na obr. 33 je zpožďovací obvod, který umožňuje, že vnitřní osvětlení vozu zůstává nějakou dobu svítit i po uzavření dveří.

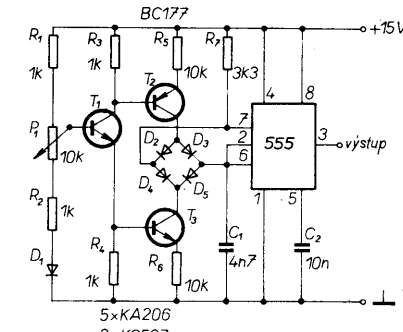
V klidu, když dveře jsou zavřené a dveřní kontakty rozpojeny, vnitřní osvětlení je vypnuto. Přes žárovku a  $D_1$ ,  $R_3$  se nabije kondenzátor  $C_1$  (tantalový) a přes  $D_1$ ,  $R_4$  kondenzátor  $C_2$  (tantalový). Člen  $R_4$ ,  $C_2$  chrání časovač před vlivem falešných impulsů, především od zapalování. Po nabití  $C_1$  bude na výstupu časovače napětí úrovně L. V tomto stavu je odběr zařízení asi 10 mA.

Obr. 31. Sekvenční časovací obvod



Obr. 33. Zpožďovací obvod

uzavře, žárovka vnitřního osvětlení zhasne. Uzavřou se i tranzistory  $T_2$  a  $T_3$ , ale to už nehráje žádnou roli, protože časovač je napájen již přes žárovku.  $C_1$  se nabije dálé, ale to nemá vliv na další činnost. Obvod se dostal do klidového stavu. Tedy po uzavření dveří (podle nastavení) žárovka bude svítit ještě 10 až 15 sekund, což postačí na různé úkony: zapnout bezpečnostní pásky, výhledat klíč zapalování, atd. S malou úpravou je zapojení schopné převzít i úlohu zabezpečovacího zařízení.



Obr. 34. Generátor funkcí

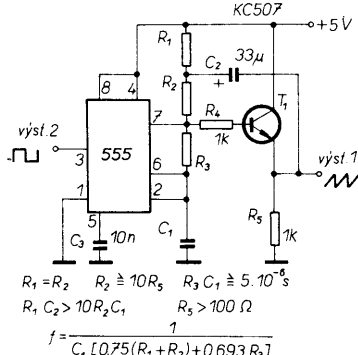
Na obr. 34 je generátor funkcí s časovačem 555. V podstatě se jedná o základní zapojení astabilního multivibrátoru. Kondenzátor na vývodech 2 a 6 by se po zapnutí nabíjel přes rezistor exponenciálně. Nahradíme-li rezistor generátorem proudu, nabíjení bude mít lineární průběh.

V uvedeném zapojení se kondenzátor nabije i vybíjí přes generátory proudu, které jsou připojeny na výstup DISCHARGE. Po zapojení napájecího napětí bude na kondenzátoru  $C_1$  nulové napětí. Proud tranzistorem  $T_3$  se uzavírá přes  $R_7$  a  $D_4$ . Vzhledem ke kolektorovému napětí  $T_3$  jsou diody  $D_2$  a  $D_5$  uzavřeny. Proud generátoru s  $T_2$  začíná přes  $D_3$  nabijet  $C_1$ , na němž se napětí zvětšuje lineárně, dosáhne-li 2/3 napájecího napětí, vypínací komparátor se překlopí a kondenzátor se začíná vybíjet. Na výstupu DISCHARGE bude malé napětí, proud  $T_2$  přes  $D_2$  bude zkratován a  $D_3$  s  $D_4$  se uzavřou. Tako střídavě spinaná a vypinaná čtverice diod způsobí, že na kondenzátoru bude napětí trojúhelníkovitého průběhu, které lze regulovat  $P_1$ ,  $T_1$  pracuje jako obraceč fáze (má stejný kolektorový i emitorový odporník). Zapojení řídícího obvodu s potenciometrem  $P_1$  zajistí v obou směrech stejný průběh nabijení i vybíjení. Dioda  $D_1$  kompenzuje teplotní závislost činnosti  $T_1$ .

Z kondenzátoru  $C_1$  můžeme přes emitorový sledovač (na obr. 34 není nakreslen) odebrat pilovitý signál. Z vývodu 3 lze odebrat pravoúhlý signál na malé impedance. Bude-li napájecí napětí 15 V, bude na  $C_1$  mezihradlové napětí 5 V, na výstupu bude při zatížení do 100 mA mezihradlové napětí asi 10 V. Potenciometrem můžeme měnit kmitočet v poměru asi 1:10. Lze dosáhnout

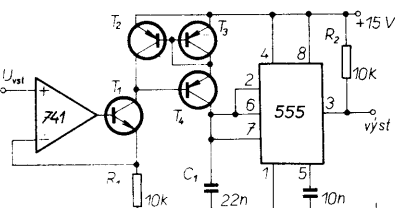
maximálního kmitočtu až 100 kHz, minimální kmitočet (při změně  $C_1$ ) je závislý na zbytkovém proudu  $C_1$ .

Na obr. 35 je jiný typ generátoru pilovitého napětí. Časovač pracuje i v tomto zapojení jako astabilní multivibrátor, ale byl doplněn tranzistorem, který je závislý na nabíjení kondenzátoru. Po zapnutí napájecího napětí se začíná  $C_1$  nabíjet přes  $R_1$ ,  $R_3$ . Jak se na kondenzátoru zvětšuje napětí, na rezistoru se úbytky napětí zmenšují a do kondenzátoru přítéká menší proud.  $T_1$  kontroluje napětí na vývodu 7 a změny napětí s malou odchylkou vede přes  $C_2$  na společný bod děliče  $R_1$ ,  $R_2$ . To způsobí, že kondenzátor bude nabijen konstantním proudem.



Obr. 35. Generátor pilovitého napětí

Toto zapojení pracuje jen za určitých podmínek, ménime-li součástky bez rozmyslu, nebude nabijecí proud lineární. Pro nízké kmitočty by bylo třeba, aby měl kondenzátor  $C_2$  nejméně velkou kapacitu, při vysokých kmitočtech emitorový sledovač už nebude schopen sledovat rychlé záporné skoky. Z vývodu 3 i nyní odebíráme pravoúhlé napětí, můžeme zatěžovat i výstup pilovitého napětí. Linearity může být i podstatně lepší než 1 %, použijeme-li tranzistor s velkým zesílením.

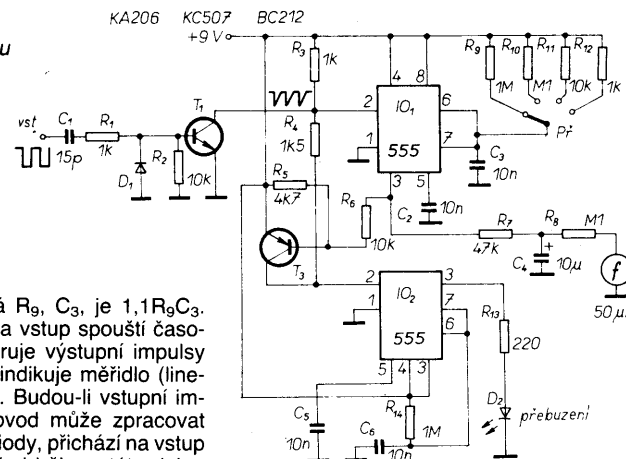


Obr. 36. Měnič napětí-kmitočet

Na obr. 36 je generátor impulsů, lépe řečeno převodník napětí-kmitočet. Opět se jedná o astabilní multivibrátor, který pracuje v širokém pásmu kmitočtů, popř. napěti. Operační zesilovač typu 741 má na neinvertující vstup přivedeno řídící napětí, které je přes  $T_1$  zavedeno na invertující vstup. Protože zesílení OZ je velké, pracovní bod  $T_1$  je velmi stabilní. Kolektorový proud  $T_1$  je stabilizován díky  $T_2$  a  $T_3$ ,  $T_4$ , takže konverze napětí-proud je velmi lineární. Nejlepší výsledků je možno dosáhnout v kmitočtovém pásmu 100 Hz až 10 kHz. Linearity dálé zlepšuje i vyrovnání ofsetu operačního zesilovače. Na vyšších kmitočtech je možné zmenšit kapacitu kondenzátoru  $C_1$  asi na 2 nF.

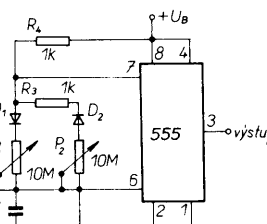
Na obr. 37 je jednoduchý analogový měřicí kmitočtu, v němž jsou použity dva obvody 555. Na vstup se přivádí pravoúhlé napětí (sinusové nebo pilovité je třeba převést na pravoúhlé), kondenzátor  $C_1$  se diferencuje, záporné impulsy se zkratují diodou  $D_1$ . Na kolektoru  $T_1$  se objeví kladné impulsy, kterými se řídí  $IO_1$ , pracující v monostabilním

Obr. 37. Měřicí kmitočtu



režimu. Doba, určená  $R_9$ ,  $C_3$ , je  $1,1R_9C_3$ . Impuly přicházející na vstup spouště časovač. Člen  $R_7C_4$  integruje výstupní impulsy a odpovídající napětí indikuje měřidlo (lineární průběh stupnice). Budou-li vstupní impulsy častější než obvod může zpracovat během nastavené periody, přichází na vstup 2 IO1 spouštěcí impuls i během této doby. Tyto signály jsou však neúčinné, výstup 3 bude ve stavu H a udržuje  $T_2$  v otevřeném stavu. Vstupy obou IO jsou však spojeny přes  $R_4$  a impuls neúčinný pro IO1 spouští IO2, který mění svůj stav a jeho výstup po dobu danou  $R_{14}$ ,  $C_6$  bude na úrovni H. Začne blikat  $D_2$ , oznamující, že je vstupní kmitočet vyšší, než může zpracovat IO1. V tom případě má ručka měřidla plnou výchylku a je tedy třeba přepnout přepínač Př na vyšší rozsah.

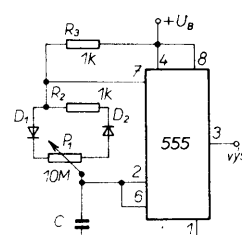
Přístrojem můžeme měřit kmitočet od několika Hz až do 50 kHz, tedy v pásmu nf techniky. Přístroj cejchujeme normálovými rezistory  $R_9$  až  $R_{12}$ , příp.  $R_6$  tak, že přivádime na vstup signál známého kmitočtu.



Obr. 38. Generátor pravoúhlého signálu s proměnným činitelem plnění

Na obr. 38 je generátor pravoúhlého napětí, u kterého můžeme nastavovat poměr signál-mezera až 1:1000. Nabíjení a vybíjení časovacího kondenzátoru probíhá odděleně a časy budou proto určeny jen vlastnostmi diod a komparátoru.

Při zapnutí napájecího napětí se nabije kondenzátor  $C$  přes  $R_4$ ,  $D_1$ ,  $P_1$ , dioda  $D_2$  je uzavřena. Po dosažení prahového napětí začíná vybíjení. V tomto okamžiku je na vývodu 7 téměř nulové napětí a kondenzátor se vybije přes  $R_3$ ,  $D_2$ ,  $P_2$ , dioda  $D_1$  bude uzavřena. Bude-li  $P_1 = P_2 = 10 \text{ M}\Omega$  a  $R_3 = R_4 = 1 \text{ k}\Omega$ , dostaneme poměr  $10^4$ . Změnou  $P_1$  a  $P_2$  se však mění i nastavený kmitočet.

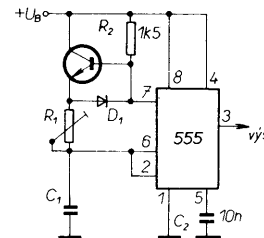


Obr. 39. Generátor pravoúhlého signálu s konstantním kmitočtem

Na obr. 39 je obdobný generátor, jehož kmitočet se při změně poměru signál-mezera nemění. S uvedenými součástkami může mít výstupní signál úroveň H od 0,01 do 99,99 % doby periody podle nastavení  $P_1$ . U generátorů (obr. 38 a 39) nemůžeme vypočítat dobu periody obvyklým způsobem,

protože diody ovlivňují dobu nabijení i vybíjení kondenzátoru. V astabilním režimu při napájecím napětí 15 V doba periody  $T = 0,76RC$ , při napájecím napětí 5 V doba periody  $T = 1,4RC$ . Víme, že v těchto aplikacích napájecí napětí silně ovlivňuje periodu (kmitočet), což může být někdy i na závadu.

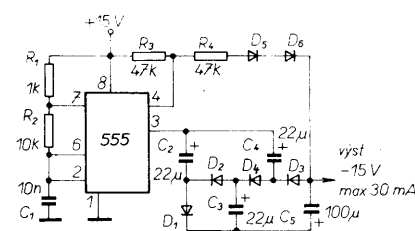
U multivibrátorů se časovací kondenzátor nabije přes dva a vybije přes jeden rezistor.



Obr. 40. Impulsní generátor s činitelem plnění 50 %

To má za následek, že časové konstanty se od sebe liší a liší se i činitel plnění. Podle obr. 40 můžeme dosáhnout činitela plnění (poměr signál-mezera) přesně 50 % při libovolném kmitočtu (i při změně kmitočtu).

Kondenzátor  $C_1$  se nabije přes  $R_1$  a tranzistor  $T_1$ , který je díky  $R_2$  po dobu nabijení otevřen. Bude-li na vývodu 7 úroveň L, tranzistor se uzavře, vede dioda  $D_1$ . Kondenzátor se vybije přes  $D_1$  a přes  $R_1$ . Jak při nabijení, tak i při vybíjení je  $R_1$  zapojen v sérii s jedním přechodem p-n: ve vodivém stavu při nabijení je to přechod tranzistoru, při vybíjení dioda. Použije-li se jako  $T_1$  spínací tranzistor, volíme jako  $D_1$  germaniovou nebo Schottkyho diodu.

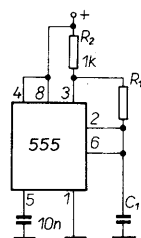


Obr. 41. Stabilizovaný zdroj záporného napětí

Občas se stává, že v nějakém zapojení dodatečně zjistíme, že potřebujeme i záporné napájecí napětí. Bez velkých komplikací i do hotového zařízení můžeme dodatečně vestavět zdroj záporného napětí podle obr.

41. Časovač 555 pracuje v astabilním režimu, na výstupu bude mít symetrické pravoúhlé napětí s amplitudou rovnou napájecímu napětí. Při tylu impulsu na výstupu časovače se kondenzátor  $C_2$  a  $C_4$  nabijeji přes  $D_1$  na velikost napájecího napětí,  $D_2$  nevede. Při tylu impulsu se  $D_1$  uzavře a značná část náboje  $C_2$  přes diodu  $D_2$  protéká do  $C_3$ . Po překlopení se nabijí  $C_4$  přes  $C_3$  a  $D_3$  asi na dvojnásobek napájecího napětí. V následující záporné půlperiodě nabije toto zdvojené napětí přes  $D_4$  kondenzátor  $C_5$  a vznikne výstupní záporné napětí.

Mezi napájecí napětí a zdvojovač napětí jsou připojeny na vstup RESET  $R_3$ ,  $R_4$  jako děliče. Objeví-li se na výstupu děliče napětí větší než  $-15$  V, časovač přestane pracovat, napětí na výstupu se změní, tím se změní i napětí na děliči, obvod 555 začíná opět pracovat. Popsaná činnost se do jisté míry podobá činnosti spínánoho zdroje. Při uvedených součástkách je výstupní napětí  $-15$  V stabilní v mezech  $\pm 1\%$  do maximální zátěže asi  $30$  mA. Změnou odporu rezistoru děliče můžeme dosáhnout i jiných výstupních napětí.

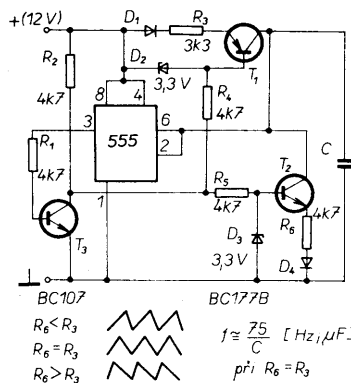


Obr. 42. Impulsní generátor

Na obr. 42 je generátor signálu s činitelem  $50\%$  s minimálním počtem součástek. Při zapnutí napájecího napětí bude na kondenzátoru  $C_1$  nulové napětí, na vývodu 2 bude zároveň L, na výstupu 3 úroveň H. Kondenzátor se začíná nabíjet přes  $R_1$ , a když napětí na vnitřním děliči dosáhne  $2/3 U_B$ , vypínač komparátor spojený s vývodem 6 překlopí výstup, na vývodu 3 se změní úroveň na L a kondenzátor se začíná vybijet přes  $R_1$ , až na napětí  $1/3 U_B$ . Po dosažení tohoto stavu spínací komparátor opět překlopí výstup a děj začíná znovu. Z toho je zřejmé, že nabijecí i vybijecí odpor jsou stejně, oba časy tedy budou stejné. Možným nedostatkem je, že minimální výstupní napětí není nikdy nulové a maximální výstupní napětí se také nerovná  $U_B$ . Ale tyto dvě „chyby“ jsou při malých napájecích proudech jednat malé a jednak symetrické. Kupř. při nabijecím-vybíjecím proudu  $200 \mu A$  bude napěťová chyba asi  $2,5$  V, minimální  $U_{vyp} = 2,5$  V, maximální  $U_{vyp} = 12,5$  V při  $U_B = 15$  V;  $R_2$  slouží ke zmenšení této chyby.

Časovací doba odpovídá obvyklému zapojení 555 v astabilním režimu, časy čela a tylu jsou stejné s tolerancí asi  $\pm 1\%$ . Změna napájecího napětí od 5 do 15 V mění kmitočet o méně než  $1\%$ .  $R_1$  má mít alespoň  $10\times$  větší odpor než  $R_2$ , jeho výběrem můžeme dosáhnout žádaného činitele plnění  $50\%$ .

Na obr. 43 je generátor „pily“ s měnitelným tvarem. Bude-li se kondenzátor nabíjet a vybijet přes zdroj konstantního proudu, pilovité napětí bude mít lineární průběh. Použijeme-li dva zdroje konstantního proudu, nabíjení a vybijení proběhne nezávisle a bude možné tyto pochody regulovat samostatně. Základním zapojením je astabilní klopový obvod, jeho výstupní signál řídí oba zdroje konstantního proudu – je-li na vývodu



Obr. 43. Generátor „pily“ s měnitelným tvarem

3 úrovně H, tranzistor  $T_3$  se otevře, jeho kolektorové napětí bude malé, proto se přes  $R_4$  otevře dioda  $D_2$  a nabijecí proud protéká do kondenzátoru  $C$ . Malým kolektorovým napětím  $T_3$  se vyřadí z činnosti  $D_3$  a  $T_2$  bude uzavřen. Během nabíjení kondenzátoru  $C$  překlopí napětí na výstupu 6 komparátor a výstup mění svůj stav na L. Tranzistor  $T_3$  se uzavře, jeho kolektorové napětí výrádí z činnosti  $D_2$  a otevře se  $D_3$ . Zdroj konstantního proudu s  $T_1$  ukončí napájení  $C$  a přes  $T_2$  se kondenzátor vybije. Tento pochod se neučastní opakuje. Budou-li proudy obou generátorů stejné, pilovité napětí bude symetrické, činitel plnění bude  $50\%$ . Měníme-li odpor rezistoru  $R_6$ , mění se i tvar výstupní „pily“, obr. 43.

Další možnost použití časovače je na obr. 44, kde je z převodníku napětí-kmitočet vytvořen obvod pro dělení a odmocňování. Přes operační zesilovač se řídí činnost tranzistoru  $T_1$  – FET, který určuje kmitočet obvodu 555 v astabilním režimu. Kmitočet je úmerný řidicímu napětí operačního zesilovače (nehledě na určitou konstantu provozního režimu FET). Kapacitu časovacího kondenzátoru  $C_1$  je možné přizpůsobit rychlostním změnám vstupního signálu, při rychle se měnícím vstupním signálu volíme menší kapacitu, tj. vyšší kmitočet.

Na výstupu časovače bude pravoúhlé napětí a jeho kmitočet bude závislý na vstupním napětí. Na vstupním napětí závisí i am-

plituda výstupního napětí, protože nabijecí konstanta je úmerná parametrům FET, vybíjecí konstanta závisí na  $R_3$ . Odpor představovaný tranzistorem FET je nepřímo úmerný řidicímu napětí operačního zesilovače, proto při zvětšování vstupního napětí se bude výstupní napětí zmenšovat.

Na výstup časovače je přes  $T_2$  připojen další operační zesilovač s jednotkovým zesilením (vůči  $U_1$ ). Výstupní napětí v závislosti na  $U_1$  a  $U_2$  je

$$U_{vyst} = k_1 (U_1/U_2)$$

a to (nehledě ke konstantě  $k_1$ ) je výstup analogového děliče. Výstupní signál dělicího obvodu zavedený na vstup (značeno přerušovanou čarou) mění  $U_{vyst}$  na

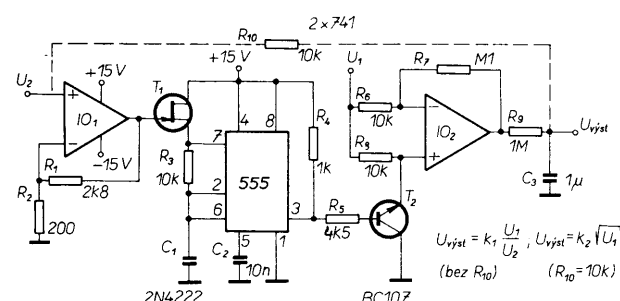
$$U_{vyst} = k_2 \sqrt{U_1}$$

Překročíme-li (jako u ostatních obvodů pro dělení a odmocňování) provozní napětí, výsledné napětí bude nesprávné. Pro velkou časovou konstantu výstupu můžeme sledovat jen pomalé změny vstupu.

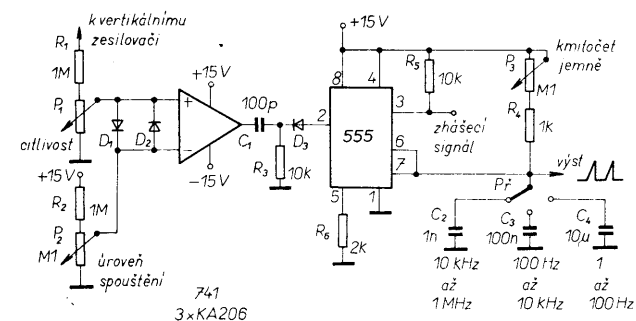
Na obr. 45 je jednoduchý spouštěný generátor pilovitého napětí pro časovou základnu osciloskopu. Spouštěný generátor se liší od synchronního v tom, že bez spouštěcího signálu generátor nedodává vychylovací napětí. Protože spouštěcí signál má souvislost s vychylováním, na obrazovce bude vždy jen žádany signál, který nezávisí na kmitočtu (v určitých hranicích).

Na vstupy operačního zesilovače přivádíme napětí z vertikálního zesilovače osciloskopu a z potenciometru  $P_2$ . V závislosti na nastavení  $P_1$  a  $P_2$  bude na výstupu operačního zesilovače pravoúhlý signál. Diody  $D_1$ ,  $D_2$  chrání vstup OZ, jeho výstupní signál je členem  $R_3C_1$  diferencován a zápornou částí vzniklého signálu přivádíme přes diodu  $D_3$  na časovač, který pracuje v monostabilním režimu. Záporné impulsy přivedené na vývod 2 (TRIGGER) dávají podněty k nabíjecímu cyklu. Kondenzátor  $C_4$  má být buď tantalový nebo s pevným dielektrikem, ostatní časovací kondenzátory mají být také kvalitní, v zádném případě keramické.

Na výstupu je mezivrcholové pilovité napětí  $5$  V. Když spouštěcí signál přichází během vzniku „pily“, nemůže tento pochod narušit, spouštění má účinek jen po dokončení „pily“. Výstupní signál odvádíme tak, aby nebyl výstup zatěžován, kupř. emitorovým sledovačem, operačním zesilovačem se zpětnou vazbou apod.

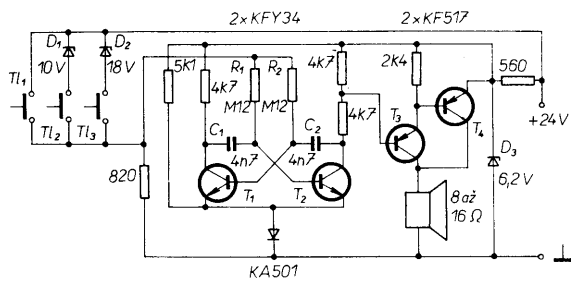


Obr. 44. Analogové dělení a odmocňování



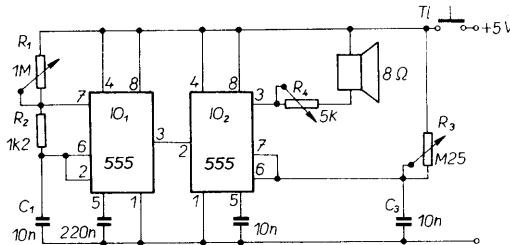
Obr. 45. Spouštěný generátor pilovitého napětí





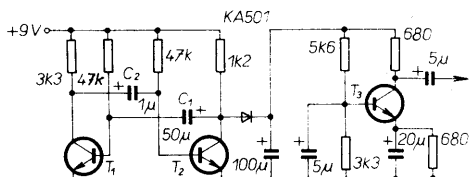
Obr. 53. Trojhlasý zvonek

Na obr. 53 je zvonek, který podle toho, které tlačítko stiskneme, dává tři různé tóny: při stisknutí  $T_1$ , tón o kmitočtu asi 2 kHz, u  $T_2$  asi 1 kHz a u  $T_3$  asi 300 Hz. Výhoda tohoto zapojení je v tom, že k signifikaci postačí jen jeden pář vodičů. V klidovém stavu jsou tranzistory  $T_1$  a  $T_2$  uzavřeny. Po stisknutí některého z tlačítek multivibrátor začíná kmitat na kmitočtu, který je závislý na napětí, přivedeném do báze  $T_1$  a  $T_2$ . Napětí jsou určena Zenerovými diodami  $D_1$  a  $D_2$  ( $T_1$ , popř. bez diody). Výstupní signál multivibrátoru zesilíme tranzistory  $T_3$  a  $T_4$  v Darlingtonové zapojení. Trojhlasý zvonek můžeme použít všude tam, kde chceme rozlišit místa, v nichž jsou umístěna jednotlivá tlačítka.



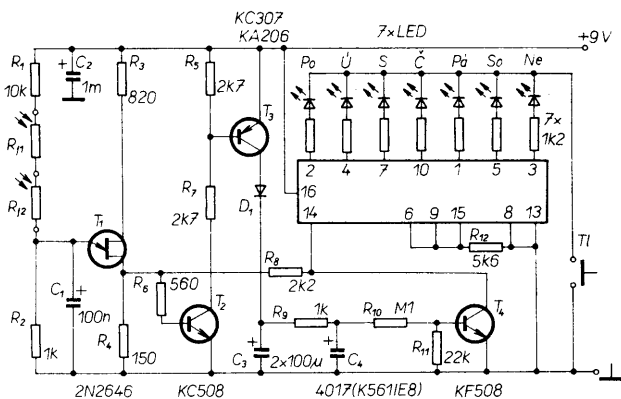
Obr. 54. Zvonek se zvláštním zvukovým efektem

Na obr. 54 je zapojení signalizace, která dává zvláštní zvukové efekty. První z časovačů pracuje jako volně běžící multivibrátor, jeho výstup je připojen na vstup druhého časovače, který pracuje jako monostabilní multivibrátor. Kmitočet multivibrátoru lze měnit změnou  $R_1$  a  $C_1$ . Monostabilní multivibrátor řídíme potenciometrem  $R_3$ ; pracuje jako dělič kmitočtu, vytvářející zvláštní zvukové efekty. Hlasitost lze v určitých mezích měnit změnou nastavení  $R_4$ . Nahradíme-li  $R_1$  a  $R_3$  fotorezistorem, při změně osvětlení se bude měnit i zabarvení zvuku, můžeme dosáhnout i efektu tremolo apod.



Obr. 55. Imitace gongu

Na obr. 55 je zapojení pro imitaci gongu. Můžeme použít libovolné tranzistory, i germaniové.  $T_1$  a  $T_2$  pracují jako multivibrátor, na diodu přivádíme signál pravoúhlého tvaru o kmitočtu asi 1 kHz. Změnou kapacity kondenzátoru  $C_1$  a  $C_2$  můžeme v širokých mezech měnit zabarvení akustického signálu a činitel plnění pravoúhlého signálu. Kondenzátor  $C_1$  určuje dobu dozívání,  $C_2$  dobu „narůstání“ zvuku. Výstupní signál bude třeba zesílit jednoduchým zesilovačem.



Obr. 57. Elektronický kalendář

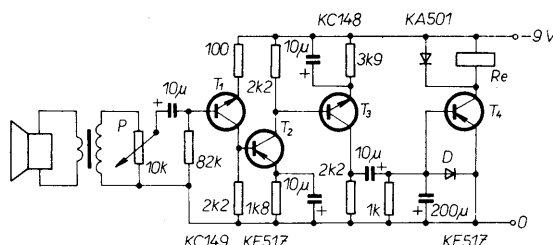
Občas potřebujeme signální zařízení, které dává zřetelně viditelné světelné znamení. Pro tento účel můžeme použít zapojení podle obr. 56, které poskytuje asi v jedno až dvousekundových intervalech silné světelné záblesky velmi krátkého trvání, viditelné na několik set metrů. Jedná se vlastně o jakýsi elektronický blesk nebo stroboскоп.

Zařízení je mobilní, lze je napájet z automobilového akumulátoru 12 V nebo ze síťového zdroje asi 12 V s možností odběru 1 A. Tranzistor pracuje ve spínacím režimu, v okamžiku jeho sepnutí vznikne na  $L_1$  napě-

Na obr. 57 je zapojení elektronického kalendáře, který svitem jedné ze sedmi svítivých diod ukazuje příslušný den v týdnu.

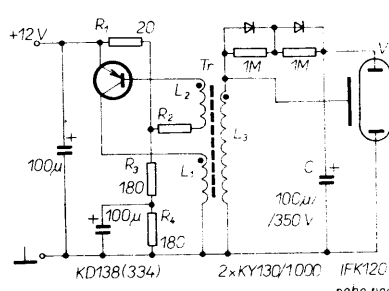
Změnu z jednoho dne na druhý řídí fotorezistory  $R_{11}$  a  $R_{12}$ . Náhodné světlo (z ulice, blesk apod.) nemá vliv na funkci.

Oba fotorezistory jsou umístěny v jedné trubce o délce asi 10 cm tak, aby jejich citlivé plochy směřovaly ke kraji trubky, jsou tedy „zády“ k sobě.



Obr. 58. Zvukový spínač

čový impuls, který indukuje vysoké napětí v cívce  $L_3$  – to se usměrní diodami a přivádí na kondenzátor  $C$ , na kterém se zvětšuje napětí asi do 250 V (zapalovací napětí výbojky). Výbojka však sama při tomto napětí



Obr. 56. Intenzivní světelná indikace

nezapálí. Výbojku uvedeme do činnosti zapalovacím impulsem, který vzniká na cívce  $L_3$  v okamžiku, kdy usměrněné napětí z cívky  $L_3$  na kondenzátoru dosáhne asi 250 V. Náboj kondenzátoru se rychle vybije přes výbojku a kondenzátor se začne znova nabijet. Protože energie výboje je poměrně malá (kupř. při napětí 250 V na kondenzátoru 100  $\mu$ F to bude jen 3 Ws(J)), můžeme poněkud zvětšit kapacitu kondenzátoru – pak však bude doba mezi záblesky delší.

$R_2$  bude třeba nastavit podle parametrů použitého tranzistoru, bude mít odpor v rozsahu 10 až 200  $\Omega$ .

Transformátor  $Tr$  vineme na feritový hříček nebo prstenec o  $\varnothing$  asi 25 až 30 mm,  $L_1$  má 20 závitů drátu o  $\varnothing$  0,6 mm,  $L_2$  6 závitů drátu o  $\varnothing$  0,3 mm,  $L_3$  510 závitů drátu o  $\varnothing$  0,1 mm.

Předpokládejme, že je pondělí večer, oba konce trubky jsou ve tmě. Když začíná svítat,  $R_{11}$  i  $R_{12}$  vlivem světla zmenší svůj odpor, napětí na kondenzátoru  $C_1$  se zvětšuje, v určitém okamžiku se  $T_1$  (dvoubázový tranzistor – UJT) překlopí a otevří tranzistory  $T_2$  a  $T_3$ . Kondenzátor  $C_1$  se vybije přes  $R_{14}$ ,  $C_3$  se nabije a za několik sekund bude nabít i  $C_4$ . Tranzistor  $T_4$  se otevře a první impuls z kolektoru  $T_4$  vyvolá změnu na vstupu čítače, na výstupu čítače se rozsvítí LED „úterý“. Dokud jsou oba fotorezistory osvětleny, kondenzátory  $C_3$  a  $C_4$  zůstávají v nabitém stavu a čítač nedostává nový hodinový impuls, svítí stále dioda „úterý“. Nastavá večer.  $R_{11}$  a  $R_{12}$  jsou stále více zastíněny, generátor pracuje stále pomaleji, nabíjení  $C_3$  a  $C_4$  se značně prodlužuje a další impulsy se přes rezistor  $T_4$  na čítač nemohou dostat – stav čítače zůstává nezměněn. Napětí na  $R_2$ , popř. na  $C_1$  se zmenší a  $T_1$  se nepřeklápe. Změna nastane až k ránu, kdy se svítáním opět nastane stav, popsáný výše.

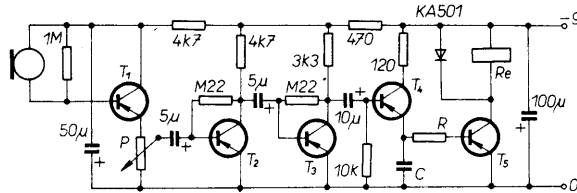
Trubku s fotorezistory je třeba umístit tak, aby na obou koncích trubky bylo vždy vhodné denní světlo nebo tma. Fotorezistory můžeme v podstatě použít libovolné, ale mají mít přibližně stejné vlastnosti. Odběr celeho „kalendáře“ při svitu jedné diody je asi 6 až 8 mA. Použijeme-li k napájení baterie, lze pro úsporu zapojit do přívodu napájecího napětí tlačítko.

#### „Zvukové spínače“

Zvukové spínače na následujících obrázcích můžeme použít rozmanitým způsobem. K jejich vybuzení postačí slabý zvuk, a tak mohou reagovat i na tiché kroky, tichý hovor, písot, nebo jiné zvuky.

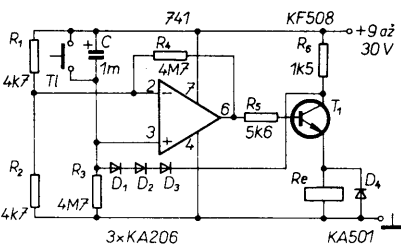
Na obr. 58 je citlivý zvukový spínač, jeho

citlivost regulujeme potenciometrem P. Transformátor přizpůsobuje mikrofon ke vstupu zesilovače, místo mikrofonu můžeme použít i libovolný reproduktor. Transformátor může být malý výstupní transformátor z využitého tranzistorového rádia, poměr počtu závitů má být asi 1:10. Signál z transformátoru zesílíme tranzistorem T<sub>1</sub> a Schmittovým klopovým obvodem s T<sub>2</sub> a T<sub>3</sub> přivádíme na spínací tranzistor T<sub>4</sub>, který ovládá relé. Dioda D může být libovolná germaniová dioda, chrání přechod emitor-báze tranzistoru T<sub>4</sub>.



Obr. 59. Zvukové relé s krystalovým mikrofonom

Na obr. 59 je relé (spinané zvukem) s krystalovým mikrofonom. Tranzistor T<sub>1</sub> slouží jako impedanční měnič pro mikrofon. Je-li signál z mikrofonu malý, tranzistor pracuje jako emitorový sledovač. Potenciometrem P nastavujeme práh citlivosti. Přijde-li na tranzistor T<sub>4</sub> záporná půlvlna signálu, otevře se a nabijej se kondenzátor C<sub>4</sub>. Kapacitu kondenzátoru C<sub>4</sub> si zvolíme podle potřeby od 20 do 1000  $\mu$ F. Napětím na tomto kondenzátoru ovládáme tranzistor T<sub>5</sub>. Režim můžeme nastavit tak, že relé přitáhneme jen na dobu znění vstupního signálu, nebo odpadne již po několika sekundách po odeznění vstupního zvuku. Tranzistory mohou být libovolné (co najdeme ve starých zásobách).

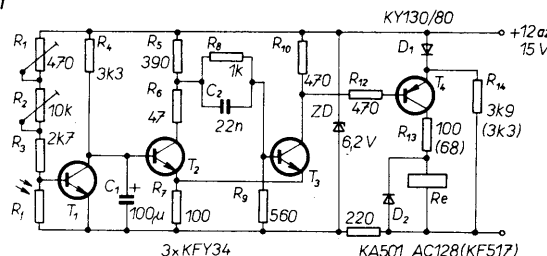


Obr. 62. Časový spínač s operačním zesilovačem

obrázku) jako spínač s trvale nastavenou dobou sepnutí asi 15 minut, nebo po výměně R<sub>3</sub> za potenciometr (příp. změnou kapacity kondenzátoru C) můžeme získat měnitelné časy asi od jedné sekundy do 20 minut.

Napájecí napětí lze zvolit asi od 9 do 30 V, podle zvoleného napětí si zvolíme i typ relé.

R<sub>1</sub> a R<sub>2</sub> tvoří dělič napětí, získané poloviční napájecí napětí se přivádí na invertující vstup operačního zesilovače. R<sub>4</sub> ve zpětné vazbě zvětšuje vstupní odpor OZ. Relé je v klidovém stavu, tlačítko Tl je rozpojené.



Obr. 63. Relé citlivé na světlo

Stisknutím tlačítka se zkratuje kondenzátor C, na neinvertujícím vstupu operačního zesilovače bude napětí rovné napájecímu napětí, OZ „se překlopí“ a relé sepnese. Rozpojením tlačítka začíná časovací interval. Kondenzátor se přes R<sub>3</sub> začíná nabíjet, napětí na neinvertujícím vstupu se zmenší a když dosáhne určité velikosti, operační zesilovač se opět vrátí do výchozího stavu, kotva relé odpadne, spínací perioda skončila. Nová perioda začne opět po stisknutí tlačítka.

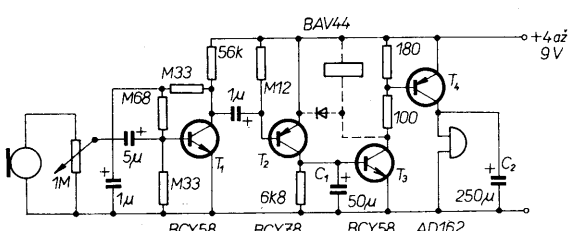
Při zvětšování napětí na kondenzátoru C těsně před okamžikem překlopení OZ by kotva relé mohla kmitat, proto jsou v obvodu zařazeny diody D<sub>1</sub> a D<sub>3</sub>.

#### „Světelné spínače“

Relé řízené světlem můžeme použít v nejrůznějších aplikacích: při počítání kusů výrobků, lidí, jako poplašné zařízení, v automatačních zařízeních atd. Fotoelektrická relé lze nastavit na žádoucí citlivost, relé mohou reagovat na světlo nebo na zastínění, jejich použití je prostě velmi rozmanité.

Světlem řízené relé na obr. 63 je velmi citlivé, pracuje se Schmittovým klopovým obvodem a je tepelně stálé. V zapojení můžeme použít libovolný fotorezistor. Ve tmě je odpor R<sub>1</sub> značný, rádu megaohmů a již při slabém osvětlení (10 lx) se rapidně zmenší.

Tranzistory T<sub>1</sub> až T<sub>3</sub> jsou napájeny stabilizovaným napětím asi 6 V. Citlivost zařízení se nastavuje trimrem R<sub>2</sub> hrubě a R<sub>1</sub> jemně. Klopový obvod pracuje velmi rychle, překlápení je jednoznačné, bez „nerozhodného“ stavu. Bude-li poslední tranzistor klopového obvodu (T<sub>3</sub>) uzavřen, uzavře se i koncový tranzistor T<sub>4</sub>, proto na jeho emitoru bude větší napětí než na jeho bázi. Funkce C<sub>1</sub> spočívá v tom, že chrání obvod před překlápením při krátkých světelných záblescích, jako jsou blesky, reflektory kolem jedoucích



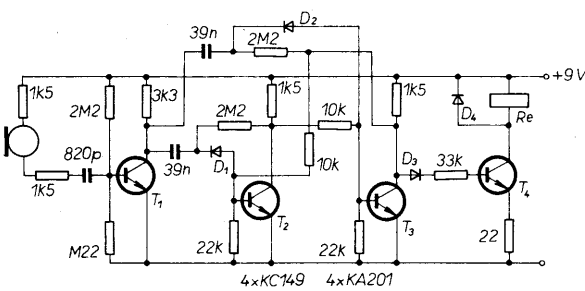
Obr. 60. Citlivé zvukové relé

Na obr. 60 je citlivé zvukové relé. Můžeme ho použít kupř. k indikaci telefonního zvonění někde, kde kvůli neslyšení. Čárkováné nakreslené relé můžeme přidat tehdy, potřebujeme-li spínat nějakou zátěž. Na vstupu použijeme krystalový mikrofon. V klidovém stavu při napájecím napětí 6 V je odběr proudu kolem 150  $\mu$ A, při zvonění – podle druhu použitého zvonku – se může proud zvětšit až na několik set mA. Vstupním potenciometrem nastavíme takovou citlivost, aby okolní zvuky (šum) neuvedly relé v činnost. Tranzistor T<sub>1</sub> zesiluje vstupní signál, který dále přichází na T<sub>2</sub>, T<sub>3</sub>. Kondenzátory C<sub>1</sub> a C<sub>2</sub> slouží jako filtry.

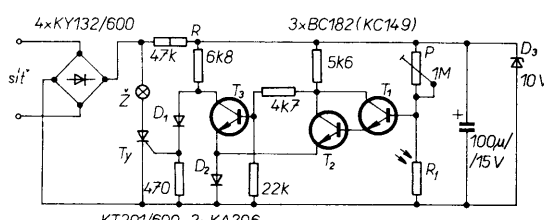
a diody D<sub>1</sub> a D<sub>2</sub> přicházejí na tranzistory T<sub>2</sub> a T<sub>3</sub>, tvořící bistabilní klopový obvod, který je v tomto okamžiku v klidovém stavu. Je-li T<sub>2</sub> uzavřen, napětí na jeho kolektoru je velké a otevírá T<sub>3</sub>. Rezistor 10 k $\Omega$  v bázi T<sub>3</sub> udržuje T<sub>3</sub> v otevřeném stavu, který trvá tak dlouho, dokud nepřijde nový signál, který změní stav tranzistoru. Tehdy i relé mění svůj stav.

Pomocí tohoto obvodu můžeme „dálkově“ vypínat a zapínat kupř. TV přijímač nebo jiný spotřebič. Signálem může být např. písnička nebo tlesknutí.

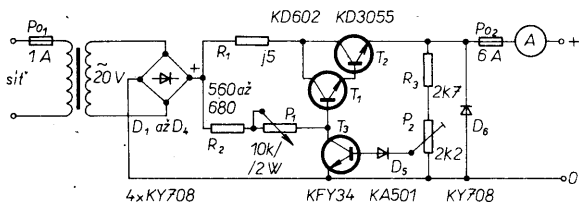
Na obr. 62 je časový spínač s operačním zesilovačem, který můžeme použít (podle



Obr. 61. Zvukové relé se zpožděným odpařením



Obr. 64. Spínač se síťovým napájením



Obr. 66.  
Automatická  
nabíječka

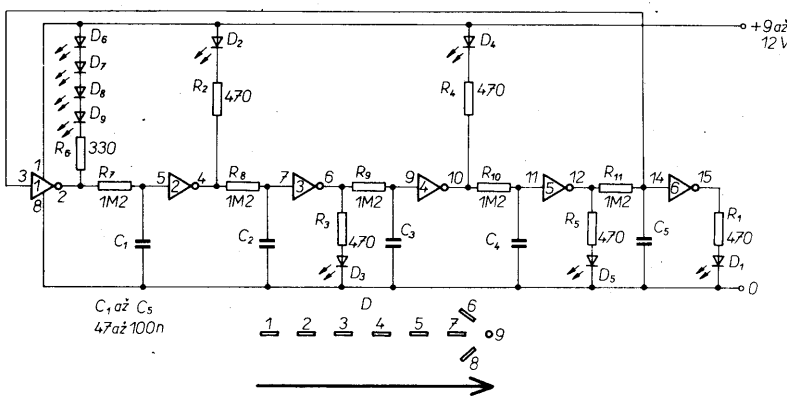
aut apod. Rychlosť preklapenia je nezávislá na rýchlosťi nebo „pomalosti“ zmenej riadiča svetla, je konstantná, vždy asi 10  $\mu$ s.

Na obr. 64 je spínač, ktorý je aktivovaný soumrakom a pri svítaní je znova uveden do klidového stavu. Zátěž – žárovka do 100 W nebo pod. – i zařízení napájíme ze sítě. Pomocný obvod napájíme přes rezistor R a napětí stabilizujeme asi na 10 V Zenerovou diodou D<sub>3</sub>. Usměrněné napětí (bez filtrace) přivadíme přes žárovku na tyristor, který je v klidovém stavu uzavřen, žárovka nesvítí. Dopadá-li světlo na fotorezistor R<sub>f</sub>, žárovka nesvítí. Při setmění se napětí na bázích tranzistorů T<sub>1</sub> a T<sub>2</sub> zvětšuje, tranzistory se otevírají. Kolektorové napětí T<sub>2</sub> se zmenšuje a tranzistor T<sub>3</sub> se postupně uzavírá, jeho zvětšující se kolektorové napětí (přes diodu D<sub>1</sub>) otevře tyristor, kterým pak protéká proud do zátěže. Dioda D<sub>2</sub> zmenší hysterezu obvodu. Při osvětlení R<sub>f</sub> Schmittův klopny obvod mění svůj stav a tyristor se uzavře.

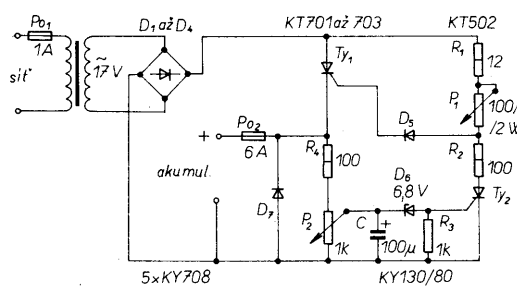
Citlivost obvodu lze nastavit trimrem P. Dbáme na to, aby na R<sub>f</sub> nedopadlo světlo žárovky, protože střídavé napětí, kterým je napájena, by způsobilo blikání Z.

Na obr. 65 je svíticí ukazatel směru. Osm svíticích diod obdélníkového tvaru + jedna kulatá tvorí šípkou, která po zapnutí napájecího napěti začíná ukazovat směr tak, že se postupně rychle rozsvěcují D<sub>1</sub> do D<sub>9</sub>, tím nejen tvarom, ale i pohybem světla je ukazován zvolený směr. Indikátor je velmi nápadný, zvláště ve tmavém prostředí a může sloužit kupř. v tmavé chodbě k ukázání směru třeba k WC, k východu, nebo pod. Svítivé diody používajeme červené barvy, neboť ty mají nejmenší provozní napětí.

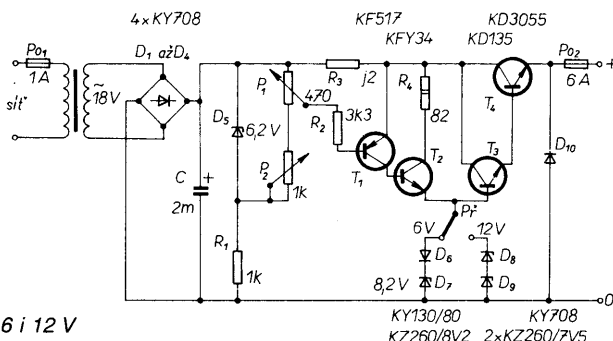
Použijeme napájecí napětí 9 V, při kterém bude odběr asi 50 mA, při napájení 12 V se odběr zvětší na 100 mA a integrovaný obvod zbytěně hřeje. MHB4049 obsahuje šest invertorů, které jsou zapojeny za sebe jako obvody RC, kmitající asi v sekundových intervalech. Protože invertory jako multivibrátory jsou zapojeny v sérii, jsou svítivé diody rozsvěcovány postupně. Vzniká tím dojem „pochodujícího“ světla. Změnu kapacity kondenzátorů, které mohou být i keramické, můžeme měnit časové konstanty a tím i rychlosť „pochodujícího“ světla. Začne-li se zmenšovat svít diody D<sub>9</sub> ve špičce šípky, bude třeba vyměnit baterie.



Obr. 65. Sviticí ukazatel směru



Obr. 67. Thyristorová nabíječka



Obr. 68. Nabíječka na 6 i 12 V

### Nabíječe

Automatické nabíječky akumulátorů mají některé výhody před nabíječkami s konstantním proudem. Můžeme nabíjet akumulátor podle pokynů výrobce, můžeme nabíjet malým proudem dlouhodobě, nebo velkým proudem pro rychlé nabíjení.

U automatických nabíječek používajeme tu vlastnost olověných akumulátorů, že se jejich napětí během nabíjení zvětšuje o 20 až 30 % nad jmenovité napětí. Po skončení nabíjení napětí dosahne 2,6 až 2,7 V na článek.

Okamžik ukončení nabíjení nastavíme s připojeným plně nabitym akumulátorem tak, že P<sub>1</sub> nastavíme na minimální odpór a otáčíme běžcem P<sub>2</sub> tak dlouho, až na ampérmetru ručka bude ukazovat nulový proud. Napětí na akumulátoru má být 14,5 až 15 V. Dioda D<sub>6</sub> chrání akumulátor i nabíječku před připojením s obrácenou polaritou (v tomto případě protéká diodou velký proud, který přeruší pojistku P<sub>02</sub>). Diody D<sub>1</sub> až D<sub>4</sub> i tranzistor T<sub>2</sub> umístíme na chladič, také tranzistor T<sub>1</sub> opatříme menším chladičem. R<sub>1</sub> je vinut z odporového drátu o Ø asi 1 mm. Transformátor vyhovuje asi na 100 VA se sekundárním vinutím pro 4 až 6 A (podle toho, jaký maximální proud chceme odebírat pro nabíjení).

Na obr. 66 je automatická nabíječka pro olověný akumulátor 12 V. Při připojení aku-

mulatoru k nabíječce má mít P<sub>1</sub> maximální odpór, nabíjecí proud je v tomto případě nulový. Potom změníme nastavení P<sub>1</sub> tak, až proud dostoupí žádané velikosti. Minimální odpór P<sub>1</sub> dává maximální nabíjecí proud, v tomto případě jsou tranzistory T<sub>1</sub>, T<sub>2</sub> (Darlingtonovo zapojení) plně otevřené. Při nabíjení se napětí akumulátoru zvětšuje. Bude-li na běžci potenciometru P<sub>2</sub> napětí větší než je součet napětí mezi bází a emitem T<sub>3</sub> + otevírací napětí D<sub>5</sub>, dosud uzavřený tranzistor T<sub>3</sub> se bude otevřít (tj. v závislosti na zvětšujícím se napětí na akumulátoru). Když T<sub>3</sub> již dostatečně vede, T<sub>1</sub> a T<sub>2</sub> se postupně uzavírají, až se uzavřou úplně. Tim je nabíjení skončeno.

Na obr. 67 je tyristorová nabíječka olověných akumulátorů. Střídavé napětí ze sekundárního vinutí transformátoru usměrněme diodami D<sub>1</sub> až D<sub>4</sub>, usměrněné napětí se nevyhlazuje. Tyristor Ty vede tehdy, bude-li na jeho řídicí elektrodě napětí o 2 až 3 V větší než na katodě – na kladném pólu akumulátoru. Tyristor se otevře při každé půlperiodě napájecího napětí a povede, dokud se protékající proud ke konci půlperiody nezmensí pod „přídržný“ proud. Velikost otevíracího napětí a tím i proud tyristoru lze regulovat potenciometrem P<sub>1</sub>. S pokračujícím nabíjením se zvětšuje napětí připojeného akumulátoru a nastává okamžik, kdy se kondenzátor C nabije na napětí, při němž začíná vést D<sub>6</sub>. Tento proud otevře dosud uzavřený tyristor Ty<sub>2</sub>, tím se zmenší napětí na děliči R<sub>1</sub>, P<sub>1</sub>, R<sub>2</sub> a tyristor Ty<sub>1</sub> se uzavírá, nabíjecí proud se zmenší. Napětí akumulátoru se nadále zvětšuje, tyristor Ty<sub>2</sub> se dále otevírá a nastává okamžik, kdy se proud Ty<sub>1</sub> zmenší pod velikost „přídržného“ proudu – tyristor Ty<sub>1</sub> se uzavře, Ty<sub>2</sub> vede – nabíjení je ukončeno.

Režim nabíjení musíme nastavit při plném nabitém akumulátoru, který má napětí asi 14,6 až 15 V. Potenciometr P<sub>1</sub> nastavíme na plný nabíjecí proud a P<sub>2</sub> tak, aby proud neprotékal. Proud Ty<sub>1</sub> omezuje jen odporník vinutí transformátoru, proto použijeme tyristor s dovoleným proudem 15 A. Transformátor má umožňovat na sekundární straně odběr proudu asi 6 A. Tyristor Ty<sub>1</sub> a diody D<sub>1</sub> až D<sub>4</sub> umístíme na chladič. Dioda D<sub>7</sub> plní funkci ochrany proti připojení akumulátoru s obrácenou polaritou. Je výhodné do výstupní cesty zapojit ampérmetr.

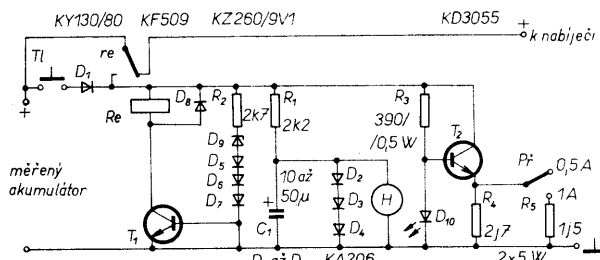
Na obr. 68 je univerzální nabíječka pro akumulátory 6 V a 12 V. Nabíječka je vlastně

stabilizovaný zdroj proudů, který nabíjí připojený akumulátor proudem, který nastavíme potenciometrem  $P_1$ .  $P_1$  spolu s  $P_2$  tvoří dělič, jeho napětí je stabilizováno diodou  $D_5$ .  $T_1$  a  $T_2$  je modifikované Darlingtonovo zapojení. Proud báze  $T_1$ , kterým řídíme kolektorský proud  $T_3$ ,  $T_4$  lze nastavit  $P_1$  a referenčním napětím  $D_6$  až  $D_9$ . Zmenší-li se proud tekoucí rezistorem  $R_3$ ,  $T_1$  se více otevřívá, nabíjecí proud se zvětšuje a obráceně. Zvětší-li se napětí na akumulátoru na maximum, napětí na emitoru  $T_4$  bude o 1,4 V menší než napětí na bázi  $T_3$ , v tom okamžiku je nabíjení ukončeno.

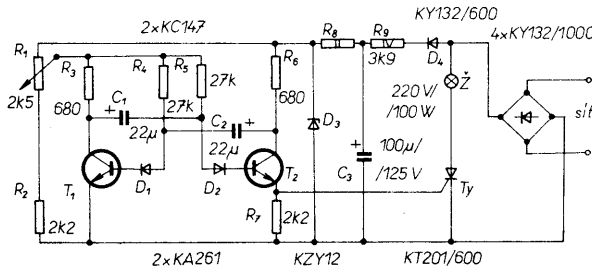
Usměrňovací diody, diody  $D_7$  až  $D_9$  a tranzistor  $T_4$  je třeba umístit na chladič.

z akumulátorem. Akumulátor napájí i elektrické hodiny  $H$ , které měří čas. Pro tento účel jsou vhodné nějaké bateriové hodiny, napájené napětím 1,5 V, protože napětí na  $R_1$ ,  $D_2$ ,  $D_3$ ,  $D_4$  je asi 1,8 V. Hodiny před zkoušením nastavíme na nulový čas. Proud, kterým napájíme hodiny, je nepatrný, ale započítává se do vybijecího proudu akumulátoru (do něhož se započítává i proud relé). Akumulátor se začíná vybijet. Proud protéká tranzistorem  $T_2$  a vybijecími odpory. Svitivá dioda  $D_{10}$  spolu s  $R_3$  stabilizuje napětí báze  $T_2$ , proto bude vybijecí proud konstantní. Zatěžovací rezistory  $R_4$  a  $R_5$  vybereme tak, aby jimi skutečně tekl zvolený proud 0,5, popř. 1 A. Tyto rezistory mají být drátové, požadované

nek zapojíme na vstup operačního zesilovače. Referenční napětí na neinvertujícím vstupu operačního zesilovače vytvoříme z  $R_1$ ,  $R_2$ . Vložíme-li termočlánek do plameňe, napětí z „kladného“ drátu přivedeme na neinvertující vstup, komparátor se překlopí, na výstupu bude napětí úrovně  $L$ . Citlivost zařízení lze nastavit trimrem  $P_1$  (upravuje offset). V tomto stavu, tedy s termočláncem v plamenu, bude oscilátor s  $T_1$  a  $T_2$  v klidovém stavu. Při zhasnutí plamene komparátor mění stav na výstupu, kde se objeví úroveň  $H$ , oscilátor začíná pracovat a ze sluchátky uslyšíme varovný tón. Použijí-li se jako  $T_1$  a  $T_2$  výkonové tranzistory, lze obvodem ovládat relé a spinat jiná poplašná



Obr. 69. Automatické měření kapacity akumulátoru



Obr. 71. Přerušovaná světelná signalizace

Na obr. 69 je zapojení pro automatické měření kapacity akumulátoru. Často je třeba přesvědčit se o skutečně ampérhodinové kapacitě akumulátoru, protože tovární údaj se časem mění a to nekontrolovaně. Jedná se hlavně o nikloakadmiové akumulátory pro napájení nejrůznějších přenosných zařízení (modely, vysílače, videokamery, atd.), u nichž může zmenšení kapacity znemožnit plánovaný provoz. I když akumulátor před použitím nabijeme, tak se, má-li zmenšenou kapacitu, během provozu předčasně vybije a...

Při vybijení akumulátoru proudem rovným 1/10 nebo 1/20 ampérhodinové kapacity se obvykle také nedozvídáme, jak se bude chovat akumulátor při větším zatížení.

Zařízení podle obr. 69 zkouší akumulátor „na ostro“ tak, že je zatížen odběrem velkého (nastavitelného) proudu. Výsledek měření ukáže, jak dlouho lze bez podstatného zmenšení napětí odebírat z akumulátoru velký proud. Zařízení je použitelné při zkoumání akumulátorů 12 V při vybijení proudem 0,5 a 1 A, ale po malé úpravě lze zkoušet parametry libovolného akumulátoru.

Zařízení na obr. 69 je v klidovém stavu, relé není přitaženo, přes klidové kontakty reaguje se nabíjí akumulátor. Po nabité akumulátoru na plné napětí chceme změřit jeho skutečnou kapacitu. Zvolíme si vybijecí proud přepínačem  $P_1$  (buď 0,5 nebo 1 A, případně po úpravě zapojení i jiné). Stiskneme-li tlačítko  $T_1$ , relé v kolektoru  $T_1$  přitáhne, protože napětí akumulátoru je větší než součet napětí na  $D_1$ ,  $D_5$ ,  $D_6$ ,  $D_9$  na přechodu bázem-emitor tranzistoru  $T_1$ . Kontakty reagují na přepnou, zařízení je odpojeno od nabíječe, relé zůstává přitaženo a celé zařízení je nyní napájeno

vaným odporem nastavíme umístěním odboček. Akumulátor tedy vybijíme poměrně velkým proudem, jeho napětí se během vybijení zmenšuje. Zmenší-li se asi pod 11 V, relé odpadne, odpojí napájení od akumulátoru, přepne na režim nabíjení ze sítě. Hodiny se zastaví a ukáží čas, jak dlouho dodával akumulátor nastavený proud. Z tohoto údaje víme, jakou skutečnou kapacitu má akumulátor.

Měření nepotřebuje žádný dozor, akumulátor se samočinně odpojí od měřicího zařízení a bude rádně dále nabijen. Tranzistor  $T_2$  je třeba umístit na chladič.

### Různé

Na obr. 70 je hlídáček plamene, který je použitelný všude tam, kde chceme zabezpečit nějaké zařízení s otevřeným plamenem. Při zhasnutí plamene dává přístroj zvukový výstražný signál. Je pravda, že u většiny zařízení tohoto druhu (plynová karma, topení apod.) při zhasnutí plamene se přívod plynu uzavře, přesto je však mnoho možností, kdy podobné zabezpečovací zařízení může zvětšit bezpečnost provozu.

Cidlem, kterým hlídáme plamen, je termoelektrický článek, který se skládá ze dvou vzájemně izolovaných drátů. Jeden z nich bývá k konstantu a druhý obvykle ze železa, ale jejich materiál může být různý (měď-konstant apod.). Takový článek můžeme sestavit i sami, hlavní je, aby byly dráty od sebe izolovány. Jeden konec drátu je na tvrdou svařen. Ohříváme-li svařený konec, na druhém konci vznikne termoelektrické napětí řádu milivoltů. Při použití zjistíme, který drát je „kladný“ a který „záporný“ a se správnou polaritou tento termoelektrický člá-

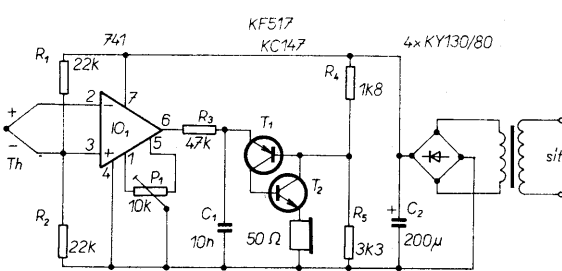
kaření. K napájení postačí transformátor do 10 VA.

Někdy můžeme potřebovat silnější přerušované světlo. Zařízení s multivibrátorem a relé působí jiskření na kontaktech, kontakty se opalují a vzniká rušení, proto bude výhodnější použít bezkontaktní spínání.

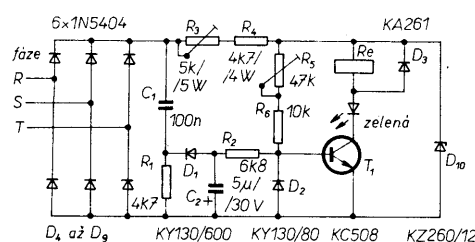
Zapojení je na obr. 71. Žárovku napájíme z usměrňovacího můstku přímo síťovým napětím přes tyristor  $T_y$ , který je řízen pravohýrními impulsy. Řídící impulsy pro tyristor přicházejí z multivibrátoru, který pracuje na kmitočtu 1 až 2 Hz. Tranzistory  $T_1$  a  $T_2$  pracují jako astabilní multivibrátor a pravouhlé napětí na emitoru  $T_2$  se vede na řídící elektrodu tyristoru. Kmitočet lze v určitých mezech reguloval potenciometrem  $R_1$ ; chce-li dosáhnout odlišného kmitočtu, můžeme měnit i kapacitu kondenzátoru  $C_1$  a  $C_2$ . Diody  $D_1$  a  $D_2$  chrání přechod bázem-emitor tranzistorů. Dioda  $D_4$  zabezpečuje, že tyristor nezůstane otevřený při průchodu napětí sítě nulou.

U trifázového síťového napětí se stává, že „vypadne“ jedna fáze, spotřebič sice běží dál, ale s menším výkonom a může se stát, že se poškodi. Na obr. 72 je zapojení, které signalizuje, že některá z fazí vypadla. Výhodou zařízení je, že nepotřebujeme žádný napájecí transformátor, potřebné napájecí napětí odebíráme přímo ze sítě. Tuto skutečnost si musíme uvědomovat při mechanické konstrukci přístroje s ohledem na bezpečnost provozu.

Tři fáze sítě napájejí šest diod  $D_4$  až  $D_9$ . Na jejich výstupu je usměrněné, téměř vylázeňné napětí. Jsou-li všechny tři fáze v pořádku,



Obr. 70. Hlídací plamene



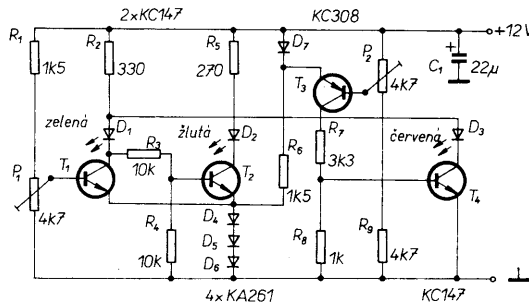
Obr. 72. Indikátor výpadku fáze

tranzistor T<sub>1</sub> vede, jeho báze dostává otevírací napětí přes R<sub>5</sub>, R<sub>6</sub>. Zelená LED v kolektoruovém obvodu svítí a oznamuje bezpečnostní stav, relé je přítaženo. Jeho klidové kontakty, které spínají varovný signál, jsou rozpojeny. Kondenzátor C<sub>1</sub> je nabity, na R<sub>1</sub> je jen malé brumové napětí, C<sub>2</sub> je také nabity.

Vypadne-li některá z fází, na výstupu usměrňovače se objeví velké brumové napětí, které kondenzátor  $C_1$  přivede na  $R_1$ . Dioda  $D_1$  toto napětí usměří, nabijí se kondenzátor  $C_2$ , tím se na bází  $T_1$  dostane napětí, které jej uzavře. Báze tranzistoru je chráněna diodou  $D_2$ . Zelená LED zhasne, relé odpadne a klidové kontakty relé zapojí varovný signál. Obvod varovného signálu (např. zvonku) můžeme napájet i z baterií, abychom nemuseli komplikovat zařízení. Pak varovný signál dostaneme i tehdy, vypadnou-li všechny tři fáze.

Ani v dražších vozech nebyvá přístroj, který by kontroloval napětí baterie, tak vlastně snadno nemůžeme zjistit stav baterie ani činnost regulátoru. Je možné – a některí majitelé vozů to také dělají – vestavět do přístrojové desky ručkové měřidlo, ale otřesy vozu měřidlu neprosívají a jeho indikace je především při jízdě velmi problematická.

Proto je výhodné použít indikaci stavu baterie a činnosti regulátoru. Indikátorem lze zjistit tři stavy: napětí je pod normálem, napětí je v pořádku a napětí je větší, než je dovoleno. Každý stav indikuje LED jedné barvy, informace je tedy přehledná a jednoznačná.



Obr. 73. Indikátor mezních stavů akumulátoru

zením množství informací, podle nichž pak pracují. Mohli bychom to porovnat s lidským tělem: vjemy, dodávané našimi smysly, zpracuje mozek, který nejrůznější „hlášení“ bud' jen registruje, porovnává s do paměti již dříve uloženými údaji, nebo dává příkaz svalům k vykonání určité činnosti. Tento pochod – automatické řízení – stále více proniká do všech dějů kolem nás, a jak vidíme, předpokladem úspěšného rozhodování jsou informace a dostatečné množství vstupních údajů, dat, dodaných senzory.

Senzory mohou být aktivní nebo pasivní. Aktivní jsou takové, které bez dodání energie údaj samy převádějí na napětí, proud nebo ráboj (kupř. piezoelektrický tlakový senzor). Pasivními senzory jsou takové, které k činnosti potřebují pomocný zdroj napětí nebo proudu, aby změna jejich vlastností mohla být vyhodnocena (termistor). Jsou senzory jednoduché, které přímo reagují na změnu, jsou senzory složité, u nichž se jednoduchý signál přetvoří na elektrický a i senzory tzv. inteligentní, které signál zpracovávají, korigují, linearizují apod., obvykle jsou integrovány na jednom čipu s dalšími obvodami.

Co vlastně můžeme senzory měřit, indikovat a vyhodnocovat? Odpověď je jednoznačná, všechno:  
polohu, vzdálenost,  
úhel, odraz,  
rychlosť, zrychlení, rychlosť otáčení,  
sílu, tlak, hmotnosť,  
tvar,  
teplotu,  
zvuk

záření, absorpci, barvu,  
hustotu, integraci,  
vlhkost,  
množství, kusy,  
průtok

a jiné další, které dávají informaci o tlaku a roztažování, o elektrickém a magnetickém poli, o záření, o pohybu částic, atd., atd., cestou piezoelektrickou, chemickou, změnou odporu, přeměnou mechanického pohybu na elektrickou veličinu, na základě pyroelektrického efektu, Hallova efektu, polarizace, změnou indukce, ionizací, atd.

Tedy nekonečná řada možností a použití senzorů, ve všech oborech nejen elektroniky, ale mechaniky, fyziky, chemie, lékařství a dalších. Není možné se v krátkých poznámkách zabývat všemi možnostmi, proto si vybereme jen některé, s nimiž se můžeme setkat častěji.

*Odporové senzory.* Většinou vycházíme kromě specifického odporu materiálu z jeho délky a průřezu. Každá změna ovlivňuje některou z vlastností, a vhodně vybrané senzory dávají potřebné informace o vlivech, které tuto změnu vyvolají (kupř. tenzometrické senzory, měření teploty kovovými nebo polovodičovými materiály, tlakové senzory apod.). Tenzometrická čidla jsou konstruována tak, že jsou na pružný podklad – třeba jen papír – pevně nalepeny velmi tenké odpорové dráty ve formě meandru. Po přilepení nosiče na zkoušený materiál se změnou mechanických vlastností (prodloužení, ohyb) mění i odpor drátek. Místo drátek se používají i tenké fólie.

Dalším velmi používaným drátovým senzorem je platinový drát, u nás ve známých teplotních senzorech PT 100. Velmi tenký platinový drát v keramickém ochranném pouzdře má při 0 °C odpor přesně 100 Ω. Čidlo je použitelné na měření teploty od -250 do +1000 °C (viz AR B4/1986).

Novější jsou tepelné senzory z křemíku (KTY fy Siemens, PTS maďarské výroby); které mají obvykle tvar plastickového tranzistoru. Tato čidla jsou bez podpůrných obvodů nelineární, k jejich linearizaci existují různá zapojení, v poslední době jsou navíc ve společném pouzdře s integrovaným obvodem, který průběh linearizuje a na výstupu je přímo napětí  $10 \text{ mV/K}$  (I M35).

Zatím nejpoužívanějšími odporovými senzory jsou termistory, o nichž již bylo hodně napsáno.

Dalším druhem senzorů jsou *reaktanční senzory*, které reagují na změnu indukčnosti nebo kapacity. Změnu indukčnosti lze obvykle vyvolat změnou cívky, změnou vzájemné polohy cívek, změnou polohy jádra; ze měřit zrychlení, délku, vzájemný pohyb. Kapacitní senzory reagují na polohu, velikost, nebo vlastnosti dielektrika, změna dielektrika se používá při měření hladiny kapalin, koncentrace plynů apod. Speciálními kapacitními senzory jsou výrobky Philips a Valvo; např. KHY10 je speciálně určený pro měření vlhkosti vzduchu v rozmezí od 10 do 100 % relativní vlhkosti, přičemž kapacita senzoru se mění od 115 do 150 pF.

Piezoelektrické senzory pracují na principu krystalové vložky do gramofonu (působí-li se na výběr určitého krystalu tlakem, vzniká elektrické napětí, přitom mezi tlakem a napětím je lineární závislost). Tyto senzory se v poslední době rozšířily, používají se např. v lékařské elektronice, kde se jimi měří a kontrolují velmi malé tlaky krve, nebo v průmyslu, kdy se jimi snímají obrovské tlaky v servosystémech letadel a nejrůznějších strojů. Senzory tohoto druhu vyrábí také TESLA Rožnov (TM a trojmístné číslo), jsou však velmi drahé.

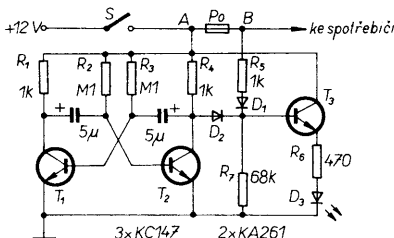
*Hallový generátor* je řízený magnetickým polem, jsou použitelné při indikaci pohybu, otáčení a dalších mechanických veličin. U nás je na trhu několik obvodů s Hallovými

generátory (MH1SD1, MH3SD3, MH1SS1, MH3SS3 a MAF100).

*Optické senzory* jsou velmi rozšířené a známé, jen pro ucelenosť vyjmenujeme fotorezistory, fototranzistory, fototyristory, fotodiody, jak v oblasti viditelného, tak i infračerveného záření. Fotoelektrické součástky již ovládají činnost motorů, automobilů, náramkových hodin, ale i elektráren.

Nesmíme zapomenout ani na *senzory*, které indikují plyny, alkohol, výparы benzínu, metan, kysličník uhelnatý, atd. Tyto senzory (Figaro 812, 813 apod.) mohou stoprocentně zajistit bezpečnost v nebezpečných provozech, ve vybušném prostředí, v dolech atd., je jen škoda, že se u nás nepoužívají, popř. ani nevyrábějí, přestože jsou často levné a nenáročné na výrobu.

Velmi málo se u nás používají např. i akustické senzory, pracující v oblasti ultrazvuku jako zabezpečovací zařízení v mnohých oblastech.



Obr. 74. Kontrola pojistek na malé napětí

Na obr. 74 je obvod, který hlídá pojistku v zařízení, které je napájeno malým napětím. Může se používat i v autě pro okamžité upozornění, že pojistka je přerušena (kupř. reflektoru apod.).

Obvod je připojen k pojistce v bodech A a B a ke kostře nebo zápornému napětí.

Zapneme-li napájení kontrolovaného zařízení, zároveň napájíme i hlídaci obvod. Je-li pojistka Po v pořádku, je otevřen přes  $R_5$  a D<sub>1</sub> tranzistor T<sub>3</sub> a vede, napájí LED, která trvale svítí a oznamuje, že přístroj je zapnutý a je v pořádku. Současně kmitá i multivibrátor s tranzistory T<sub>1</sub> a T<sub>2</sub> v rytmu 1 až 2 Hz, na kolektoru T<sub>2</sub> bude pravouhlé napětí, které se přes D<sub>2</sub> dostane i do báze T<sub>3</sub>. Diody D<sub>1</sub> a D<sub>2</sub> tvoří logický obvod OR, v bodě B je stálé napětí úrovni H, pravouhlé napětí nemá vliv na otevřený tranzistor T<sub>3</sub>, LED svítí stále.

Přeruší-li se pojistka, v bodu B nebude napětí úrovně H, signál multivibrátoru – který je nadále napojen z bodu A – ovládá tranzistor  $T_3$ , který bude střídavě otevíráν a zavíráň, LED v jeho kolektoru bude v rytmu multivibrátoru blikat a oznamovat obsluze, že je pojistka přerušena.

Víceúčelový kapacitní senzor je na obr. 75. Můžeme ho použít jak pro hlídání (auta, cenných předmětů), tak pro signalizaci dote-kem apod. Senzorová deska má mít velikost a materiál podle použití (kovová deska upev-něná izolovaně, hliníková fólie přilepená na skle, kousek kuprexitu apod.).

Po zapnutí napájecího napětí kmitá integrovaný obvod 555 jako astabilní multivibrator. Časovací kapacitu tvoří kovová deska

vůči zemi a vnitřní kapacita obvodu. Na vývodu 3 je pravouhý téměř symetrický signál. Na tento výstup je připojen řetěz článků  $RC$ , přes který se usměrněný signál přivádí na neinvertující vstup operačního zesilovače, který pracuje jako citlivý komparátor. Usměrněný signál odpovídá střední velikosti signálu multivibrátoru. Operační zesilovač je výrobek NDR, který se prodává i u nás, na vstupu má FET, ale můžeme ho nahradit i jiným typem naší výroby. Pracovní bod komparátoru nastavíme hrubě  $P_1$  a jemně  $P_2$ , tak, aby v klidovém stavu bylo napětí na invertujícím vstupu o několik milivoltů menší, než napětí na vstupu neinvertujícím.

Na výstupu komparátoru bude napětí úrovně H, tranzistor  $T_1$  bude uzavřen. Přiblížme-li nyní ruku k senzorové desce, mění se kmitočet oscilátoru i činítel plnění pravouhlých impulsů, což postačí ke změně výstupního napětí. Komparátor se jednou nebo vícekrát překlopí,  $T_1$  vede a kotva relé přitáhne. Obvod je možné podle potřeby doplnit tak, aby se po prvním překlopení kontakty relé udržely v sepnutém stavu a signál byl buď nepřetržitý, nebo trval potřebnou dobu.

Měřic  $U_z$

Kdo často potřebuje měřit Zenerovy diody, může použít k tomuto účelu přístroj podle obr. 76, v němž lze nastavit proud zkoušenou Zenerovou diodou. Zenerovo napětí lze pak číst na měřidle. Proud diodou můžeme měnit plynule od nuly do 100 mA, což větší nou postačí.

Přístroj se skládá ze zdroje proudu, z generátoru konstantního proudu a z měřicí části. Je použit malý transformátor se sekundárním napětím kolem 50 V se zatížeností asi 100 mA. Můžeme tedy měřit Zenerovo napětí asi do 60 V. Zenerovu diodu měříme konstantním proudem, generátor je sestaven z tranzistorů  $T_1$  a  $T_2$ . Referenční napětí pro generátor odebíráme z katody diody  $D_5$  (libovolná LED), sloužící zároveň jako indikátor zapnutí přístroje. Odporový trimr  $P_1$  nastavíme tak, aby měřidlo ukázalo 100 mA při běžci potenciometru  $P_2$  v krajní poloze.

Trimry  $P_3$ ,  $P_4$ ,  $R_3$  a  $D_6$  tvoří voltmetr, popř. předřadné rezistory k voltmetrovi, který měří napětí na zkoušené Zenerově diodě. Přepínač má dvě polohy: měření do 10 a do 100 V. Měridlo  $M_2$  má stupnice 100 dílků (můžeme použít pro tento účel Propisot), cejchujeme jej trimrem  $P_3$ , popř.  $P_4$  srovnaném s přesným měridlem. Miliampermetr  $M_1$ , kterým měříme proud protékací Zenerovou diodou, má jen

jednu stupnici s dělením na 100 délků a plnou výchylku ručky při 100 mA. Dioda D<sub>6</sub> chrání měřidlo před přetížením.

Jsou možné další varianty uspořádání. Chce-li někdo ušetřit vestavěný voltmetr a měřit externím DVM nebo Avometem, pak v bodech A–B–C odpojí voltmetr a externě měří napětí v bodech A–C. Měření lze však také vylepsit vestavěným digitálním voltmetrem. Pro ten účel vyhovuje DVM popsaný vícekrát na stránkách AR s obvodem C520D, když se vstupním děličem do 100 V, který bez přepínání bude ukazovat Zenerovo napětí s přesností na desetinu voltu. Také v tomto případě vynecháme vnitřní voltmetr podle obrázku a na body A–C připojíme vstup DVM. Na transformátoru pak však budeme potřebovat ještě sekundární vinutí asi 8 až 9 V, z něhož získáme stabilizované napětí 5 V k napájení DVM.

Přístrojem můžeme měřit i napětí na usměrňovacích diodách při různém zatížení v propustném směru, jak je naznačeno čárkovaně na schématu.

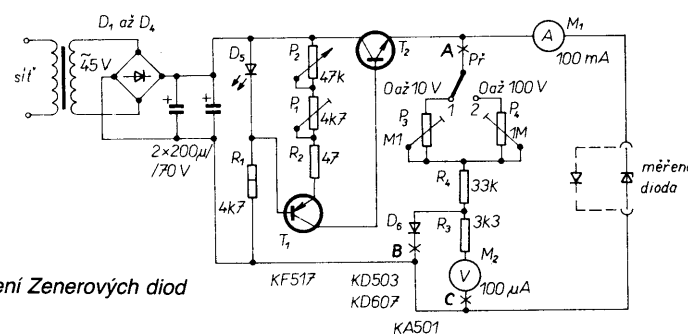
## Světelný maják

Často potkáváme vozidla, která jsou vybavena světelným majákem: záchranná služba, odvoz smetí, požárnici, neboli hasiči, VBM apod. Signalizace – rotující světlo – je nápadná: v barevném krytu svítí silná žárovka kolem ní rotuje reflektor a odráží světlo na všechny strany.

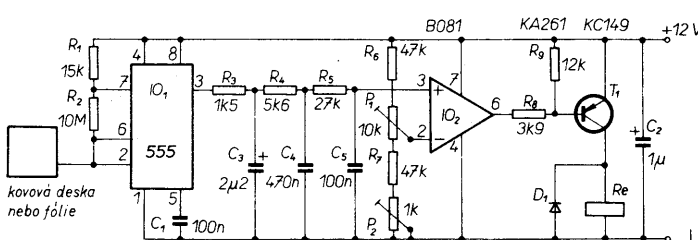
Tento efekt můžeme napodobit čistě elektronicky – zařízení bylo popsáno např. v AR 9/1987. Zapojení na obr. 77 je však jednodušší a nepotřebuje stabilizovaný zdroj 5 V pro napájení obvodů TTL, celé zařízení je napojeno z jednoho zdroje. Může sloužit jako výstražná signifikace při různých bezpečovacích zařízeních, nelze jej však použít na vozidle!!

Generátor s tranzistorem UJT (náhradu viz AR 9/1987, str. 345) vyrábí impulsy v pravidelných časových intervalech, které můžeme měnit trimrem  $P_1$ . Když se zvětší napětí na  $C_1$  na určitou velikost, tranzistor se otevře a náboj kondenzátoru se vybije přes  $R_4$ . Krátký kladný impuls otevře tranzistor  $T_1$ , který jej zformuje a přivádí na čítač  $IO_1$ , který je typu CMOS. Čítač umí čítat do deseti, je-li vývod 15 připojen na zem, ale v našem případě potřebujeme čítat jen do šesti, proto vývod 15 propojíme s vývodem 5. Sestý impuls čítače vynuluje a čítání začíná znova. Čítač je ovládán čely impulsů.

Jednotlivé výstupní signály IO, dosáhnoucí úrovně H, otevírají postupně tranzistory T<sub>2</sub>

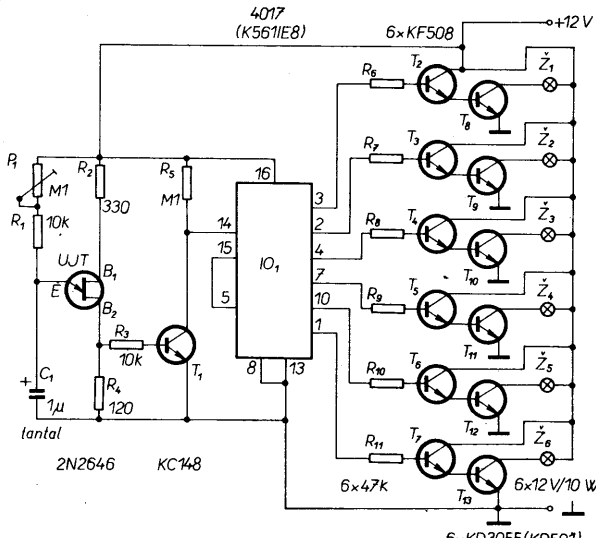


Obr. 76. Měření Zenerových diod



Obr. 75. Kapacitní senzor

až  $T_7$ , které budí v tomto pořadí výkonové tranzistory  $T_8$  až  $T_{13}$  – ty napájejí výkonné žárovky. Výkonové tranzistory není třeba chladit, neboť při napájení žárovek impulsy nejsou tranzistory zatěžovány trvale. Odběr proudu je jen asi 1 A. Při použití všech výstupů integrovaného obvodu můžeme po-



Obr. 77. Elektronický maják

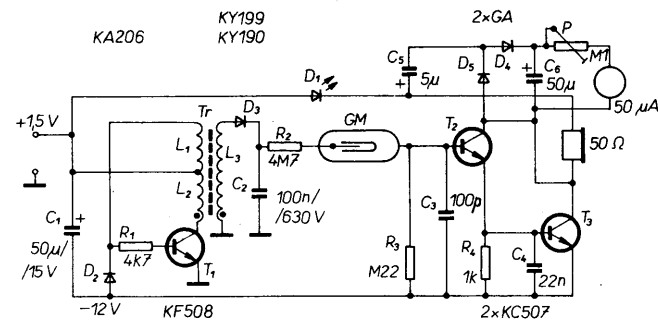
čet žárovek zvětší až na deset. Účinnějšího světelného efektu dosaheme, umístíme-li žárovky do malých reflektorů.

#### Geiger-Müllerův čítač

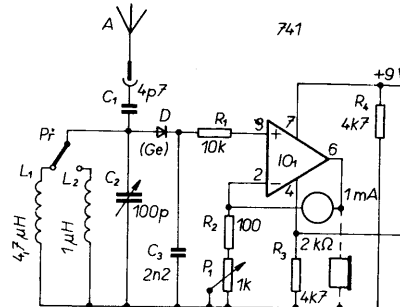
Na obr. 78 je jednoduchý Geiger-Müllerův čítač, který indikuje již slabé záření beta a gamma. Jediným problémem je získání trubice GM, které se běžně u nás nevyskytuje. Pro tento účel se však hodí i trubice GM sovětské výroby, která se vyrábí již přes třicet let, je dlouhá 113 mm, má průměr 12 mm a je kovová, jde o typ STS-5, který pracuje již od napětí 400 V. Ze zahraničních lze použít typy Philips ZP1400, ZP1310 nebo ZP1320, které jsou modernější, citlivější, ale i značně dražší – 60 až 120 dolarů.

Celé zařízení je napájeno z jedné tužkové baterie 1,5 V, odběr je max. 10 mA. Z napětí baterie se měničem získává –12 V pro napájení zesilovače a vysoké napětí pro napájení trubice GM. Transformátor měniče je navinut na feritovém hrnčíku o Ø asi 25 mm, vinutí L<sub>1</sub> má 15 závitů drátu o Ø 0,25 mm, L<sub>2</sub> 45 závitů stejných drátů a L<sub>3</sub> 550 závitů drátu o Ø 0,1 mm. Začátky vinutí jsou ve schématu označeny tečkami. Měnič pracuje jako blokovací oscilátor, na sekundárním vinutí při vypínání vzniká vysoké napětí, které se usměrňuje rychlou diodou D<sub>3</sub>. Obyčejná usměrňovací dioda je nepoužitelná, protože impulsy jsou velmi krátké a kmitočet vysoký. Je-li trubice GM mimo prostor záření, na jejím vstupu není napětí a zesilovač je v klidu. Dopadne-li částečka záření beta nebo gamma na trubici, ionizuje náplň trubice a na výstupu se objeví impuls, který vybudit zesilovač a z reproduktoru – telefonního sluchátka – se ozve praskot a LED (D<sub>1</sub>) blikne. V prostoru bez záření se ozývají praskoty asi po sekundách a LED bliká také, to je reakce trubice na kosmické záření. Přiblížíme-li trubici – která je v izolovaném pouzdře – k zářícímu předmětu (starší typy svíticích ciferníků hodin s „fosforem“, stupnice leteckého přístroje z války apod.), praskot bude častější a nakonec uslyšíme souvislý šum a LED bude stále svítit. Podle toho můžeme usoudit na četnost dopadu častic, tedy intenzitu záření. Indikace je velmi citlivá, přístroj indikuje sebemenší záření.

Přístroj byl doplněn i ručkovou indikací. Ze signálu do sluchátka přes kondenzátor C<sub>5</sub> odeberáme střídavé napětí, které zdvojujeme



Obr. 78. Jednoduchý Geiger-Müllerův indikátor záření



Obr. 79. Měřič síly pole

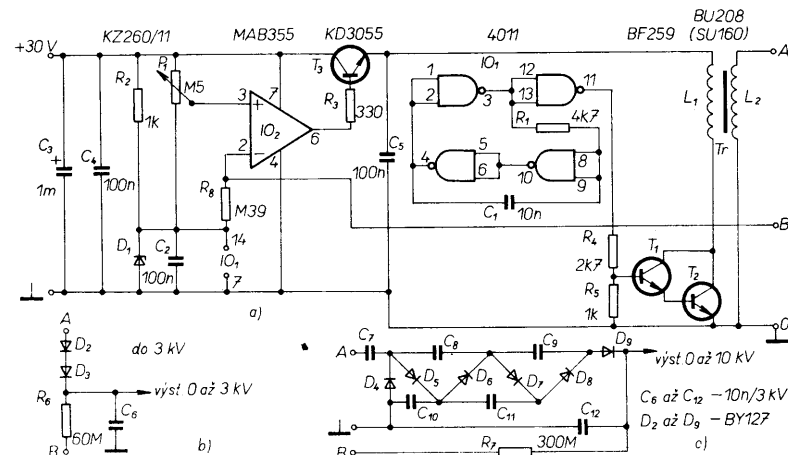
#### Zdroj vn

Na obr. 80 je laboratorní zdroj vysokého napětí. Základní zapojení je na obr. 80a, na němž je vlastní měnič, druhá část s usměrňovačem má dvě varianty. Podle obr. 80b je možné odebrat napětí od nuly do 3 kV, podle obr. 80c od 0 do 10 kV.

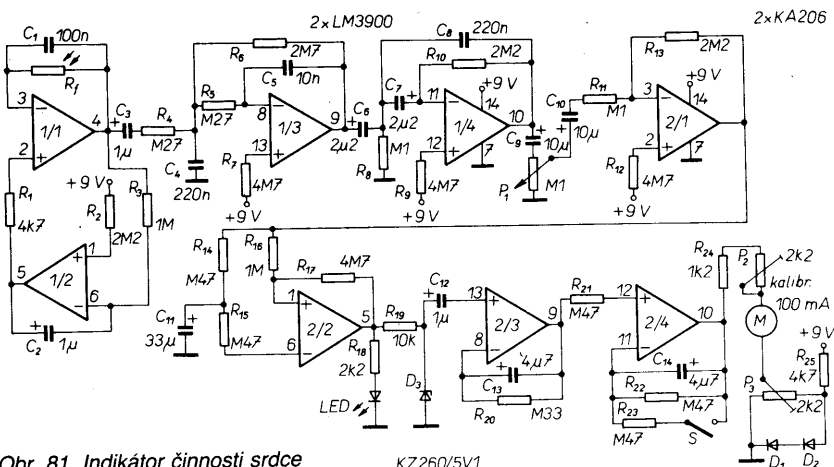
Před stavbou je třeba si uvědomit, že se jedná o vysoké napětí, které při doteku může způsobit smrtelný úraz, proto je třeba pečlivě dodržovat bezpečnostní předpisy a zásady.

Vysoké napětí získáváme ze zdroje 30 V. K regulaci výstupního napětí se používá operační zesilovač IO<sub>2</sub> a výkonový tranzistor T<sub>3</sub>. Zenerovo napětí na neinvertujícím vstupu IO<sub>2</sub> pomocí P<sub>1</sub> řídí výkonový tranzistor T<sub>3</sub>, kterým napájíme transformátor. Odběr na prázdrojno z napájecího zdroje je asi 50 mA, při zátěži 2 až 3 W se zvětší asi na 350 mA.

Integrovaný obvod IO<sub>1</sub> je zapojen jako astabilní multivibrátor a kmitá na kmitočtu asi 20 kHz. Výstupní pravoúhlé napětí výkonově zesilíme Darlingtonovým párem tranzistorů T<sub>1</sub>, T<sub>2</sub> a přivádíme je na primární vinutí transformátoru, který je navinutý ve feritovém hrnčíku o Ø asi 35 mm bez vzduchové mezery (s co největším A<sub>L</sub>). Vinutí L<sub>1</sub> má 25



Obr. 80. Zdroj vysokého napětí



Obr. 81. Indikátor činnosti srdce

KZ260/5V1

závitů drátu o  $\varnothing$  0,75 až 1 mm, sekundární vinutí L<sub>2</sub> 500 závitů drátu o  $\varnothing$  0,2 až 0,3 mm. Tranzistory T<sub>1</sub> a T<sub>2</sub> přes R<sub>4</sub> nejsou otevřívány do saturace, velmi rychle se uzavírají a na primárním vinutí proto vznikají velmi rychlé impulsy napětí až 300 V, které na sekundární straně dělají požadované vysoké napětí. Na transformátoru musíme velmi dobré izolovat primární vinutí od sekundárního, aby napěťové špičky neprorazily vinutí.

Rezistory, na nichž je vysoké napětí, R<sub>6</sub> a R<sub>7</sub>, musíme složit z rezistorů o odporu 10 M $\Omega$ , aby nenašly přeskoky vysokého napětí. Diody bude třeba použít vysokonapěťové (nebo vnitřní usměrňovací bloky), asi na 1200 až 1500 V, kondenzátory 10 nF na 3 kV.

#### Indikátor tepu

Na obr. 81 je indikátor frekvence. Ke zhotovení přístroje mi dalo popud vlastní srdce, když najednou místo pravidelného rytmu začalo bláznivě vytukávat něco, co se podobalo morseovce, kterou dává úplný začátečník. Poznal jsem, jak je těžké sledovat vlastní tep, který je nepravidelný a občas i nějaký úder vynechává. Přístroj slouží k vizuálnímu sledování srdečních tepů, při každém tepu se rozsvítí LED a pravidelnost nebo nepravidelnost lze pozorovat vizuálně. Kromě toho přístroj integruje počet tepů a ukazuje na měřidle průměrný počet za minutu.

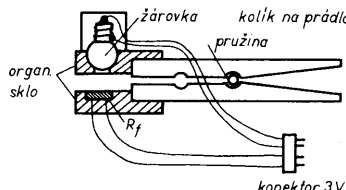
Podotýkám, že přístroj není laboratorní, slouží jen k laické vizuální kontrole při srdeční arytmii, indikace tepu je však absolutně přesná, indikace průměrného počtu tepů srdce je priblížná.

Z počátku jsem měl obavy ze složitosti snímání tepů, při zkouškách se však ukázalo, že to půjde bez problémů, konstrukce snímače využívá ovšem trochu mechanické zručnosti. Snímat tep můžeme na prstech nebo na ušním lalúčku. Na obou místech je jemná a hustá síť vlásečnic, přes které proudí krev, kterou „pumpuje“ srdce do krevního oběhu, v tom okamžiku tepu je „právý“ krve největší. V tomto okamžiku se mění průhlednost vlásečnic – tuto skutečnost použijeme ke snímání tepu. Malou žárovkou se stejnosměrným napájením prosvěcujeme prst nebo ušní lalúček. Přesně naproti žárovce je umístěn fotorezistor, který i při těchto relativně nepatrých změnách průsvitnosti mění – také nepatrne – svůj odpor. Změny odporu se zesilují, upravují a zesílené zpracovávají a potom indikují. Podotýkám, že kdo má na prstech mozoly, tj. tvrdou a zbarvenou kůži, měl by tep snímat z ušního lalúčku, protože prst bude neprůhledný.

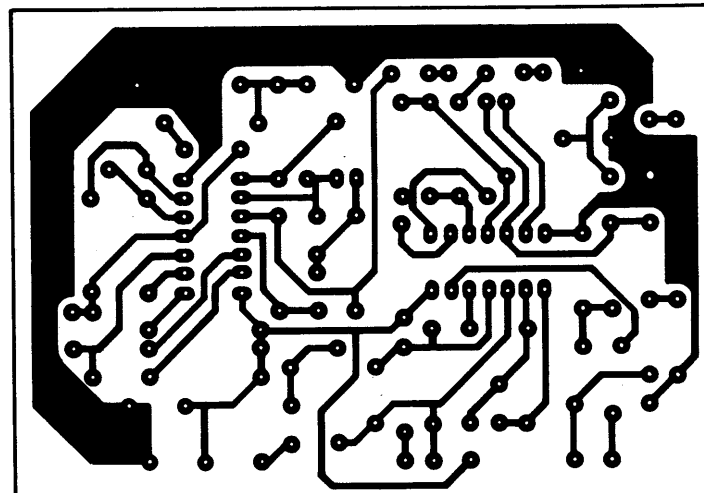
V přístroji podle obr. 81 byla použita dvě pouzdra se čtyřmi operačními zesilovači, jsou to Nortonové zesilovače, řízené nikoli napětím, ale proudem. Nortonový OZ jsou v záhraničí běžné, u nás se nevyrobají, a ani je

nelze jednoduchým způsobem u nás běžnými operačními zesilovači nahradit.

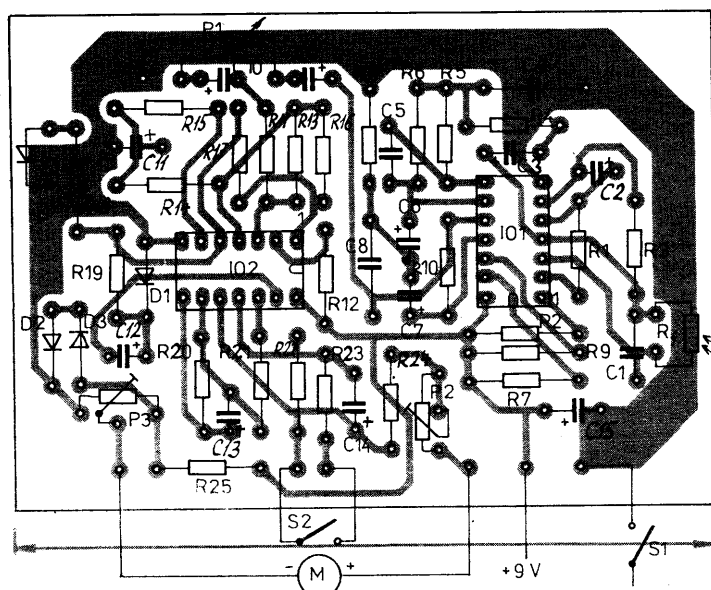
IO<sub>1</sub>/1 a IO<sub>1</sub>/2 pracují jako snímače a stabilizátor. Přes R<sub>1</sub> protéká konstantní proud, stejný proud teče i přes R<sub>1</sub>. IO<sub>1</sub>/2 působí, že na výstupu IO<sub>1</sub>/1 bude napětí asi 4 V a přes R<sub>2</sub> a R<sub>3</sub> protékají stejně proudy. Kondenzátor C<sub>2</sub> zabraňuje rychlým změnám proudu přes R<sub>1</sub> při tepu, který působí rychlé změny odporu R<sub>1</sub>. Protože na výstupu IO<sub>1</sub>/1 je velmi malý signál, zesiluje se IO<sub>1</sub>/3 a IO<sub>1</sub>/4, celkem o 40 dB. Kromě zesilování pracuje IO<sub>1</sub>/3 jako horní popust, omezují nejvyšší počet tepů, který může být asi 250/min. Dolní propust je IO<sub>1</sub>/4, který ořezává kmitočty pod 30 tepů za minutu. Tyto filtry zároveň omezují i vliv kmitočtu sítě a všechny parazitní signály těla, které by mohly rušit měřené údaje. Protože užitečný signál se může lišit u různých osob i o více než 20 dB, IO<sub>2</sub>/1 signál ještě zesiluje o 26 dB. Výstupní signál je upraven Schmittovým klopovým obvodem na pravoúhlý tvar pomocí IO<sub>2</sub>/2(R<sub>17</sub> závádou kladnou zpětnou vazbu). Oba výstupy mají předpětí k výstupu IO<sub>2</sub>/1. Na výstupu IO<sub>2</sub>/2 je LED, který se při každém tepu rozsvítí a indikuje četnost tepů. Pravoúhlý signál z výstupu IO<sub>2</sub>/2 se mění na napětí, úmerné průměru počtu tepů (IO<sub>2</sub>/3). Vždy, když je na výstupu IO<sub>2</sub>/2 úroveň H, nabije se C<sub>12</sub> přes R<sub>19</sub> a na neinvertujícím vstupu IO<sub>2</sub>/3 bude záporné



Obr. 83. Konstrukce snímače indikátoru tepu  
( $\dot{Z} = 2,5 \text{ V}/100 \text{ mA}$ )



93



Obr. 82. Deska s plošnými spoji pro indikátor tepu

B/2 89 Amatérské RÁDIO

Obr. 84 na obálce

napětí. Bude-li na výstupu IO<sub>2</sub>/3 úroveň H, nabije se částečně C<sub>13</sub> a při záporném napětí na výstupu IO<sub>2</sub>/2 se kondenzátor vybije do invertujícího vstupu IO<sub>2</sub>/3. R<sub>20</sub> zabezpečuje, že se C<sub>13</sub> vybije při každém vstupním impulsu, protože omezuje jeho napětí. Tím je dosaženo, že napětí bude úměrné počtu tepů.

Změny napětí jsou určeny časovou konstantou R<sub>20</sub>, C<sub>13</sub> (jsou zvoleny jako kompromis). Zenerova dioda D<sub>3</sub> stabilizuje výstupní napětí IO<sub>2</sub>/2 při změnách napájecího napětí. IO<sub>2</sub>/4 je oddělovacím zesilovačem, na jeho výstup je připojeno měřidlo. Diody D<sub>1</sub> a D<sub>2</sub> stabilizují napětí při změně napájecího napětí při nastavení nuly, protože na výstupu IO<sub>2</sub>/4 není nulové napětí, ale asi 0,8 V. Spínačem S a R<sub>23</sub> se mění zesílení IO<sub>2</sub>/4 a tím i rozsah měření na 100 nebo 200 úderů za minutu.

A nyní ke konstrukci přístroje. Všechny součástky kromě snímače jsou na jedné desce s plošnými spoji velikosti 90×65 mm. Oba čtyřnásobné operační zesilovače jsou LM3900 nebo 2900, které – jak již bylo zdůrazněno – nelze nahradit běžnými OZ. Použijeme dva zdroje: devítivoltovou destičkovou baterii pro napájení přístroje a dva tužkové články 3 V pro napájení žárovky 2,5 V/100 mA. Deska s plošnými spoji pro přístroj je na obr. 82.

Konstrukce snímače je na obr. 83. Nejlépe se hodí količek na prádlo z plastické hmoty. Oba díly količku na jedné straně prodloužme kouskem organického skla nebo novoduru, na konec jednoho dílu vyvrtáme díru, do které umístíme žárovku 2,2 až 2,5 V/100 až 200 mA. Na protější díl přesně naproti žárovce vyvrtáme díru o velikosti použitého fotorezistoru (nejlépe některý z typu WK650 až 75). Jsou to fotorezistory napařované, velikosti přibližně tranzistorů KF508, jenom plošší s okénkem). Do vyvrtnuté díry „usadíme“ fotorezistor, na který bude svítit žárovka. Rozvětvením količku nasadíme celý přípravek na některý z prstů nebo na ušní lalůček a količek se žárovkou s fotorezistorem zůstane na tomto místě upevněn. Ke spojení snímače s přístrojem použijeme čtyřpramený kablík a čtyřpólový modelářský konektor.

Uvedení do chodu je jednoduché. Použijeme spínač, který najednou zapne napájení přístroje i žárovky. Po zapojení napájecího napětí počkáme 20 až 30 sekund, než se poměry ustálí (nabijí se kondenzátor) a poté době by LED měl začít blikat. Pravidelnost blikání kontrolujeme mechanickým srovnáním četnosti tepů. Potom si změříme stopkami počet tepů srdce za minutu. Sejmeme spínač z prstu (ucha) a na měřidle trimrem nastavíme nulu, potom znova spínač nasadíme a trimrem P<sub>2</sub> nastavíme údaj,

získaný při měření času stopkami. Sepnutím S by měla být výchylka měřidla poloviční. Korekci – bude-li třeba – zabezpečí úprava R<sub>22</sub>.

Měřidlo použijeme s citlivostí asi 100  $\mu$ A s dělením na 100 dílků. Počet tepů tedy měříme na stupnici do 100 nebo 200/min. Trimrem P<sub>1</sub> nastavíme optimální zesílení.

### Měření impulsů

Na obr. 85 je přístroj k měření špičkového napětí krátkých impulsů. V amatérské i profesionální praxi často používáme indukční zátěž, cívky, na nichž zvláště při odpojení zátěže vznikají velké napěťové špičky, které mohou poškodit nebo zničit další součástky – kupř. spínací tranzistor koncového relé. Popisovaným přístrojem je možné měřit napětí impulsů nejen při odpínání indukční zátěže, ale i špičky šumového napětí apod.

Základním principem měření je určitá modifikace zapojení tzv. sample and hold, vzorovacího obvodu s pamětí. Střídavé napětí, popř. impuls přivádime přes kmitočtově kompenzovalý dělič na operační zesilovač IO<sub>1</sub>. Jeho výstupní napětí nabije kondenzátor C<sub>6</sub> na kladnou špičkovou hodnotu vstupního napětí. Kondenzátor C<sub>6</sub> má poměrně malou kapacitu a spolu s poměrně rychlou reakcí IO<sub>1</sub> zabezpečuje, že u krátkého impulsu nabije kondenzátor na maximum. Kondenzátor ovšem svůj náboj udrží jen krátkou dobu, pro udržení náboje slouží další operační zesilovač IO<sub>2</sub>, který pracuje obdobně jako IO<sub>1</sub>, jen kapacita stejně zapojeného kondenzátoru na jeho výstupu je tisíckrát větší, C<sub>8</sub> má tedy podstatně větší náboj, který se udrží delší čas. Jen tak se dají spojit dva protichůdné požadavky: rychlosť a setrvačnost. Třetí operační zesilovač, IO<sub>3</sub>, pracuje jako napěťový sledovač a napájí měřidlo.

Přístroj lze nastavit a cejchovat víceméně experimentálně. K nastavení vstupního děliče potřebujeme generátor pravoúhlých kmitů a osciloskop. Signál přivádime na R<sub>1</sub> až R<sub>4</sub> a průběh kontrolujeme v bodě X. Místo C<sub>1</sub> použijeme parazitní kapacitu R<sub>1</sub> a jeho přívodů a kompenzaci nastavíme kondenzátorem C<sub>5</sub> zkusmo. Potom zkusíme nastavit C<sub>2</sub> a C<sub>4</sub> – také experimentálně. R<sub>1</sub> až R<sub>5</sub> použijeme na větší napětí, nebo je složíme z několika kusů. Vstupu bude výhodnější využít na samostatné svorky, přepínač by mohl přidat nežádoucí kapacity a mohl by způsobit i přúraz vysokým napětím. Kondenzátor kmitočtové kompenzace u IO<sub>1</sub> (C<sub>7</sub>) určuje v podstatě vlastnosti přístroje. Kapacita asi do 3 pF sice zajistuje potřebnou rychlosť, ale chybě měření mohou dosáhnout i 50 % v důsledku zakmitání obvodu. Větší kapacita zmenší chybu ale i rychlosť, je třeba zvolit nějaký rozumný kompromis. Druhý stupeň s IO<sub>2</sub> jíž

nemá žádné závladnosti. Tlačítko Tl slouží k vybití kondenzátoru C<sub>8</sub> – tím se vynuluje měřidlo.

Na některý ze vstupů přivedeme stejnosměrné napětí, kupř. 20 V na vstup pro 30 V. Měřicí přístroj má ukázat odpovídající výchylku, tj. asi dvoutřetinovou. Je-li výchylka větší, měřidlo tlačítkem vynulujeme, je-li výchylka stále větší, je třeba upravit odpory rezistorů na vstupu.

Potom následuje test na rychlosť a základny pomocí přípravku na obr. 85b. Kondenzátor C má kapacitu asi 100  $\mu$ F. Přepnouti kondenzátoru na vybití vyvolá impuls na R, který přivedeme na vstup. Kapacitu kompenzačního kondenzátoru C<sub>7</sub> zvětšujeme od nuly tak, až výchylka měřidla po každém vybití překročí správný údaj. Pak zmenšujeme kapacitu kondenzátoru C, až se záporná odchylka také zmenší na minimum. Z takto zjištěných hodnot R a C obdržíme údaje, jak krátké impulsy můžeme ještě měřit.

### Měření teploty

Na obr. 86 je jednoduchý přípravek, který připojený k digitálnímu voltmetri slouží k měření teploty v rozsahu od -20 do +120 °C. Na DVM měříme na rozsahu 2 V a desetinnou tečku nebudeme brát v úvahu. Výsledek měření je 10 mV/°C v uvedeném rozsahu s dobrou linearitou.

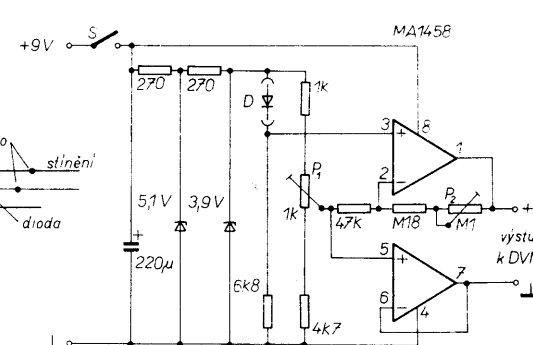
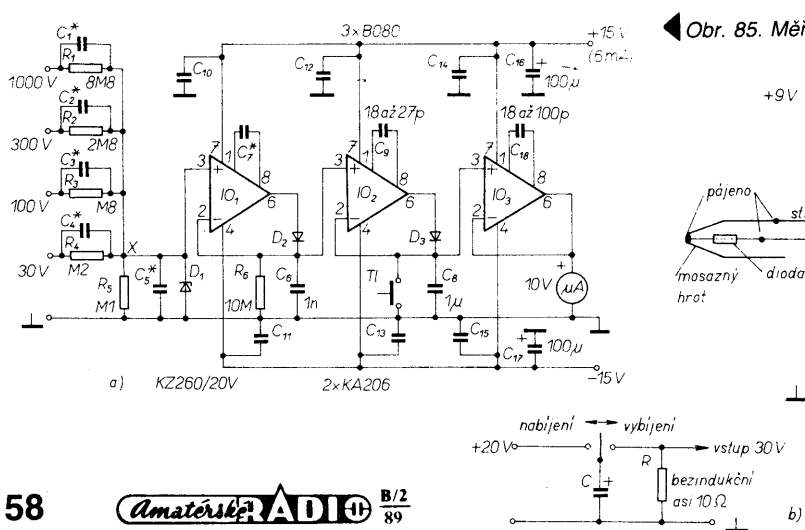
Přípravek napájíme z devítivoltové baterie. Dvojitý operační zesilovač nepotřebuje stabilizaci napájecího napětí, jen referenční napětí stabilizujeme zdvojenou Zenerovou diodou. Za sondu použijeme křemíkovou diodu, vyhovuje kupř. varikap KB205, KB213, příp. i jiné. Senzor upravíme podle obrázku tak, že do zúženého konce mosazné trubice připájíme jeden vývod diody, druhý připojíme k vnitřnímu vodiči stíněného kabelu. Stínění připájíme k mosazné trubici.

Cejchování je jednoduché. Sondu umístíme do rozdceného ledu, ke kterému jsme přidali trochu vody – tající led má přesně 0 °C, kontrolujeme přesným teploměrem. DVM nastavíme na rozsah 2 V a trimrem P<sub>1</sub> nastavíme na DVM 0,000. Potom sondu dáme do vařící vody a trimrem P<sub>2</sub> nastavíme na měřidlo 1,000, tj. 100 °C. Cejchování není sice úplně přesné, ale v praxi rozdíly můžeme zanedbat. Tento postup několikrát opakujeme, až se údaje již nemění.

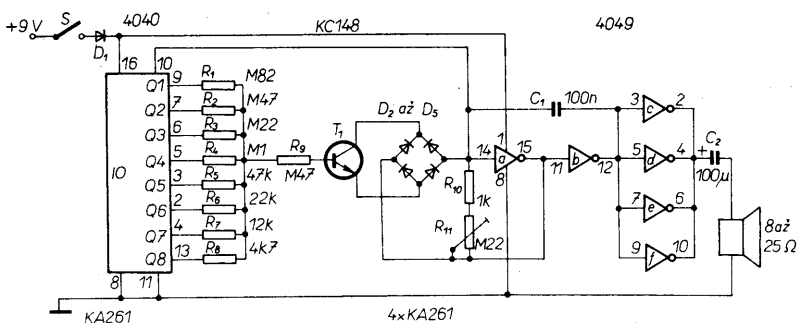
### Generátor zvuku

Na obr. 87 je generátor zvuku, který vydá velmi intenzívní a nepříjemný zvuk, připomínající policejní sirénu, ale mnohem nápadnější. Může se hodit především pro polopachová zařízení, ale i na plašení zvěře.

Obr. 85. Měření napětí krátkých impulsů



Obr. 86. Teploměr k DVM



Obr. 87. Generátor nápadných zvuků

ptáků apod., všude tam, kde je třeba využít velké hlasitosti a momentu překapení.

Zapojení se skládá ze čtyř částí: binární čítač s obvodem 4040, převodník D/A, VCO (napětím řízený oscilátor) a výstupní zesilovač.

Počáteční kmitočet signálu je závislý na nastavení  $R_{11}$ , invertor začíná kmitat na poměrně nízkém kmitočtu. Kmity postupují na binární čítač a na převodník D/A, který je složen z rezistoru  $R_1$  až  $R_8$ . Když čítač přes konvertor dává postupně signály na tranzistor  $T_1$ , oscilátor mění svůj kmitočet a vytváří zvukové efekty i pomocí diodového můstku, který pracuje jako napětím řízený odpor. Signál takto vytvořený je pak zesílen invertory obvodu 4049 a dává velmi intenzivní a nepříjemně znějící zvuk. V případě potřeby na výstupu můžeme použít výkonový zesilovač.

#### Automatické zalévání

Pravidelné zalévání patří ke stálému programu každého zahrádkáře i chalupníka. Ale ta pravidelnost mnohdy utrpí pro nepřítomnost nebo z jiných důvodů. Proto by měla i zde nastoupit elektronika, která tuto funkci může bezpečně zastát. Předpokladem je samozřejmě přítomnost vody bud' z vodovodu nebo ze studně, příp. z rezervoáru a síťové napětí. Máme-li k dispozici vodovod, nepotřebujeme čerpadlo, použijeme elektromagnetický ventil, jaké bývají na automatických pračkách, který otevřeme na určitou dobu a bud' rozprašováním, nebo proudem vody, příp. jiným způsobem zavlažíme půdu. Máme-li studnu, budeme potřebovat spustit elektrické čerpadlo a vodu rozvádět, jako v předešlém případě. U vodní nádrže – leží-li dosti vysoko – postačí elektromagnetický ventil, leží-li nízko, pak také potřebujeme vodní čerpadlo.

Důležité je, jak chceme zalévat. To závisí jednak od pěstovaných druhů rostlin, jednak od toho, je-li zalévaná plocha volná nebo ve skleníku. Proto budou popsány dvě varianty: jedna, při níž lze zalévat podle toho, jak je vlhko ve skleníku nebo jak je vyschlá půda, druhý způsob je řízen jen časem, závlaha bude pravidelná podle nastavení (každých 6, 12 nebo 24 hodin), nehledě na počasí. Každý způsob má své výhody i nevýhody, a který způsob si zvolit, může rozhodnout jen majitel skleníku nebo zahrady.

První varianta automatického zalévání je na obr. 88. Je určena v první řadě do skleníků, ale hodí se i pro venkovní použití. Zařízení zkoumá vlhkosť půdy a usoudí-li podle nastavení jeho čidlo, že je půda vyschlá, spustí zalévací systém na určitou dobu. Zařízení je doplněno dalším pomocným čidlem, které zalévání dovolí jen ve dne.

Čidlo, které indikuje vlhkosť půdy, může být – aby nekorodovalo – z uhlíků tužkové baterie nebo z nerezových drátů, jaké se používají v zubařství. Dva uhlíky upevníme na společný držák z izolantu ve vzdálenosti 30 až 50 mm a zapichneme je do země, kde snímáme vlhkosť; na toto místo nesmí dopa-

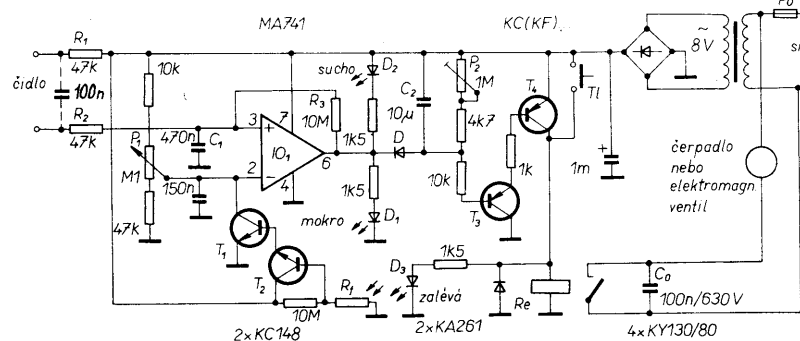
nou kondenzátoru  $C_2$ , který nemá být elektrolytický.

K odstranění brumového napěti na vstupu komparátoru slouží filtr ve složení  $R_1$ ,  $R_2$ ,  $C_1$ . Změnou  $R_3$  měníme hysterezi,  $P_1$  slouží k nastavení citlivosti – při jaké vlhkosť půdy má začít zalévání. Zpožďovací obvod s kondenzátorem ( $C_2$ ,  $P_2$ ,  $T_3$ ,  $T_4$ ) určuje dobu, po kterou poteče ještě voda po rozhodnutí čidla, že je „mokro“. Ve tmě vedou tranzistory  $T_1$  a  $T_2$  a vstup komparátoru dostává informaci, že je „mokro“ a nedovolí zalévání. Oba tranzistory uzavře teprve osvětlený  $R_1$ . Fotorezistor může být libovolného typu.

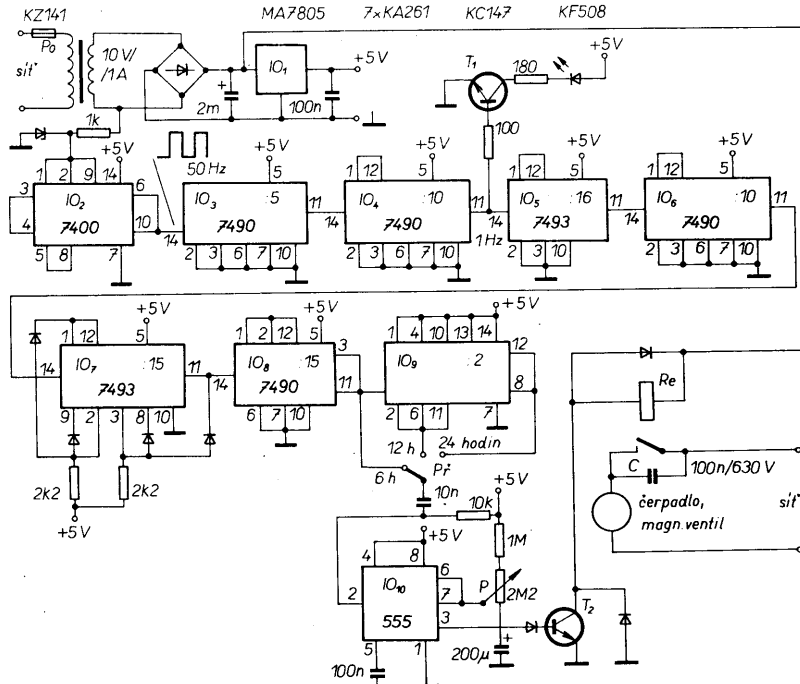
Relé v kolektoru  $T_4$  spíná elektromagnetický ventil nebo čerpadlo. Jeho spínací kontakty bezpodminečně musíme přemostit kondenzátorem, jinak by indukční špičky znova a znova zapínaly čerpadlo nebo ventil. Tlačítko tl použijeme, chceme-li z nějakých důvodů zalévat ručně, bez automaticky.

Protože pracujeme v mokrém prostředí, bezpečnostním zásadám věnujeme mimorádnou pozornost.

Druhá varianta automatického zalévání je na obr. 89. U tohoto systému nepoužíváme žádnou sondu, ale stanovíme podle potřeby pevnou dobu zalévání: po šesti, dvanácti nebo čtyřiceti hodinách. Ve stanovené době poteče voda po dobu, kterou lze nastavit potenciometrem  $P$ ; dobu můžeme zvolit v rozmezí asi 5 až 15 minut. Zalévací dobu zvolíme přepínačem  $P$ .



Obr. 88. Automatické zalévání I



Obr. 89. Automatické zalévání II

Na první pohled je zařízení složité, ale jedná se jen o několik čítacích-děličů, které odpovídají potřebné dlouhé časy.

Zařízení napojíme ze sítě (transformátor asi 15 VA), sekundární vinutí Tr má 8 až 10 V, odběr je asi 1 A. Po usměrnění použijeme k napájení logiky s obvodem TTL i časovače monolitický stabilizátor 5 V. Stabilizátor umístíme na chladič.

Střídavé napětí ze sekundárního vinutí po omezení Zenerovou diodou přivedeme na IO<sub>2</sub>, kde je tvarováno na „obdělníky“, jimž řídíme naše „hodiny“. Protože se tedy nejedná o žádný chronometr, přesnost kmitočtu síťového napěti plně postačí.

Síťový kmitočet 50 Hz dělíme padesáti IO<sub>3</sub> a IO<sub>4</sub> a dostaneme sekundové impulsy, které přes tranzistor T<sub>1</sub> rozsvěcují LED pro kontrolu chodu zařízení. Potom následuje řada děličů, které dělením 21 600 dávají interval 6 hodin, 43 200 interval 12 hodin a 86 400 interval 24 hodin. Po skončení zvoleného intervalu se dostane přes přepínač na vstup časovače impuls, výstup časovače se překlopí, relé přitáhne a zapojí čerpádlo. Čerpádlo se vypne po zvolené době. Ale v okamžiku přichodu impulsu na časovač čítac znova začíná čítat čas a po přesné stejné době se odehrává znova již popsáný děj, relé sepne, atd. Přepínačem si volíme čas při vypnutém napájecím napěti, abychom vyloučili vliv přechodových jevů na jeho kontaktech.

V zapojení nejsou žádné zálužnosti. Spínací kontakty relé (jako u předešlého zapojení) musíme blokovat kondenzátorem C.

Zařízení podobného typu můžeme použít všude tam, kde v určitých časových intervalech máme spouštět nějaké zařízení na určitou dobu. Kupř. obdobné zařízení je v provozu u mrazničky, kde termostat již agregát nevypínal. Byl nastaven čas 40 minut chodu agregátu a 30 minut klidu. Zařízení je v chodu již rok, teplota místo -18 °C v mrazničce se udržuje na -15 °C.

### Elektronický proutek

Určitě každý už slyšel o hledání vody proutkem, ale málokdo ví o tom, že vodu lze hledat také pomocí elektroniky. O takovém „elektrickém proutku“ zveřejnil článek známý časopis Elektor v r. 1986. Zapojení u nás nebylo vyzkoušeno, časopis však uveřejnil i fotografii hotového přístroje.

Je všeobecně známé, že člověk – dosud neúplně objasněno jak a proč – vnímá elektrické (nebo magnetické) pole, ve kterém se pohybuje. Tato vlastnost není u všech lidí stejná, někdo vnímá lépe, někdo vůbec ne. Popsaným přístrojem lze registrovat změny elektrického pole, proto je jej možné používat i k vyhledávání elektrického vedení, jako měřiče, popř. indikátoru koncentrace iontů, indikátoru elektromagnetického pole i detektoru záření. Lze jej použít i k detekci podzemních vod a dokonce určit směr toku této vody. Měřit lze mnoho veličin, protože kolem nás jsou různá pole: elektrické, elektromagnetické, pole zemského magnetismu, nemluvě již o kosmickém záření, slunečním záření atd. Teoretici tvrdí, že některá, především „umělá“ záření jsou škodlivá. V New Yorku zjistili, že u zvířat, která trvale žila v silném elektromagnetickém poli, vznikl chronický stres, změnil se jejich krevní obraz, obsah hormonů, zmenšovala se hmotnost. V jedné sovětské studii jsou popsány poruchy centrálního nervového systému u pracovníků na vedení vysokého napěti. Do jaké míry se projevují tyto poruchy v přítomnosti slabších polí, dosud není známo.

Vodní prameny lze zjistit proto – podle teorie proutkařů – že pohyb iontů ve vodě ruší okolní magnetické pole země. Postupujeme-li se při používání elektrického proutku „křížově“, lze prý určit i směr toku.

Tolik teorie, a nyní konkretně k zapojení podle obr. 90. Jako detektor kladných nebo záporných iontů použijeme prutovou anténu nebo kovovou desku. Přijímaný signál „shromáždime“ obvodem IO<sub>1</sub> a zesilíme IO<sub>2</sub>. Přicházejí-li z okolí impulsy, tj. jednotlivé ionty přišli rychle, znamená to, že se pohybujeme v silném poli, přijímač může být zahlcen. Aby se tomu předešlo, náboj je v pravidelných intervalech odváděn přes elektronický spínač na zem. Spínač je ovládán časovačem 555 (v provedení CMOS, lze však použít i obyčejný časovač 555), který je zapojen jako generátor pravoúhlých kmitů. Kmitočet lze nastavit trimrem P<sub>4</sub>, čímž určíme citlivost: čím nižší je kmitočet, tím větší bude citlivost. Spínač S<sub>1</sub> přepíná kmitočet, v sepnuté poloze, má-li P<sub>4</sub> maximální odpor, má přístroj maximální citlivost, protože náboj je vybíjen v delších časových intervalech a „slabší náboje mají dostatek času k našromáždění“. Dělič R<sub>6</sub>, R<sub>7</sub> a P<sub>3</sub> je určen k nastavení offsetu.

Aby bylo možné pohodlně číst výsledky měřidla (bez kmitání), je použit kondenzátor C<sub>9</sub>, který krátce udrží konstantní výstupní napětí IO<sub>1</sub>. Protože se jedná o malé napětí, kondenzátor musí být velmi jakostní.

Signál je zesílen IO<sub>2</sub>, zesílení lze nastavit potenciometrem P<sub>1</sub>.

Přístroj má vlastně jen jeden nastavovací prvek, a to P<sub>2</sub>, který nastavíme tak, aby ručka měřidla (s nulou uprostřed) nebyla na dorazu ani vlevo, ani vpravo. Přitom zesílení IO<sub>2</sub> nastavíme na maximum a P<sub>3</sub> na doraz vlevo nebo vpravo.

Použití přístroje je věcí zkušenosti. Můžeme jej vestavět do libovolné krabičky, z níž pak bude vycházet „anténa“.

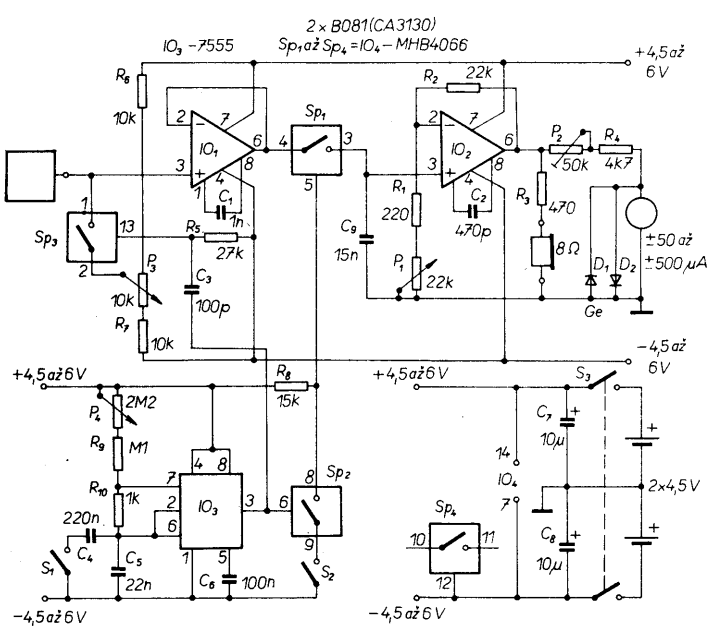
Hledáme-li vedení ve zdi, kmitočet oscilátoru má být vysoký; P<sub>4</sub> nastavíme na minimální odpor a S<sub>1</sub> bude otevřen. Anténu pohybujeme podél stěny, v místě, kde je vedení, bude ve sluchátku silný šum. Poloha S<sub>2</sub> při tom není důležitá. Při použití přístroje uvnitř místnosti je třeba nastavit malou citlivost, aby nejrůznější pole neovlivňovala měření. Ve volném prostoru (nebudeme se pohybovat pod vedením vn) by přístroj měl být nastaven na maximální citlivost: S<sub>1</sub> a S<sub>2</sub> sepnuty a P<sub>4</sub> maximální odpor. Při vyhledávání spodní vody přecházíme opakováne zvoleným územím, podélne i kolmo, je-li pod námi vodní pramen, přístroj by měl ukázat výsledky a víme, že voda teče v úhlu 90° na anténu. Radioaktivní záření by měl přístroj také indikovat, vyzkoušme to pomocí starého ciferníku (s „fosforem“) svítících hodin nebo válečných leteckých přístrojů.

Zařízení pro poněkud odlišné použití, ale na podobných principech bylo popsáno v AR B2/1987.

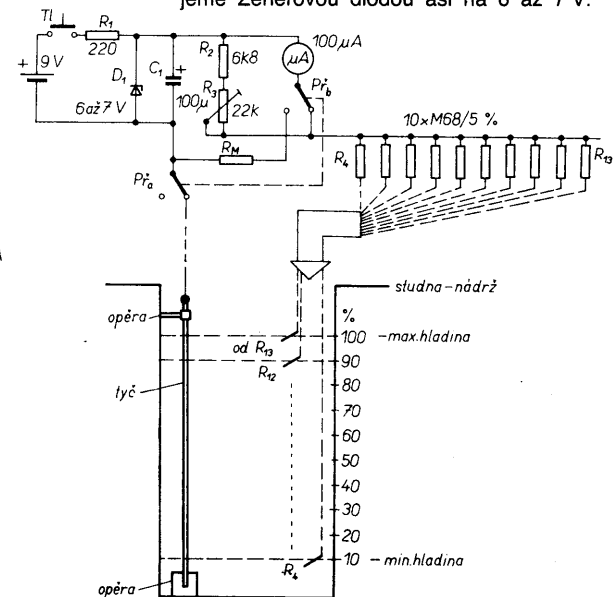
### Určení zásoby vody

Někdy potřebujeme určit, jaká je zásoba vody ve studni, v rezervoáru, v nádrži. Jednoduchým zařízením bez aktivních elektronických součástek můžeme mít o tomto údaji stálou informaci na prakticky neomezenou vzdálenost, na pozorovacím stanovišti budeme potřebovat jen panelové měřidlo se stupnicí s 10 nebo 100 dílkami, které ukáže stav vody po deseti procentech obsahu. Měření není kontinuální, měřidlo ukáže stav jen při stisknutí tlačítka a tak nevybije baterii.

Zapojení je na obr. 91. Napájecí napětí 9 V – nejlépe dvě ploché baterie – stabilizujeme Zenerovou diodou asi na 6 až 7 V.



Obr. 90. Elektronický proutek



Obr. 91. Dálkové měření výšky vodního sloupce

Měřicí napětí s indikačním měřidlem a odporovými členy jsou v modifikovaném můstkovém zapojení tak, že vodní sloupec při změně o 10 % spojí příslušný kontakt, čímž se zvětší nebo změní o 10 % proud tekoucí měřidlem.

Záporný pól baterie je připojen na tyč z vodivého materiálu (který nerezaví a nekoroduje), tyč dosahuje až na dno. Je-li nádrž kovová, může tyč nahradit její stěnu. Vývody deseti rezistorů stejných odporn (680 k $\Omega$ ) jsou upraveny ve svazek tak, aby se konec každého dotýkal vody v určité výši. Nemusí to být samořejmě vývod rezistoru, ale jeho prodloužení nekorodujícím drátem. Tyto vývody jsou rozmištěny tak, že vývod  $R_4$  je v hloubce, odpovídající minimu hladiny a vývod  $R_{13}$  ve výšce maxima hladiny. Je-li kupř. vodní hladina poloviční, pak  $R_4$  až  $R_8$  se spojí paralelně a měřidlem protéká proud 50  $\mu$ A a měřidlo ukáže, že v nádrži je 50 % vody.

Vývody  $R_4$  až  $R_{13}$  je nejlépe spojit ve svazek z dobře izolovaného drátu, který spojme silikonovým tmelem, aby se voda vzněláním nedostala do svazku. Přístroj ocechujeme tak, že rukou měřidla při maximálním stavu vody (můžeme imitovat spojením vývodu 13 s tyčí) nastavíme trimrem  $R_3$  na pinou výchylku – 100 %.

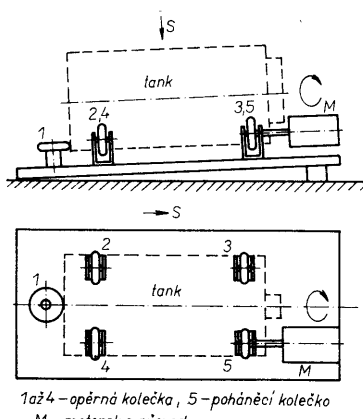
Přepínač  $P$  a rezistor  $R_M$  slouží ke kontrole napětí baterie,  $R_M$  zvolíme tak, aby měřidlo při přepnutí ukázalo napájecí napětí.

#### Pohyb tanku Plastimat

Když vyvoláváme film v uzavřeném tanku Plastimat, během vyvolávání je třeba tankem občas pohybovat, otáčet, aby se film vyvolával stejnomořně. Pohyb o otáčení může za nás obstarat jednoduché a levné zařízení, které si můžeme zhodnotit sami.

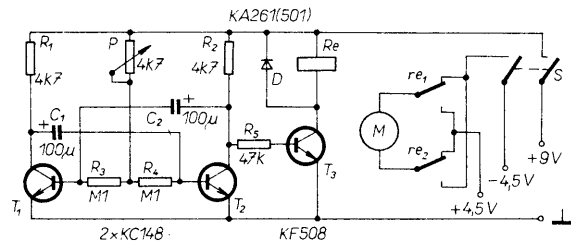
Do tanku založíme film, nalijeme potřebné množství vývojky a pak tank položíme do mírně nakloněné polohy na podstavec, kterým je základní deska se čtyřmi kolečky. Páté kolečko je poháněno motorkem. Vyvolávací tank leží tedy mírně nakloněn na čtyřech kolečkách, páté ho otáčí (dotýká se ze zadu, aby tank zůstal stále ve stejné poloze). Jednoduchá elektronika pravidelně mění směr otáčení motorku, tank se tedy otáčí chvíli doleva, chvíli doprava, a proto vývojka v tanku smáčí film rovnomořně.

Na základní desku podle velikosti tanku upevníme (podle obr. 92a,b) kolečka. Můžeme použít kolečka v plechovém držáku, která se používají pod lehké nábytek, nebo kolečka s pryžovou obroučkou z dětských autiček (ta jsou nejlepší). Tank leží na mírně nakloněné desce na čtyřech kolečkách – 2 až 5, zadní, nejnižší položená strana tanku se opírá o kolečko 1. Hnacím kolečkem je 5, když se otáčí, tank se točí také a ve své poloze je udržován ostatními kolečky. Vzájemnou vzdálenost a výšku koleček určí-



Obr. 92. Vyvolávací tank s motorovým pohonem

Obr. 93. Elektrický pohon tanku



me podle velikosti použitého vyvolávacího tanku.

Poháněcí kolečko 5 je stejného provedení jako ostatní, je poháněno malým elektromotorem 4,5 V z dětských hraček. Můžeme použít i převod po pomalu, když ho nemáme, na hřídel motorku nastrčíme kousek „gumičky“ z ventilu na kola, a hřídel přitlačíme k některému z koleček. Motorek díky přilnavosti hřídele bude pomalu otáčet kolečkem a tím i vyvolávacím tankem. Za minutu se má tank otocit asi 6 až 8krát.

Abychom dosáhli oboustranného pohybu tanku, přepínáme polaritu napájecího napětí motorku. K tomuto účelu použijeme pomalu-bežící multivibrátor podle obr. 93, jeho kmitočet trimrem P upravíme tak, aby relé spínalo a rozpinalo asi v 6 až 10sekundových intervalech. Dva přepínače kontakty relé přitom mění polaritu napájecího napětí motoru, který se bude točit jednou zleva do prava,

potom obráceně. Pro napájení multivibrátoru použijeme např. 9 V – dvě ploché baterie, pro pohon motoru napájecí napětí podle potřeby. Multivibrátor a baterie můžeme umístit pod základní desku.

#### Elektronická ladička

Naše elektronická ladička se nebude podobat japonské, protože „neslyší“ a nesrovává přijímaný kmitočet s ideálním, umí jen vydávat zvuky, pro srovnávání. „Umi“ celých osm oktáv od subkontra až ke „čtyřčárkovému“ „h“ – i když subkontra je iluzorní, protože žádný dosažitelný reproduktor takový kmitočet nepřenesete. Tedy: od kmitočtu 16,35 Hz do 3951 Hz bez nastavení si můžeme zvolit libovolný tón v osmi oktávách po dvanácti tónech podle tabulky absolutních výšek v temperovaném ladění. Získáme tak zdroj normálových kmitočtů.

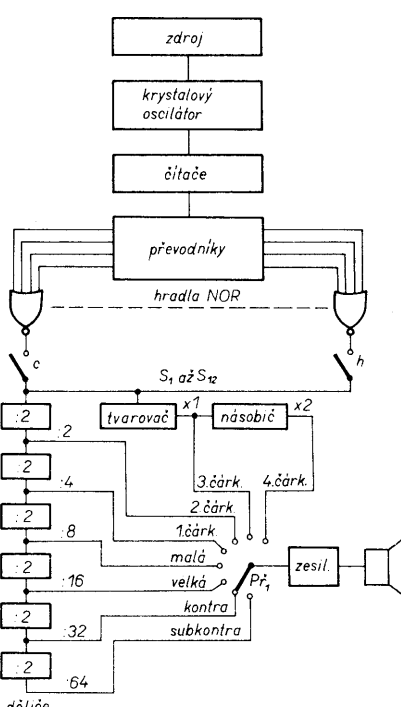
Tabulka udává tóny s přesností setin Hz. Nás přístroj má maximální odchylku od ideálního kmitočtu v mezech  $\pm 0,0038 \pm 0,01\%$  v závislosti na použitém krystalu.

Popis používání ladičky v hudební praxi není úkolem tohoto článku, zaměříme se jen na funkci a konstrukci přístroje. Celé zapojení je složeno z běžných obvodů TTL, které by měly být v každé prodejně.

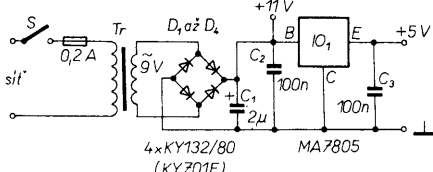
Na obr. 94 je blokové schéma ladičky.

V oscilátoru – a to je jednou z výhod ladičky – můžeme použít libovolný krystal s kmitočtem asi od 3 do 6 MHz (za cenu zvětšení počtu integrovaných obvodů lze použít i krystal s nižším nebo vyšším kmitoč-

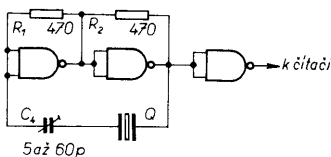
Tón	Oktáva	f Hz	Tón	Oktáva	f Hz
C <sub>2</sub>	subkontra	16,35	c <sup>1</sup>	1-čárkovávaná	261,63
Cis <sub>2</sub> -Des <sub>2</sub>	tra	17,32	cis <sup>1</sup> -des <sup>1</sup>	277,14	
D <sub>2</sub>		18,35	d <sup>1</sup>	293,67	
Dis <sub>2</sub> -Es <sub>2</sub>		19,44	dis <sup>1</sup> -es <sup>1</sup>	311,13	
E <sub>2</sub>		20,60	e <sup>1</sup>	329,63	
Eis <sub>2</sub> -F <sub>2</sub>		21,83	eis <sup>1</sup> -f <sup>1</sup>	349,25	
Fis <sub>2</sub> -Gis <sub>2</sub>		23,13	fis <sup>1</sup> -ges <sup>1</sup>	370,00	
G <sub>2</sub>		24,50	g <sup>1</sup>	392,00	
Gis <sub>2</sub> -As <sub>2</sub>		25,96	gis <sup>1</sup> -as <sup>1</sup>	415,31	
A <sub>2</sub>		27,50	a <sup>1</sup>	440,00	
Ais <sub>2</sub> -Hes <sub>2</sub>		29,13	ais <sup>1</sup> -hes <sup>1</sup>	466,16	
H <sub>2</sub>		30,87	h <sup>1</sup>	493,87	
C <sub>1</sub>	kontra	32,70	c <sup>2</sup>	2-čárkovávaná	523,25
Cis <sub>1</sub> -Des <sub>1</sub>		34,64	cis <sup>2</sup> -des <sup>2</sup>	554,37	
D <sub>1</sub>		36,70	d <sup>2</sup>	587,94	
Dis <sub>1</sub> -Es <sub>1</sub>		38,89	dis <sup>2</sup> -es <sup>2</sup>	622,25	
E <sub>1</sub>		41,20	e <sup>2</sup>	659,25	
Eis <sub>1</sub> -F <sub>1</sub>		43,65	eis <sup>2</sup> -f <sup>2</sup>	698,50	
Fis <sub>1</sub> -Ges <sub>1</sub>		46,25	fis <sup>2</sup> -ges <sup>2</sup>	740,00	
G <sub>1</sub>		49,00	g <sup>2</sup>	784,00	
Gis <sub>1</sub> -As <sub>1</sub>		51,91	gis <sup>2</sup> -as <sup>2</sup>	830,63	
A <sub>1</sub>		55,00	a <sup>2</sup>	880,00	
Ais <sub>1</sub> -Hes <sub>1</sub>		58,26	ais <sup>2</sup> -hes <sup>2</sup>	932,31	
H <sub>1</sub>		61,73	h <sup>2</sup>	987,75	
C	velká	65,41	c <sup>3</sup>	3-čárkovávaná	1046,50
Cis-Des		69,28	cis <sup>3</sup> -des <sup>3</sup>	1108,75	
D		73,41	d <sup>3</sup>	1174,67	
Dis-Es		77,78	dis <sup>3</sup> -es <sup>3</sup>	1244,50	
E		82,41	e <sup>3</sup>	1318,50	
Eis-F		87,31	eis <sup>3</sup> -f <sup>3</sup>	1397,00	
Fis-Ges		95,50	fis <sup>3</sup> -ges <sup>3</sup>	1480,00	
G		98,00	g <sup>3</sup>	1568,00	
Gis-As		103,83	gis <sup>3</sup> -as <sup>3</sup>	1661,25	
A		110,00	a <sup>3</sup>	1760,00	
Ais-Hes		116,54	ais <sup>3</sup> -hes <sup>3</sup>	1864,63	
H		123,46	h <sup>3</sup>	1975,50	
c	malá	130,82	c <sup>4</sup>	4-čárkovávaná	2093,00
cis-des		138,57	cis <sup>4</sup> -des <sup>4</sup>	2217,50	
d		146,83	d <sup>4</sup>	2349,35	
dis-es		155,56	dis <sup>4</sup> -es <sup>4</sup>	2489,00	
e		164,81	e <sup>4</sup>	2637,00	
eis-f		174,63	eis <sup>4</sup> -f <sup>4</sup>	2794,00	
fis-ges		185,00	fis <sup>4</sup> -ges <sup>4</sup>	2960,00	
g		196,00	g <sup>4</sup>	3136,00	
gis-as		207,65	gis <sup>4</sup> -ges <sup>4</sup>	3322,50	
a		220,00	a <sup>4</sup>	3520,00	
ais-hes		233,08	ais <sup>4</sup> -hes <sup>4</sup>	3729,25	
h		246,93	h <sup>4</sup>	3951,00	
			c <sup>5</sup>	5-čárkovávaná	4186,00



Obr. 94. Blokové schéma elektronické ladičky



Obr. 95. Zdroj pro ladičku  
IO<sub>2</sub> - 2/3 7400



Obr. 96. Krystalový oscilátor pro ladičku

tem). Signál z krystalového oscilátoru přivádíme na skupinu čítačů (v kódu BCD). Jejich výstupy napájejí skupinu převodníků z kódu BCD na kód jedna z deseti. Na jejich výstupech budou k dispozici čísla 0 až 9. Pomocí hradel NOR naprogramujeme dělení podle kmitočtu použitého krystalu. Signál žádaného kmitočtu pak bude na výstupu příslušného hradla, lze jej dále tvarovat, dělit, připadně nasobit podle potřeby. Na vstup zesilovače už přivádime signál pevného kmitočtu podle tabulky a z reproduktoru uslyšíme zvolený tón.

A nyní k jednotlivým funkčním celkům:

Zdroj podle obr. 95 je obvyklého provedení, používáme monolitický stabilizátor MA7805. Celkový odběr proudu bude asi 500 mA, proto stabilizátor montujeme na chladič. Kondenzátory C<sub>2</sub> a C<sub>3</sub> jsou keramické (zamezí případnému kmitání). Z výstupu stabilizátora odebráme 5 V pro napájení logiky a přímo z kondenzátoru C<sub>1</sub> nestabilizované napětí asi 11 V, které se při zatížení zmenší asi na 8 V, tímto napětím se napájí koncový zesilovač. Transformátor postačí pro příkon asi 10 až 15 VA.

Oscilátor na obr. 96 je obvyklého provedení s hradly NAND, o použití krystalu se zmíníme v dalším popisu.

Na obr. 97 je zapojení čítače s převodníky a programování s hradly NOR. Signál oscilátoru přivádime na čítače IO<sub>3</sub> až IO<sub>6</sub>, které jsou stejně zapojeny (dělí deseti). Na výstupech čítačů jsou připojeny vstupy převodní-

ků IO<sub>7</sub> až IO<sub>10</sub>. Jejich výstupy jsou podle pravidlostní tabulky obvodu 7442 na log. úrovni 0 nebo 1, ale v číslicové formě od 0 do 9. Na tyto výstupy pak připojíme vstupy hradla dvanácti IO – upravených na čtyřvstupová hradla NOR (které na trhu nejsou), podle číselného výsledku dělení kmitočtu oscilátoru s kmitočtem jednotlivých tónů.

Kmitočet krystalu – jak jsme již řekli – se může pohybovat ve velmi širokých mezech. V bazarech i po šuplikách se najdou všeobecné krystaly, z nichž se určitě některý bude hodit. Ve vzorku byl použit krystal 3,580 MHz, z něhož lze odvodit s velkou přesností signály kmitočtu podle tabulky (kromě „c<sup>5</sup>“, který nepoužijeme).

Dělicí poměr dostaneme tak, že kmitočet krystalu dělíme kmitočtem příslušného tónu:  $d = \frac{Q}{f}$ , kde d je dělicí poměr, Q je kmitočet krystalu a f žádaný kmitočet.

Příklad:

Tón	c <sup>3</sup>	cis <sup>3</sup>	atd.
kmitočet f Hz	1046,5	1108,75	viz tab.
dělicí poměr d	3421	3229	atd.
odchylka Hz	0,04	0,05	atd.

Kmitočet krystalu Q = 3,580 000 Hz.

Na výstupu IO<sub>11</sub> bude tedy kmitočet „c<sup>3</sup>“, na IO<sub>12</sub> bude „cis<sup>3</sup>“, atd. Jednotlivé výstupy hradel NOR spojíme s odpovídajícími výstupy převodníků IO<sub>7</sub> až IO<sub>10</sub>. Tedy čtyři výstupy hradla NOR budou zapojeny při dělicím poměru 3421 takto: první vstup na výstup 3 IO<sub>7</sub>, druhý vstup na výstup 4 IO<sub>8</sub>, třetí na výstup 2 IO<sub>9</sub> a čtvrtý na výstup 1 IO<sub>10</sub>. Na výstupu hradla NOR IO<sub>11</sub> bude kmitočet 1046,47 Hz. Vidíme, že odchylka je tak nepatrnná, že ji klidně můžeme nebrat v úvahu. Takto bude třeba – pracně – propojit všechny dvanáct hradel NOR (nahrazeny obvodem 7453) podle potřebného dělicího poměru (je závislý na kmitočtu použitého krystalu). Protože ani na oboustranné desce s plošnými spoji takové propojení nemůžeme realizovat, musíme tyto spoje realizovat jednotlivě tenkým izolovaným drámem nebo kablíkem (celkem 12 × 4 = 48 spojů). Předem zjistíme, na které vývody IO<sub>7</sub> až IO<sub>10</sub> kolik drážek povedeme a na příslušných výstupech – bude-li třeba – zapojíme pájecí sloupky.

Na výstupy IO<sub>11</sub> až IO<sub>22</sub> jsou připojeny spínače – buď s Isostaty nebo dvanáctipolohový otočný přepínač – tak, že vždy je sepnut jen jeden z nich, a každá poloha znamená tedy jeden tón v oktávě. Budou-li na všech čtyřech vstupech hradla NOR log. 0 – tedy naprogramované číslo – na výstupu se objeví log. 1, tím se čítače IO<sub>3</sub> až IO<sub>6</sub> vynulují a čítání se stále opakuje, a zároveň bude k dispozici zvolený tón tříčárkové oktávy.

Na běžném osciloskopu s mezním kmitočtem 5 až 10 MHz impulsy sledovat nelze, protože jsou velmi krátké: kmitočet výstupního signálu lze indikovat pouze dobrým čítacem. Proto signál musíme dál upravovat podle obr. 98.

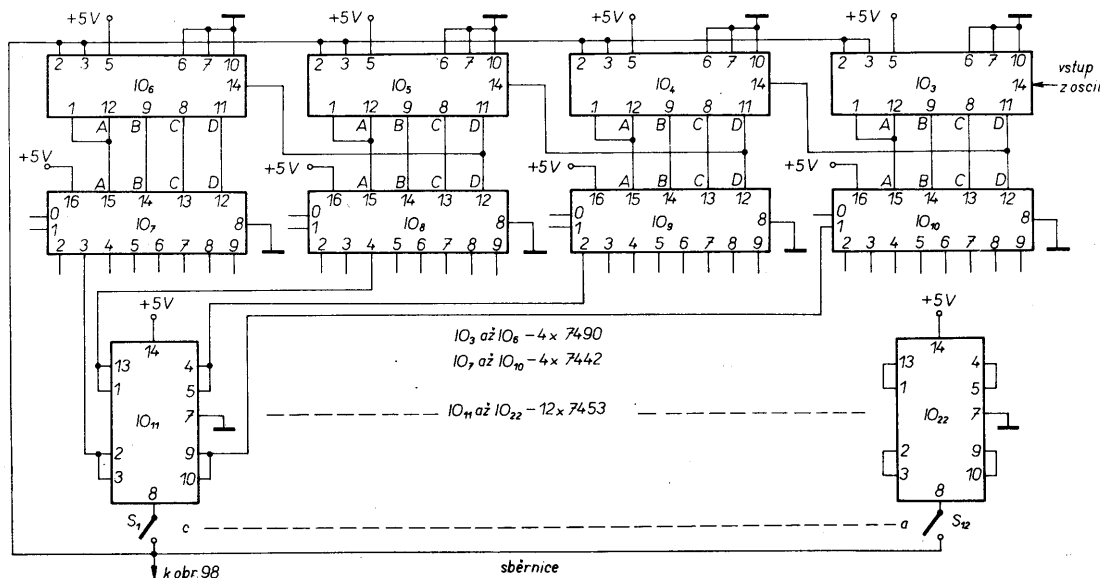
Použijeme-li krystal vyššího kmitočtu, pak jeho kmitočet dělíme na kmitočty čtyřčárkové oktávy, odpadne tedy násobič dvěma (IO<sub>27</sub>) a podle toho upravíme i přepínač oktáv podle obr. 94. Musíme však v každém případě ponechat IO<sub>26</sub>, monostabilní multivibrátor, který úzké impulsy na výstupu zpracuje na impulsy s konstantní šírkou. Stejnou funkcí v řadě děličů zastává i první polovina IO<sub>23</sub>, který formuje výstupní impuls před vydělením. Řada děličů vytvoří tóny všech osmi oktáv, které přepínáme podle potřeby (obr. 94) přepínačem P<sub>1</sub> (Isostat nebo osmipolohový otočný přepínač). Nepoužijeme-li násobič kmitočtu, musíme použít ještě jednu polovinu obvodu 7474, protože potřebujeme dělit 128krát pro oktavu „subkontra“.

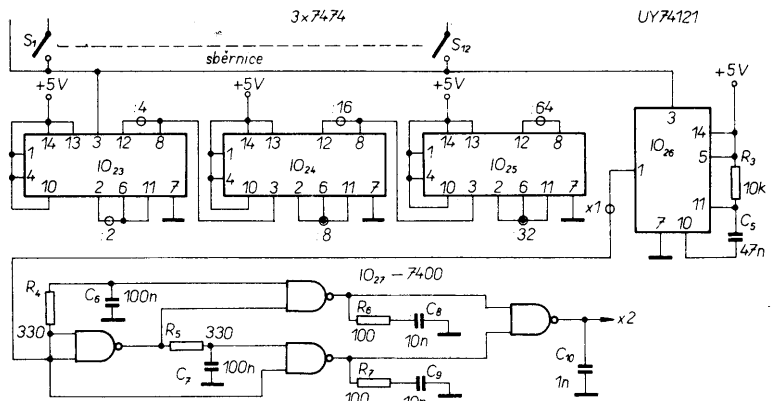
I když výstupní signál ladičky na výstupech je v logické úrovni, bude třeba použít koncový zesilovač. Nejvhodnější je použít monolitický zesilovač podle obr. 99 (obvod MBA810 libovolného typu, příp. MDA2010 nebo 2020). Ve vzorku byl použit MBA-810DAS, který je napájen napětím 8 V, tedy zdaleka není plně zatížen a ani nepotřebuje chladič.

Byly vyzkoušeny různé reproduktory: hluboko i středotónové, domácí i cizí, ale tóny „subkontra“ nepřenaší žádný, tóny „kontra“ lze při „dobré vůli“ jakž takž rozearaznat.

Celá ladička je na třech deskách s plošnými spoji. Na jedné je zdroj, který neuvedl, protože rozměr desky bude záviset na použitém transformátoru a tvaru chladiče pro IO<sub>1</sub>.

Na druhé desce je celé zařízení kromě koncového zesilovače. Velikost desky je 190 × 115 mm (obr. 100). Desku s plošnými spoji pro koncový zesilovač také neuvedl, lze použít již publikované zapojení.





Obr. 98. Děliče a násobiče ladičky

Celá ladička kromě reproduktoru byla umístěna v dřevěné krabici  $200 \times 200 \times 80$  mm. Reproduktor se připojuje konektorem. Volba tónů a oktáv je řešeno Isostaty. Neoznačené kondenzátory na desce s plošnými spoji jsou keramické 68 až 100 nF.

#### Seznam součástek

Obr. 95.	MA7805
D <sub>1</sub> až D <sub>4</sub>	KY123/80
C <sub>1</sub>	TE 674, 2000 $\mu$ F
C <sub>2</sub> , C <sub>3</sub>	100 nF – keram.
Tr	viz text
Obr. 96.	
IO <sub>2</sub>	7400
R <sub>1</sub> , R <sub>2</sub>	TR 211, TR 191, 470 $\Omega$
C <sub>4</sub>	WN70419, doladovací kond. (příp. starší typ)
krystal	5 až 60 pF viz text

Obr. 97.

IO <sub>3</sub> až IO <sub>6</sub>	4 × 7490
IO <sub>7</sub> až IO <sub>10</sub>	4 × 7442
IO <sub>11</sub> až IO <sub>22</sub>	12 × 7453

Obr. 98.

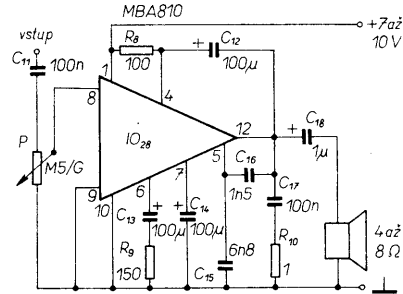
R <sub>2</sub>	10 k $\Omega$
R <sub>4</sub> , R <sub>5</sub>	330 $\Omega$
R <sub>6</sub> , R <sub>7</sub>	100 $\Omega$

(všechny TR 211 nebo TR 191)

C <sub>5</sub>	47 nF
C <sub>6</sub> , C <sub>7</sub>	100 nF
C <sub>8</sub> , C <sub>9</sub>	10 nF
C <sub>10</sub>	1 nF
IO <sub>23</sub> až IO <sub>25</sub>	3 × 7474
IO <sub>26</sub>	UY74121
IO <sub>27</sub>	7400

Obr. 99.

R <sub>8</sub>	100 $\Omega$
R <sub>9</sub>	150 $\Omega$ (TR 211, TR 191)
R <sub>10</sub>	1 $\Omega$ (TR 211)
C <sub>11</sub> , C <sub>14</sub> , C <sub>17</sub>	100 nF, keram.



Obr. 99. Koncový zesilovač ladičky

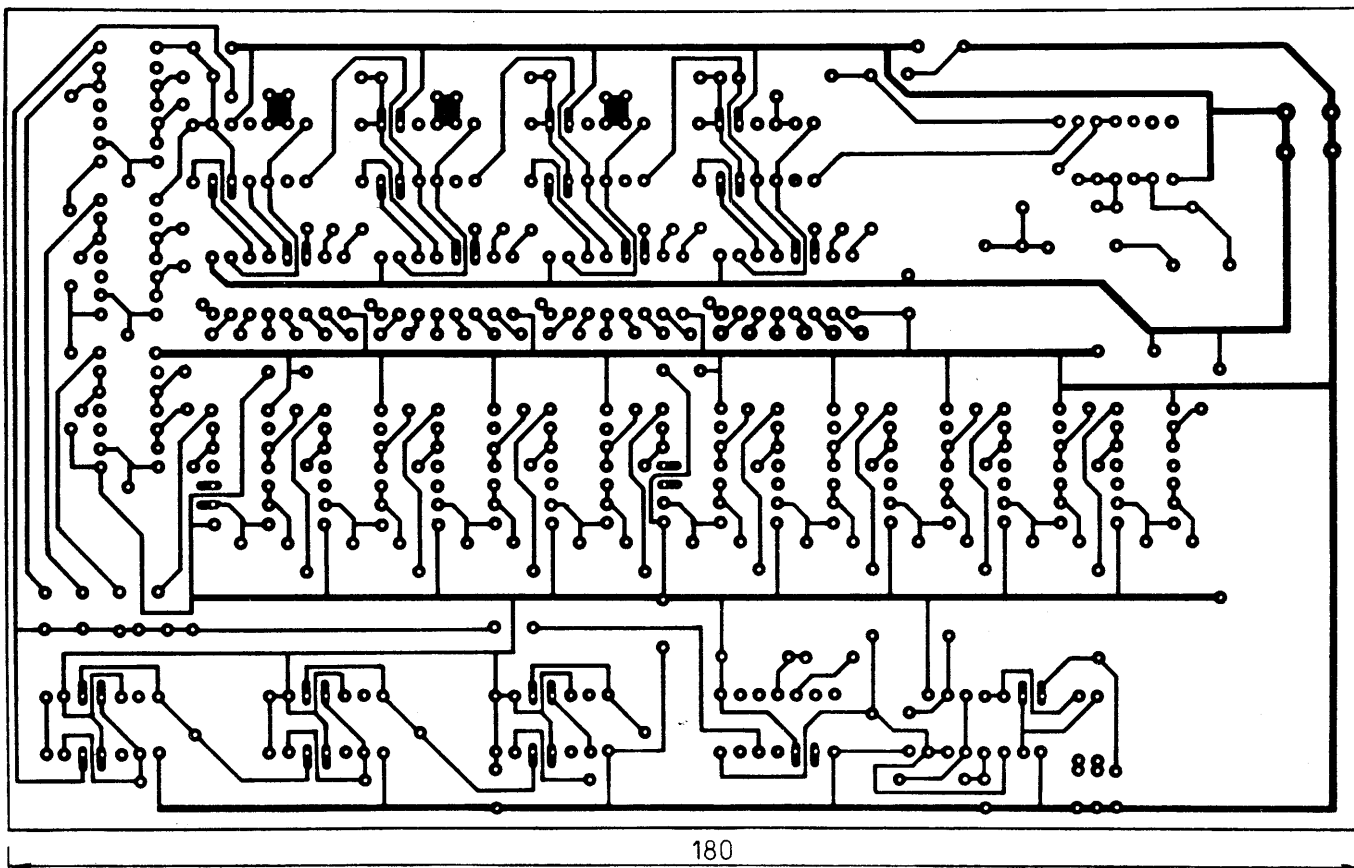
C <sub>15</sub>	6,8 nF
C <sub>16</sub>	1,5 nF
C <sub>12</sub> , C <sub>13</sub> , C <sub>14</sub>	TE 981, 100 $\mu$ F
C <sub>18</sub>	TE 982, 1000 $\mu$ F
P	TP 160, 500 k $\Omega$ /G
IO <sub>28</sub>	MBA810

Obr. 100.

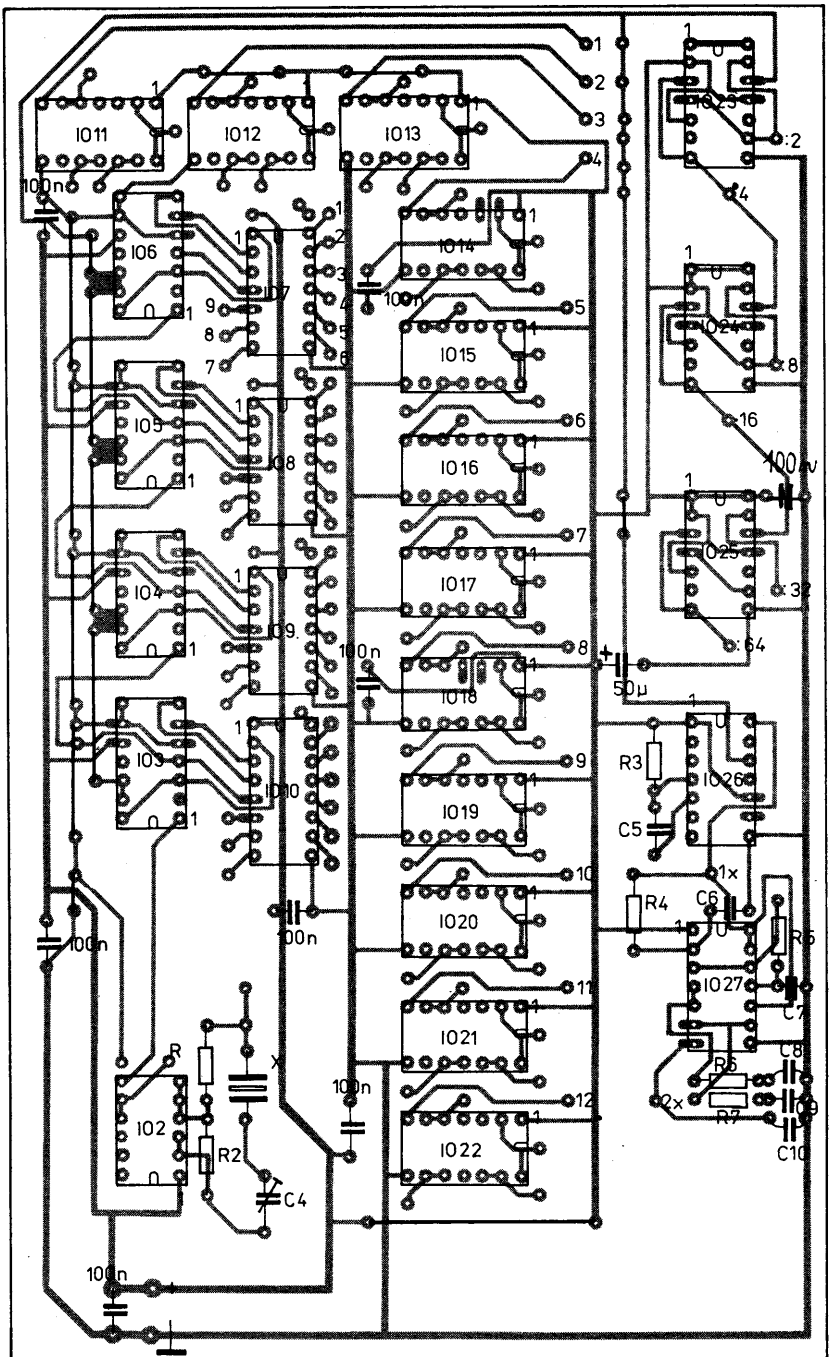
Neoznačené kondenzátory 68 až 100 nF, keram.

## Indukční snímače přibližování

V průmyslové automatizaci mají velmi důležité místo koncové spínače. Vyhodnocují polohu pohybujících se součástí strojů a jejich spolehlivost je mimořádně důležitá, protože porouchaný kontakt může nejen zničit celý drahý stroj, ale ohrozit i život obsluhy. Až do nedávna byly koncové spínače mechanické (většinou mikrospínače různé konstrukce), dosud často poruchové a málo spolehlivé. Dalším problémem u mechanických koncových spínačů je prostředí, ve kterém



Obr. 100. Deska s plošnými spoji pro ladičku



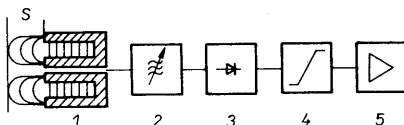
kompenzovány, lze dosáhnout při axiálním priblížení předmětu přesnosti 0,01 mm, při radiálním priblížení 0,05 mm. Evropské požadavky tohoto druhu obsahují normy DIN EN 50010 a DIN EN 50040, které stanoví velmi podrobně parametry indukčních detektorů priblížení, kupř. aktivní plochy, skutečnou spínací vzdálenost, hysterezi, napětí, teplotní stálost atd. Normy stanoví i druhy materiálů, na které má být čidlo nejcitlivější, a stanoví i koeficienty různých materiálů, u kterých se mění ztráta výřivými proudy a proto je třeba vzdálenost korigovat:

silitiny chromnicklové	0,9,
silitiny bronzu	0,5,
hliník, měď	0,4.

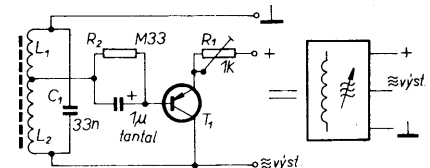
Průmyslové výrobky většinou používají třibodové zapojení oscilátoru, které má při střední stabilitě minimální teplotní závislost a minimální počet součástek. Toto hledisko je důležité, protože pro obvod je mnohem velmi málo místa. Není zanedbatelná ani malá spotřeba oscilátoru. Výpočet závislosti amplitud na materiálu feritu je velmi složitý, a je i tak jen priblížný, proto je účelnější k danému jádru počít závitů a kapacitu stanovit pokusně. Na obr. 102 je vyzkoušené základní zapojení, které se v praxi ukázalo jako optimální.

Změny výstupního napětí v závislosti na priblížování kovové destičky ukazuje graf na obr. 103. Výsledky byly získány měřením při napájecím napětí 6 V. Vidíme, že do vzdálenosti asi 10 až 12 mm není změna výstupního napětí pozatelná. Dalším zkracováním vzdálenosti se napětí nejprve pomalu a potom velmi rychle zmenšuje, při dosažení vzdálenosti asi 3 mm oscilátor přestane pracovat vůbec. V praxi je možné dosáhnout vzdálenost asi 10 mm s dobrou opakovatelností.

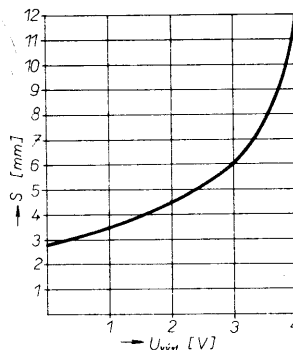
Velmi záleží na materiálu feritu. Nejlepší výsledky dávají materiály s největší permeabilitou (M2000, N22). Zvětšováním rozměrů hrnčíku roste i použitelná vzdálenost. Na obr. 102 (ke kterému se vztahuje graf na obr. 103) byl použit hrnčík o  $\varnothing$  22 mm z materiálu.



Obr. 101. Konstrukce detektoru priblížení



Obr. 102. Zapojení oscilátoru pro detektor priblížení



Obr. 103. Závislost výstupního napětí při měření

pracují. I hermeticky uzavřené mikrospínače mohou v prašném, chemickým parametry proseném, nebo dokonce ve výbušném prostředí vypovědět službu a ohrozit okolí. U mechanických spínačů se projeví i opotrebování a únavu materiálu, zmenšuje se jejich přesnost, která málokdy přesáhne 0,1 mm.

Proto byly vyvinuty koncové spínače elektronické, které reagují na priblížení. V odborné literatuře se jejich názvy ustálily: proximity switch, německy Näherungsschalter. Těchto spínačů je velmi mnoho druhů, pro jejich elektrické, elektronické i mechanické parametry byly vypracovány mezinárodní normy, ale u nás tento obor poněkud zaostal. Bez větší odezvy proběhla speciální výstava švédské firmy Svenska Sensoren Elektronik (SSE) v r. 1981 (ST 8/1982), která tyto součástky vyrábí.

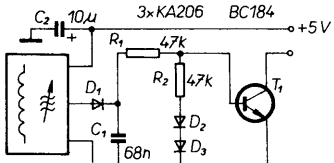
Indukční spínače priblížování jsou kompaktní senzorovými hlavami, které obsa-

huji citlivou snímací cívku a elektronicky vyhodnocovací obvod, které velmi dobře reagují na priblížení kovových, příp. i nekovových předmětů a na výstupu dávají signál buď analogový nebo logický pro koncový stupeň, který patřičně reaguje na daný pořadí. Je velmi mnoho variant uspořádání těchto prvků, nejrozšířenější konstrukce je schematicky znázorněna na obr. 101.

Na vstupu (tedy vlastním čidlem) je polovina feritového hrnčíku s cívkou 1, pracující jako součást oscilátoru 2, který je napájen stabilizovaným napětím. Kmitočet tohoto obvodu LC může být od 20 do 200 kHz. Magnetické pole cívky závisí na mnoha činitelích, je žádoucí, aby pole bylo co největší. Když se do magnetického pole cívky dostane vodič, je odsána část energie kmitavého obvodu, zmenší se jakost Q oscilátoru i amplituda sinusového signálu. Změna amplitudy na výstupu demodulátoru 3 se projeví změnou úrovni signálu a komparátor 4 tuto změnu předává spínacímu stupni 5, který se nebo rozpojí zařízení. Je-li napájecí napětí oscilátoru dostatečně stabilní a demodulátor s komparátorem jsou správně teplotně vy-

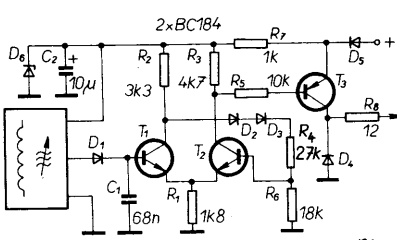
riálu N22, a cívka L<sub>1</sub> s 25, L<sub>2</sub> se 75 závitým v lankem 10 × 0,05 mm. Při použití feritu o Ø 46 mm z materiálu M2000 (15+45 závitů lankem 30 × 0,08 mm) se vzdálenost zvětšila na 35 mm. S jádrem – hrnčkem o Ø 6 mm neznámého původu (20+60 závitů drátu o Ø 0,08 mm) a s kondenzátorem 10 nF se použitelnost vzdálenost zmenšila na 3 mm. U cívky je třeba dosáhnout co největší jakosti Q a použít kvalitní kondenzátor C<sub>1</sub> s dielektrikem z plastických hmot. Typ tranzistoru je lhůstek, jen zesílení má mít alespoň sto. Trimrem nastavíme optimální pracovní bod oscilátoru. Na obr. 102 oscilátor pracoval bez změny s napájecím napětím od 2,5 do 25 V, kmitočet je kolem 50 kHz.

V následujícím ukážeme několik zapojení, které je možné aplikovat pro nejrůznější použití v amatérském nebo profesionální praxi. Pro zjednodušení výkresů všechna zapojení použijeme jako symbol pro oscilátor znak uvedený na pravé straně obr. 102. Pokud bude nějaká změna v základním zapojení, bude uvedena jmenovitě.



Obr. 104. Kapacitní senzor I

Na obr. 104 je jednoduché zapojení, nenáročné na součástky. Po oscilátoru následuje dioda D<sub>1</sub> jako demodulátor a spinaci stupeň s otevřeným kolektorem, který může ovládat další spinaci logický obvod. Na výstupu je v klidovém stavu úroveň log. 0, při přiblžení kovového předmětu se překlopí na log. 1, kterým můžeme ovládat třeba Schmittův-klopový obvod (7414). Slabou stránkou tohoto zapojení je, že napětí diody D<sub>1</sub> je teplotně nestálé a je třeba tento jev kompenzovat diodami D<sub>2</sub> a D<sub>3</sub>.



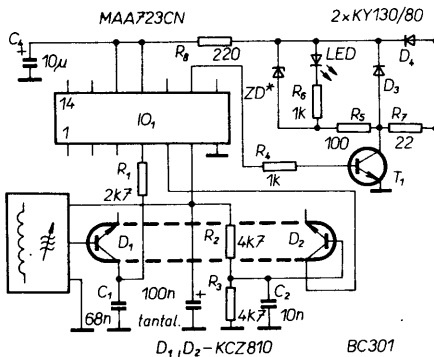
Obr. 105. Kapacitní senzor II

Na obr. 105 je zapojení, které je určeno pro provoz s relé. Napájecí napětí se může pohybovat od 12 do 24 V, výstupní proud je max. 100 mA. Signál sériového demodulátoru zpracovává Schmittův klopový obvod, diody D<sub>2</sub> a D<sub>3</sub> ve zpětné vazbě slouží k teplotní kompenzaci. Spinaci část tvoří tranzistor T<sub>3</sub> s otevřeným kolektorem. Zenerova dioda D<sub>6</sub> – typ určíme podle napájecího napětí – stabilizuje napájecí napětí oscilátoru. Výstup je krátkou dobou odolný i proti zkratu (díky R<sub>8</sub>). Dioda D<sub>5</sub> chrání obvod před přeplováním napájecího napětí, D<sub>4</sub> při použití relé chrání tranzistor T<sub>3</sub>.

Na výstupu můžeme použít – po příslušné úpravě – systémy DTL, TTL nebo CMOS.

Spinaci úroveň je log. 1, vyměníme-li tranzistor T<sub>3</sub> na typ n-p-n, pak v klidovém stavu bude výstup na úrovni log. 1.

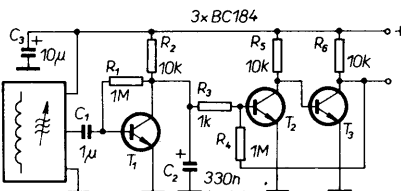
Na obr. 106 je indukční spínač témař profesionální úrovně. Známý stabilizátor napěti MAA723CN (v pouzdře DIL – protože je použita vnitřní Zenerova dioda, která v typu v kovovém pouzdře není) zde používáme jako přesný komparátor. Referenční napětí



Obr. 106. Kapacitní senzor III

na vývodu 6 (7 V) napájí oscilátor a dělič R<sub>2</sub>, R<sub>3</sub>. Výstupní signál demodulátoru přivedeme na invertující vstup komparátoru, napětí z děliče přes diodu teplotní kompenzace na neinvertující vstup. Jako demodulátor a kompenzační diodu použijeme dvojitý tranzistor, tranzistory zapojíme jako diody. Dokud je napětí na invertujícím vstupu větší než napětí na neinvertujícím vstupu, výstupní tranzistor T<sub>1</sub> je uzavřen. Jak se zmenšíje napětí demodulátoru na úrovni referenčního napětí, komparátor se překlopí a T<sub>1</sub> se otevře. Přeměníme-li na IO<sub>1</sub> vývody 4 a 5, funkce bude obrácená, v klidovém stavu T<sub>1</sub> povede, po aktivizaci bude uzavřen. Pomocí R<sub>5</sub>, R<sub>6</sub>, ZD a LED lze vizuálně kontrolovat stav senzoru. Stabilizátor v pouzdře DIL můžeme nahradit i obvyklým stabilizátorem v kovovém pouzdře tak, že Zenerovu diodu 7 V přidáme externě.

Napájecí napětí se může pohybovat od 10 do 35 V.



Obr. 107. Kapacitní senzor IV

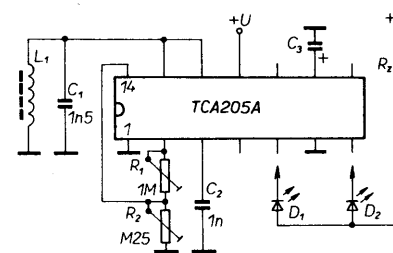
Zapojení na obr. 107 má zvlášť malou spotřebu a pracuje již od napětí 0,8 V do 6 V. Jeho spotřeba při napájecím napětí 1 V je jen 0,4 mA. V zapojení oscilátoru (obr. 102) je místo bázového odporu 330 kΩ použit rezistor s odporem 47 kΩ. Signál je demodulován tranzistorem T<sub>1</sub>. Kondenzátor C<sub>2</sub> má důležitou funkci: bez tohoto kondenzátoru by se objevily na kolektoru T<sub>1</sub> záporné impulsy. Kondenzátor napětí vyhlašuje, C<sub>2</sub> je nabijen na několik desetin V klidového napětí, které je menší než otevřací napětí tranzistoru T<sub>2</sub>, který takto zůstává uzavřen, T<sub>3</sub> je přes R<sub>5</sub> otevřen a výstup bude na zemním potenciálu.

Po přiblžení kovového předmětu do elektromagnetického pole oscilátoru se amplituda záporných impulsů na kolektoru T<sub>1</sub> zmenší. Kondenzátor C<sub>2</sub> se přes R<sub>2</sub> nabije na otevřací napětí T<sub>2</sub>, který se otevře, T<sub>3</sub> se uzavře. Zpětná vazba pomocí R<sub>4</sub> prepínání

Podobným způsobem pracuje i zapojení podle obr. 108. Signál oscilátoru přichází na první Schmittův klopový obvod H<sub>1</sub>, na jeho výstupu bude symetrické pravoúhlé napětí, které přes R<sub>2</sub> nabije asi na poloviční napájecí napětí kondenzátor C<sub>2</sub> a obvod H<sub>2</sub> se proto nemůže překlopit, jeho výstup bude na úrovni H. Zmenší-li se amplituda kmitů oscilátoru, zmenší se šířka impulsů na výstupu H<sub>1</sub>, zvětší se napětí na kondenzátoru a když dosáhne otevřacího napětí H<sub>2</sub> ten se překlopí spolu s H<sub>3</sub> a výstupy budou invertovány; H<sub>4</sub> pak aktivuje LED.

Senzor je určen především pro buzení vstupů obvodů s IO CMOS nebo TTL, napájení podle toho může být 15 nebo 5 V. Má malou spotřebu a tepelná stabilita je velmi dobrá. Pro přímé použití je zapojení možné doplnit tranzistorovým spínacím stupněm v Darlingtonově zapojení.

Dosud popsaná zapojení byla složena z diskrétních součástek – pokud jde o oscilátor. V zahraničí byly využity obvody, které jsou speciálně určeny pro tyto účely. Kupř. firma Siemens využila obvod TCA205A, který potřebuje jen minimální počet externích součástek, protože obsahuje stabilizátor napětí, komparátor, spinaci obvody i zpožďovač. Jeho zapojení je na obr. 109.

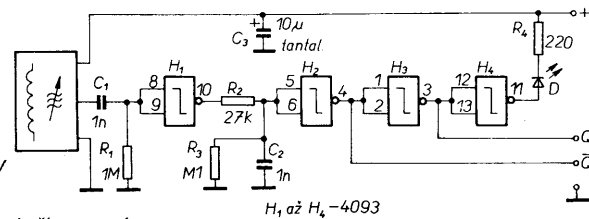


Obr. 109. Zapojení senzoru s TCA205A (L<sub>1</sub> = polovina ferit. hrnčku o Ø 25 mm, mat. N22, 70 závitů vf lankem 20 × 0,05 mm)

Napájecí napětí se může pohybovat od 4,75 do 30 V. Zpožďovačový obvod eliminuje vznik nezádoucího výstupního signálu při zapnutí (závisí na kondenzátoru C<sub>3</sub>). Doba zpoždění je 200 ms/μF. Oscilační cívka je bez odběry. Integračním kondenzátorem je C<sub>2</sub>, jeho volbou určíme kmitočet. S kondenzátorem podle schématu bude kmitočet oscilátoru asi 180 kHz. Pomocí P<sub>1</sub> regulujeme vzdálenost, P<sub>2</sub> určuje hysterese. Maximální vzdálenost předmětu je 0,6 × průměr cívky, hysterese může být minimálně 3 % této vzdálenosti. Jmenovitá vzdálenost s udanými hodnotami je 13 mm, závislost na teplotě je 0,1 %/K. Výstup na diody D<sub>1</sub> a D<sub>2</sub> je Q a Q̄. Je samozřejmé, že výstup může ovládat logiku, spinaci tranzistory nebo tyristor, popř. triak. Spotřeba obvodu v klidovém stavu je max. 5 mA, v miniaturním provedení (TCA205WI nebo VII) 1 mA. Výstup je možné zatížit max. 50 mA.

Obdobný integrovaný obvod je i na našem trhu, jde o výrobek NDR – A301D, A302D – jejich popis viz AR-B5 a 6/1980.

Kromě uvedených obvodů vyrábí např. firma Philips obvod podobného určení



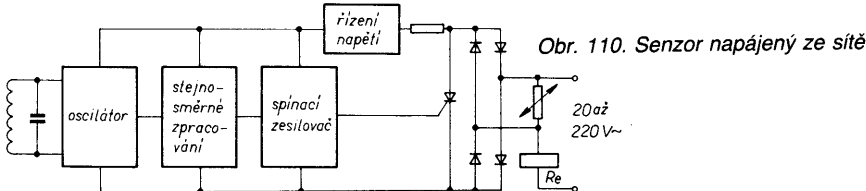
Obr. 108. Kapacitní senzor V

urychluje. Zapojení je schopno i přímo napájet indikační obvod, zapojený mezi výstup a kladné napájecí napětí.

– v hybridním provedení (OM286 a 287), ke kterému se připojí jen cívka a maximální zátěž může být až 250 mA. Hystereze je 3 až 10 %, spinaci kmitočt až 5 kHz – tím je možné i přímo sledovat rychle se točící hřídel stroje a přímo pomocí čítače rychlost otáčení vyhodnocovat nebo regulovat.

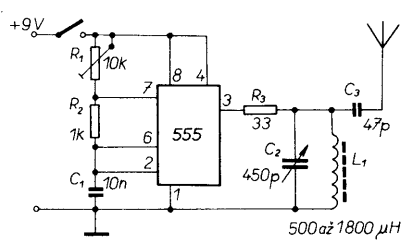
Dosud popsáne senzory potřebovaly samostatné napájecí napětí. Tento požadavek v určitých případech ztěžuje nebo i znemožňuje jejich využití, hlavně v těžkých průmyslových provozech. Proto byly vyvinuty a jsou používány senzory, které nepotřebují samostatné napájecí napětí, jsou uspořádány tak, že jejich napájení je odvozeno od sítě, ke které jsou připojeny. Senzory se zapojí přímo místo dřívějších mikrospínaců u starších zařízení.

Zapojení jednoho druhu senzoru již vzpmínané švédské firmy SSE, který pracuje se

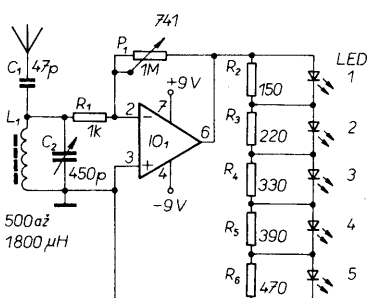


střídavým napětím 20 až 220 V, je na obr. 110. Na vstupu je obvod chráněn variistorem, který kompenzuje rušivá napětí při spinání. Síť nebo menší střídavé napětí napájí usměrňovací můstek, který je přemostěný tristorem. Samotný senzor, oscilátor, je napájen stabilizovaným napětím. Spinaci zesilovač při aktivování senzoru otevírá tyristor a napájí zátěž přímo připojeným střídavým napětím. Senzor tohoto druhu (viz fotografie na obálice) je založen na plastické hmotě, je to válec se závitem pro upevnění o Ø 30 mm a délce 80 mm, může spínat buď relé nebo jinou zátěž s odběrem trvale 0,5 A nebo impulsně 2,2 A.

Podobných senzorů je velmi mnoho typů, pracují v mnoha průmyslových oborech a aplikacích, zaručují větší bezpečnost, chrání cenná zařízení a životy obsluhy. Nemalou mírou přispívají k robotizaci a modernizaci současného průmyslu.



Obr. 111. Hledací vysílač



Obr. 112. Hledací přijímač

### Malý zdroj signálu

Zapojení podle obr. 111 a 112 můžeme použít mnohostranně, např. hledáme-li na neznámém velkém parkovišti svůj vůz nebo při různých hrách apod. Jedná se o jednoduchý vysílač-přijímač na velmi dlouhých vlnách. Dosah je malý. Vysílač – obr. 111 – umístíme v autě nebo v hledaném předmětu při hře. Obvod 555 pracuje v režimu astabilního multivibrátoru a vyrábí pravoúhlé napětí o kmitočtu 10 až 30 kHz. Výstup budí rezonanční obvod, který kmitá na vlastním kmitočtu a je modulován kmity astabilního multivibrátoru. Připojime-li k rezonančnímu obvodu přes kondenzátor C3 anténu, modulovaný signál bude vysílán. Anténa může být teleskopická, umístěna ve vodorovné poloze, protože velmi dlouhé vlny se šíří těsně nad povrchem země.

Obr. 110. Senzor napájený ze sítě

kapalina klesne pod normál. Při nedostatku chladicí kapaliny svítí červená dioda, při normálním stavu zelená, při překročení maximální hranice žlutá, svítí tedy vždy jen jedna dioda, tedy indikace je jednoznačná.

Zařízení pracuje takto: Při nedostatku kapaliny jsou obě sondy suché, tranzistor T<sub>1</sub> je otevřen proudem přes R<sub>1</sub>. Tranzistor zkratuje žlutou diodu, která tedy nemůže svítit. Stejným způsobem vede i tranzistor T<sub>3</sub> s R<sub>5</sub>, ten napájí červenou diodu, která oznamuje, že kapalina klesla pod minimální mez. Napětí LED<sub>3</sub> je přes R<sub>8</sub> a D<sub>4</sub> přivedeno do báze T<sub>2</sub>, který je otevřen, D<sub>3</sub> je uzavřena. Tranzistor T<sub>2</sub> zkratuje zelenou diodu, která tedy nemůže svítit. Je-li voda v nádrži v normálních mezech, druhé čidlo je v doteku s ní, bude svítit zelená dioda, tekutina vede mezi sondou a zemí a tím se uzavírá tranzistor T<sub>3</sub>, LED<sub>3</sub> nesvítí a nemůže napájet ani tranzistor T<sub>2</sub>, který zůstává uzavřen a paralelně připojená zelená dioda LED<sub>2</sub> svítí, protože je napájena přes R<sub>4</sub>. Je-li hladina tekutiny nad normálem, dotýká se prvního čidla, tranzistory T<sub>1</sub> a T<sub>3</sub> se uzavřou, rozsvítí se žlutý LED<sub>1</sub>, který je napájen přes R<sub>2</sub>. Přes D<sub>3</sub> se otevře T<sub>2</sub>, který zkratuje zelenou diodu, která tedy nesvítí. Kondenzátory C<sub>1</sub> a C<sub>2</sub>, nakreslené čárkováně, chrání při delším vedení k sondám báze tranzistorů od rušivých napětí. Celé zařízení může být umístěno na malé destičce rozměru 20 × 65 mm, aby se vešlo na palubní desku automobilu.

### Určení kmitočtu krystalu

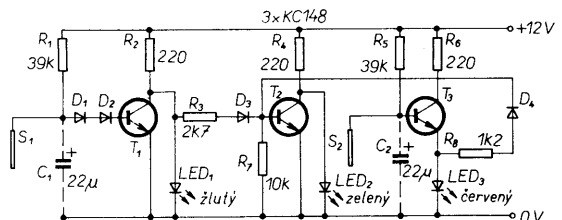
Často se stává, že se nám dostane do rukou krystal, o kterém nevíme ani na jakém kmitočtu kmitá, ani zda vůbec kmitá. Pokaždé sestavovat nějaký přípravek pro zkoušení je zdlouhavé a ani nevíme, zda bude krystal v použitém zapojení pracovat. Proto je výhodnejší udělat si zkoušečku, která bude pracovat v širokém rozsahu kmitočtů a v nich se krystal spolehlivě rozkmitá.

Zapojení na obr. 114 pracuje ve dvou pásmech. Přepínač v poloze „nízké“ rozkmitá již krystal asi od 50 kHz, v poloze „vysoké“ rádově od megahertzů.

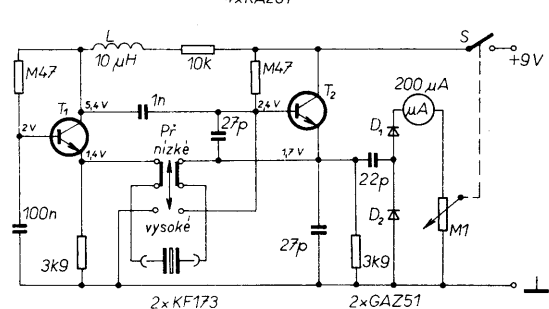
V poloze „vysoké“ tranzistor T<sub>2</sub> oscilátoru pracuje v zapojení Clappova oscilátoru a rozkmitá krystal v sériovém zapojení. Signál odebíráme z emitoru T<sub>2</sub> a germaniovými diodami zdvojujeme a měříme nějakým měřidlem, které může být vestavěné nebo externí. Výchylka ručky měřidla ukazuje, jak „ochotně“ krystal kmitá.

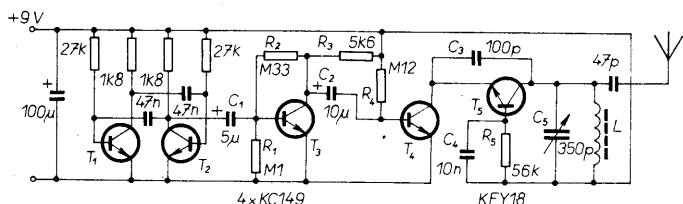
Přepneme-li přepínač do polohy „nízké“, oba tranzistory pracují a tvoří Buttlerův oscilátor, pracující také v sériové rezonanci. Indikace je stejná jako v předešlém případě. Luminika L je bez jádra.

Obr. 113. Indikace stavu vody v chladici



Obr. 114. Zkoušeč krystalů





Obr. 115. Malý vysílač

### Praktická pomůcka

Zapojení podle obr. 115 není podle všech „foršriftů“. Ale uvažte: ležíte u jezera, málo lidí, slunce hřeje . . . a je božský klid. Najdou nás metrů od vás začne vyřívat rádio – a je po klidu. Ani vaše prosba o klid není nic platné. Tak spusťte malé zařízení a sousedovi se ozývá z rádia kočičí koncert, takže ho raději vypne – znovu je klid.

Jedná se tedy o jakousi rušičku na středních vlnách s dosahem několika metrů, kterou kondenzátorem  $C_5$  naladíme na kmitočet stanice přijímané nepříjemným sousedem. Nikoho jiného nerušíte, protože přípravek má velmi malý dosah.

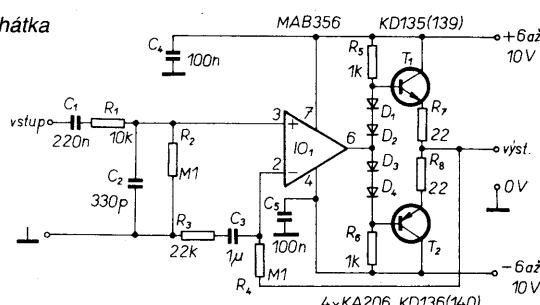
Tranzistory  $T_1$ ,  $T_2$  jsou zapojeny jako astabilní multivibrátor, který kmitá na kmitočtu asi 800 Hz – změnou kapacity kondenzátorů můžeme kmitočet měnit podle libosti. Signálem multivibrátoru modulujeme předesilovač s  $T_3$  a modulátor  $T_4$  a vf oscilátor s  $T_5$ . Předesilovač je stabilizován rezistory v bázích  $T_1$ ,  $R_1$  a  $R_2$ . Zesílení  $T_1$  a  $T_2$  by mělo být větší, proto tranzistory vybíráme. Modulátor  $T_2$  je polarizován v bázi pomocí  $R_4$ , modulační signál se přivádí přímo na emitor vf tranzistoru. Modulace je tedy amplitudová.

Kmitočet vf stupně je závislý na obvodu  $LC_5$ , činnost  $T_3$  zajišťuje  $R_5$ ,  $C_4$ . Cívka  $L$  je navinuta na feritové tyčce, postačuje délka asi 10 cm a průměr asi 10 mm, ale může být v podstatě libovolná, cívka  $L$  má mít asi 75 závitů vf lanka nebo drátu o Ø 0,2 mm. Je možné (bude to záviset na jakosti feritu), že nebude potřeba ani anténu, že potřebného efektu dosáhneme pouze natáčením přípravku. Pokud potřebujeme anténu, pak postačuje teleskopická. Přípravek vyzkoušíme ve spojení s nějakým tranzistorovým přijímačem a zjistíme, jaké pásmo můžeme pokryt otáčením kondenzátoru  $C_5$  a směrováním cívky  $L$  nebo teleskopické antény.

### Zesilovač pro sluchátko

Na obr. 116 je zesilovač pro sluchátko, který svými parametry dosahuje úrovně hi-fi. Lze jej použít pro různá zařízení, k monitorování, jako vstupní jednotku nejrůznějších přístrojů apod. Zesilovač je použitelný i v provedení stereo. K jeho přednostem patří i to, že jej lze použít i pro sluchátká s malou impedancí. Při použití sluchátka 8 Ω bude výstupní výkon asi 1 W, což pro uvedené účely bohatě postačuje. Zesilovač lze použít i k napájení reproduktoru, nepotřebujeme-li větší výkon. Jeho jakost umožňuje, aby byl použit i jako budící zesilovač pro aktívni bedny.

Obr. 116. Hifi zesilovač pro sluchátka



Nejpoužívanějšími současnými systémy detektorů jsou: a) systém BFO (Beat Frequency Oscillator – záznějový oscilátor), při kterém se směšuje signál pevného kmitočtu se signálem proměnného kmitočtu. Při změně indukčnosti hledací cívky v blízkosti kovového předmětu se mění nastavený kmitočet a produktem směšování je zázněj, jehož kmitočet odpovídá blízkosti předmětu.

b) TR-IB (Transmit Receiver – Induction Balance – přijímač vysílač – vyvážená indukčnost). U tohoto systému jsou použity dvě cívky: vysílací a přijímací. Při blízkosti kovového předmětu se změní indukční vazba mezi cívky a mění se signál oscilátoru.

c) PI (Pulse Induction – pulsní indukce). U tohoto systému slouží jako hledací signál impulzy, které se při dopadu na kovový předmět odrážejí, přitom však mění svůj tvar a intenzitu a tyto změny se vyhodnocují.

Každý uvedený (a ještě i další) způsob má své přednosti i nedostatky. Dobrý a účinný detektor není snadné postavit, je vhodné kombinovat přednosti různých systémů a to není snadná záležitost, proto jsou účinné detektory velmi drahé. Srdcem a nejdůležitějším prvkem každého hledáče je hledací cívka, proto jí vždy musíme věnovat snad největší pozornost.

Na obr. 118 je hledací kovů střední jakosti, který je poměrně jednoduchý. Pracuje systémem TR-IB, proto má dvě hledací cívky. Obsahuje jeden oscilátor a jeden detektor.

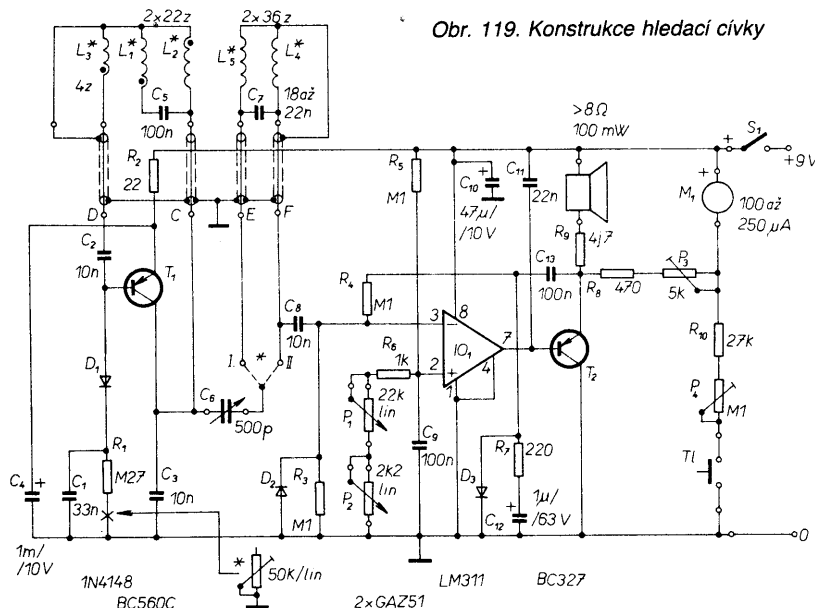
Různé kovy (popř. i jiné materiály) mají různý vliv na indukčnost cívky a samozřejmě i na indukční vazbu dvou cívek. Tento vliv může působit kladně, nebo záporně, tj. zvětšovat nebo zmenšovat indukčnost, podle toho, jaká je relativní permeabilita materiálu. Běžné materiály se dělí na

paramagnetické	diamagnetické	feromagnetické
hliník	stříbro	kobalt
křemík	měď	nikl
platina	sklo	železo
paladium	voda	ocel
vzduch		ferit

U diamagnetických materiálů je relativní permeabilita menší než 1, u paramagnetických je větší než 1 a u feromagnetických je mnohem větší než 1. Podle materiálu se také mění intenzita magnetických polí výřivými proudy – a tím i jejich vliv na hledací signály. Proto je tak obtížná volba hledacího systému a konstrukce hledáčů kovů.

A nyní ke stavbě. Na první pohled vypadá detektor na obr. 117 celkem jednoduše. Oscilátor se skládá z jednoho tranzistoru (pracuje jako relaxační oscilátor) a vytváří dva druhy kmitočtu: vyššího a nižšího kmitočtu. Vyšší kmitočet je „modulován“ nižším a tak vzniká tvar podle obr. 118, na kterém vidíme, že nábehová hrana je strmější než týlová. Zapínání a vypínání je určeno součástkami  $D_1$ ,  $C_1$ ,  $R_1$ . Během oscilací se nabije  $C_1$  přes diodu  $D_1$ . Dosáhne-li napětí určité velikosti, tranzistor  $T_1$  prestane kmitat. Kondenzátor se vybije přes  $R_1$  a po uplynutí určitého času  $T_1$  oscilace opět „nasadí“ a děj se stále opakuje. Činnost se poněkud podobá činnosti superrekordního vysílače.

Mezi kolektorem a bází  $T_1$  jsou „vysílací“ cívky  $L_1$ ,  $L_2$  a  $L_3$ . Jejich uspořádání je takové, aby se vzájemně rušily vlastní kapacity cívek, čímž je obvod stabilní. Kondenzátor  $C_5$  určuje spolu s cívkami kmitočet oscilátoru. Aby se vyloučil i vliv kapacity kabelu, je  $C_5$  umístěn přímo na hledací cívku. Cívky  $L_4$  a  $L_5$  tvoří společně vazební vinutí, které je umístěno na hledací cívce. Ladicím kondenzátorem  $C_6$  lze vykompenzovat zbytkový signál do  $L_4$  a  $L_5$  po definitivním nastavení



Obr. 119. Konstrukce hledací cívky

cívek. Signál snímaný cívками  $L_4$  a  $L_5$  postupuje přes  $C_8$  na komparátor  $IO_1$ . Tam je porovnáván se stejnosměrným napětím, které je hrubě nastaveno potenciometrem  $P_1$  a jemně  $P_2$ . Toto stejnosměrné napětí určuje citlivost detektoru. Dioda  $D_2$  zabezpečuje, aby na komparátor přicházela jen kladná část signálu, protože komparátor nemůže zpracovávat záporné napětí. Je-li vstupní napětí větší než nastavené stejnosměrné napětí na neinvertujícím vstupu, výstup komparátoru se překlopí do stavu L, tranzistor  $T_2$  se otevře a ozve se tón z reproduktoru.

Přiblížme-li hledací cívku ke kovovému předmětu, jsou slyšitelné jen špičky impulsů, jak je naznačeno na obr. 118 pěřušovanou čarou. Mění-li se nyní indukční vazba vinutí, mění se i šířka impulsů a tím i slyšitelný tón. Výstupní signál z tranzistoru  $T_2$  je dále usměrněn diodou  $D_3$ ,  $R_7$  a  $C_{12}$ , jeho záporná část je přivedena na operační zesilovač jako zpětná vazba. Tím se vytváří automatická regulace úrovně a jsou potlačeny větší změny úrovně signálu.

Na výstup je pipojen i ručkový indikátor (tlacičkem můžeme kontrolovat i napětí na pájecí baterie).

Dobrá funkce celého přístroje spočívá ve správném zhotovení hledací cívky, jejíž kon-

strukci je třeba věnovat zvláštní pozornost a pečlivě dodržet postup její výroby. Obr. 119 ukazuje tvar a konstrukci cívky. Obě části tělesa vyřizneme z organického skla nebo novoduru, tloušťka desek má být asi 10 mm, nouzí je můžeme slepit z tenčích desek. Na obvodu obou desek vyfrézujeme drážky hluboké asi 2 až 3 mm pro uložení vinutí, které bude z lakovaného drátu o  $\varnothing 0,3$  mm. Začátek  $L_1$  bude na desce 1 v bodě A a vineme 22 závitů doprava – ve směru hodinových ruček. Vinutí ukončíme také v bodě A, drát upevníme, ale neodstříheme. Oba konce vinutí stočíme v délce asi 10 cm. Nyní vineme  $L_3$ , začátek označíme a upevníme v bodě A. Vineme 4 závity doleva – proti směru hodinových ruček. Konec upevníme také v bodě A. Dále pokračujeme drámem cívky  $L_1$ , vineme 22 závitů opět doprava jako u  $L_1$ , konec bude v bodě A. Tím je deska 1 hotová. Na desce 2 bude  $L_4$  – 36 závitů směrem doprava – začátek v bodě B, začátek a konec vinutí stočíme v délce 10 cm. Cívku  $L_5$  vineme jako  $L_4$ , bude mít 36 závitů. Kondenzátory  $C_5$  a  $C_7$  – styroflexové – připejme na vývody cívek a přilepíme je k desce. Vinutí omotáme páskem z plastické hmoty, aby byla chráněna proti poškození.

Dvě desky jsou podle obr. 119 stavitelné. Stavěcí a upevnovací šrouby nemohou být z kovu, musí být ze silonu nebo podobného materiálu, aby neovlivňovaly indukčnost cívek. Cívku připevníme na nosnou tyč (také z plastické hmoty) vhodné délky též nekovovými úchyty. Na horním konci tyče upevníme krabičku, kde bude elektronika a napájecí baterie. Přívody od cívek mají být stíněné. Po nastavení přístroje dáme cívky do ochranného krytu z novoduru, příp. je přestříkneme polyuretanovou pěnou a vytvarujeme.

Nejdříve roztáhneme cívky od sebe, jak dovoluje stavěcí šroub. Body I a II na plošném spoji zatím nepropojujeme. Po zapnutí napájecího napětí by se měl po nastavení  $P_1$  a  $P_2$  ozývat z reproduktoru tón. Pomalu přiblížujeme cívky k sobě, zvuk by měl slabnout – samozřejmě v blízkosti cívky nemáme žádný kovový předmět. Potom manipulací s  $P_1$  a  $P_2$  a rozevíráním a přiblížováním cívek hledáme minimum zvuku. Tento pochod několikrát opakujeme. Po skončení nastavování cívky vzdálíme od sebe asi na 8 mm a jejich vzájemnou polohu zafixujeme silikonovým šroubem.

Nyní zapojíme bod I na desce s plošnými spoji (značeno čárkovaně) a změnou  $C_6$  se snášíme dosáhnout toho, aby tón nebyl slyšet. Když se to nepodaří, rozpojíme bod

I a zapojíme bod II. Kdyby se to nepodařilo ani tam, cívka bude silně rozladěna. Připojíme paralelně k  $C_6$  kondenzátor 470 pF a znova zkusíme propojovat body I nebo II. V případě nezdaru znovu nastavujeme cívky, jak již bylo popsáno.

Napájecí napětí je přesně 9 V, potenciometry  $P_1$  a  $P_2$  nastavíme citlivost tak, aby v reproduktoru nebylo slyšet žádny tón. Stiskneme tlacičko TI a trimrem  $P_4$  nastavíme plnou výchylku ručky měřidla. Zmenšíme napájecí napětí na 7 V a výchylku ručky měřidla označíme červeně – to bude minimální napětí baterie.

Odporový trimr  $P_3$  určuje citlivost měřidla, nastavíme jej podle potřeby. V osciloskopu může interferencí kmitočtů vznikat modulace ve formě brumu 100 až 150 Hz, který můžeme potlačit tak, že podle obr. 117 místo  $R_1$  zapojíme odporový trimr 50 kΩ, kterým nastavíme jiný bod synchronizace.

Na přední panel budou vyvedeny:  $C_6$ ,  $P_1$ ,  $P_2$ , příp. „synchronizační“ potenciometr 50 kΩ.

Dříve než začneme pracovat s hledáčkou, vyzkoušme různá nastavení ladícího kondenzátoru  $C_6$ . Detektor je nejcitlivější tehdy, když tón začíná být právě slyšitelný, v tom případě reaguje na velmi malé změny indukčnosti cívek. Podle nastavení  $C_6$  (vlevo nebo vpravo od středu stupnice) můžeme rozlišovat i materiál nalezeného předmětu (zda se jedná o para, dia nebo feromagnetický materiál). Tvar a rozměr předmětu má velký význam při hledání. S určitými zkušenostmi a dobré nastaveným detektorem lze nalézt i malé předměty. Nejcitlivějším mísitem hledací cívky je její střed, kde se obě cívky vzájemně překrývají. Při pokusech se podařilo najít i nevelké předměty v zemi v hloubce 15 cm.

#### Náhrada klimatizace v autě

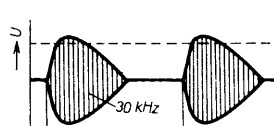
V našich vozech nebývá vestavěna klimatizace, proto je obtížné v létě nebo v zimě dosáhnout konstantní teploty ve vozovém prostoru, často bývá moc teplo nebo naopak zima. Nastavování větrání, intenzity topení, otevírání a zavírání oken, zapínání ventilátoru může odvádět pozornost řidiče od pozorování dopravní situace. Nehodná teplota uvnitř vozu má také neblahý vliv na únavu řidiče. Zařízení podle obr. 120 může do určité míry nahradit neexistující klimatizaci v tom, že zabezpečuje stálou teplotu především při delších cestách, reguluje motor ventilátoru, který v létě dodává čerstvý, v zimě ohřátý vzduch do prostoru pro cestující.

Zařízení není obvyklou dvoupolohovou regulací, která spíná a vypíná ventilátor, ale reguluje množství vzduchu nasáté ventilátem podle vnitřní teploty cestou změny rychlosti otáčení motoru ventilátoru.

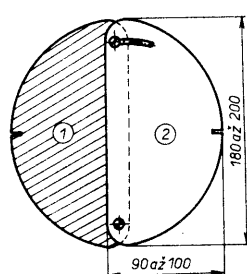
První dva operační zesilovače A a B tvoří generátor signálu pilovitého průběhu. Společně referenční napětí (invertující vstup u A a neinvertující u B) se odeberou z děliče. Zesilovač A pracuje jako Schmittův klopný obvod, B jako integrátor a na výstupu 8 je signál pravoúhlého průběhu a na výstupu 14 trojúhelníkovitého průběhu.

Signál trojúhelníkovitého průběhu srovnává komparátor C se stejnosměrným napětím, které je určeno stavem termistoru. Je-li vnitřní teplota ve voze vyšší než jmenovitá, odpor termistoru se zmenší a napětí na invertujícím vstupu operačního zesilovače C bude menší. Pilovité napětí na neinvertujícím vstupu bude větší, a proto na výstupu operačního zesilovače C budou kladné impulsy rádu kHz.

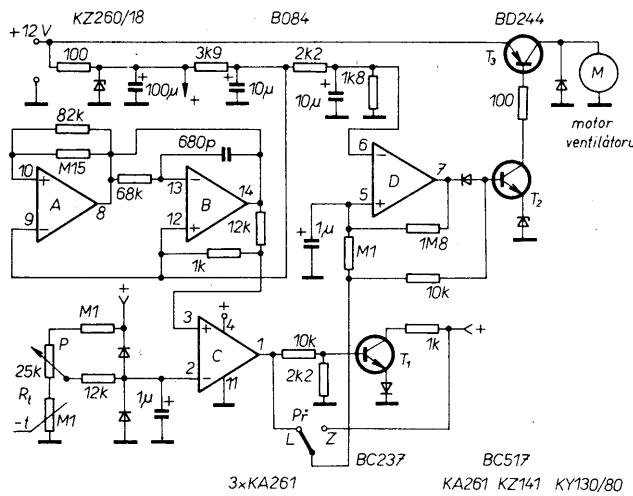
Kladné impulsy pravoúhlého tvaru, jejichž šířka je závislá na teplotě, je-li přepínáč P v poloze L (léto), se dostanou do báze tranzistoru T<sub>2</sub>, který je spínán v rytmu kmito-



Obr. 118. Tvary kmitů oscilátoru



Obr. 117. Hledač kovových předmětů



Obr. 120. Klimatizace vnitřku vozu

čtu přicházejícího signálu. Když se teplota snižuje, zvětšuje se odpor termistoru a tím i napětí na invertujícím vstupu zesilovače A a malé napětí na výstupu zesilovače C bude po delší dobu, kladné impulsy budou krátké a motor ventilátoru se bude točit pomaleji.

Regulace trvá tak dlouho, dokud se teplota uvnitř vozu neustálí na velikosti, kterou jsme nastavili potenciometrem P. V blízkosti nastavené teploty jsou impulsy již velmi krátké, na bázi T<sub>2</sub> se již neuplatní, protože zesilovač D, který pracuje jako klopny obvod, impulsy ještě zkracuje. Jeho výstup, který „oreže“ začátek impulsu přes diodu, je v době mezi impulsy ve stavu L. Při příchodu kladného impulsu se úroveň na výstupu mění na H (když se připojený kondenzátor 1 μF nabije), uzavírá se výstupní dioda a T<sub>2</sub> zůstává do konce impulsu otevřen. Krátké impulsy na činnost obvodu nemají vliv, proto ke konci impulsu se motor zastaví a nerozběhne, dokud se nezmění odpor termistoru a tedy teplota interiéru vozu zůstává na jmenovité velikosti. Přesnost nastavení je asi 2 až 3 °C. Potenciometrem můžeme teplotu regulovat asi mezi 18 až 28 °C.

V zimě je regulace obrácená. Po přepnutí přepínače Př do polohy Z (zima) ventilátor vhání ohřátý vzduch do prostoru vozu. Je-li uvnitř zima, ventilátor vhání více teplého vzduchu. Přepínačem Př se vlastně zařazuje stupeň, který obraci fázi, a tím funkci regulátoru. Zenerova dioda na vstupu chrání zařízení proti možným napěťovým špičkám, stejněmu účelu slouží i diody na vstupu operačního zesilovače.

Termistor umístíme někde v cestovním prostoru tak, aby ho proud vzduchu z ventilátoru nemohl přímo chladit nebo ohřívat. Proto by bylo vhodné použít perličkový termistor, který rychle reaguje na tepelné změny, hmotové jsou velmi pomalé.

Na kolektoru T<sub>1</sub> je napětí asi 4 V (mV), jímž se ovládá činnost operačního zesilovače IO<sub>2</sub>. Fázový závěs s IO<sub>1</sub> zde pracuje jako měnič kmitočet-napětí. Jelikož je použit digitální vstup, obvod PLL zůstává stabilní. Aby obvod správně pracoval, je třeba použít rychlý operační zesilovač IO<sub>2</sub>.

Odporovým trimrem se nastaví střední kmitočet PLL, potenciometr je v takové poloze, kdy ručka měřidla nemá vychylku. Trimrem P<sub>2</sub> se nastavuje jemně a P<sub>3</sub> hrubě citlivost. Důležitá je při konstrukci velikost hledací cívky, použijeme-li menší cívku, bude třeba zvětšit počet závitů.

#### Přijímač signálů OMA

OMA je vysílač časových značek s výkonem 1 kW v Liblicích. Na rozdíl od ostatních podobných vysílačů (DCF77, HBF), je OMA modulován jen amplitudově. Vysílá sekundové impulsy 59krát krátce a šedesátý impuls je delší, což usnadňuje použití signálů OMA k řízení kmitočtu hodin nebo podobných zařízení, u nichž potřebujeme přesné sekundové impulsy.

Přijímač těchto značek je na obr. 122. Tranzistor T<sub>1</sub> se vstupním obvodem tvoří velmi selektivní filtr 2,5 MHz s Q asi 1000, šířka pásma B<sub>-3 dB</sub> = 2,5 kHz. Po zesílení tranzistory T<sub>2</sub> a T<sub>3</sub> je do cesty signálu zařazen krytalový filtr s T<sub>4</sub> a krystalem se šířkou pásma (-3 dB) 500 Hz. Napájení přes svodový kabel umožňuje montáž (pod nebo nad střechou) v oblasti menšího rušení.

Cívka L<sub>1</sub> je transformátor, který je navinut na prstencové feritové jádro (v originálu T50), primární vinutí má 2 a sekundární 50 závitů drátu o Ø 0,3 mm. Krystal 2,5 MHz má mít na tomto kmitočtu sériovou rezonanci. Při montáži dbáme na krátké spoje a dobré stínění.

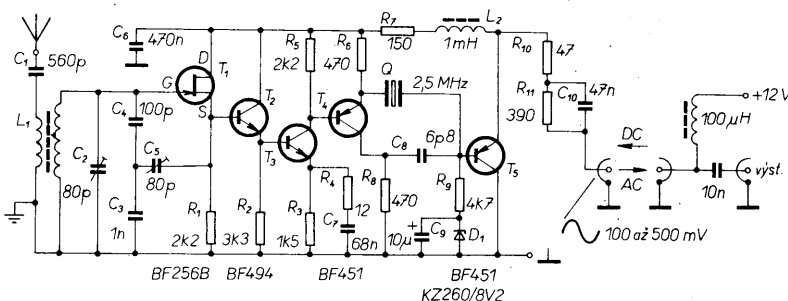
Přístroj se naladí signálem 2,5 MHz (10 mV), který přivedeme na kondenzátor C<sub>1</sub>. Osciloskopem nastavíme amplitudu signálu na R<sub>1</sub> na maximum, příp. měněme počet závitů sekundárního vinutí tak, abychom dosáhli rezonance na 2,5 MHz. Nastavení přezkoušíme rozladěním generátoru. Potom zmenšíme amplitudu budicího signálu a opakujeme ladění. Pak místo generátoru připojíme anténu, osciloskop nebo výměnič milivoltmetr připojíme na výstup a kondenzá-

#### Hledací kovů

Hledací kovů na obr. 121 pracuje tak, že hledací cívka je součástí oscilátoru, který kmitá na stanoveném kmitočtu. Blízkost kovového předmětu mění indukčnost cívky a tím i kmitočet oscilátoru, změna kmitočtu se pak vyhodnocuje.

Kondenzátory C<sub>1</sub> a C<sub>2</sub> spolu s hledací cívkou určují pracovní kmitočet oscilátoru, jehož aktivním členem je tranzistor T<sub>1</sub>. Při změně indukčnosti cívky se projeví vliv para, dia a feromagnetických materiálů, jak již bylo dříve vysvětleno. Feromagnetický materiál zvětšuje indukčnost cívky a tím zvyšuje kmitočet oscilátoru, u ostatních materiálů jsou indukčnost i kmitočet snížovány. Tento jev je výrazný jen při velmi nízkých kmitočtech, při nich se ovšem již neprojeví výrazně vliv výřivých proudů. Kolem kmitočtu 200 Hz se vliv výřivého proudu již jeví jako zkrat jednoho vinutí, vlastní indukčnost hledací cívky se zmenšuje. Protože při nižších kmitočtech význam cívka velmi objemná, byl navržen oscilátor s kmitočtem kolem 300 kHz, pro který postačuje jeden závit o průměru 440 mm z tlustšího souosého kabelu, který bude mít rozdelené stínění.

Mezivrcholové napětí na cívce dosahuje asi 500 mV (tj. efektivní napětí asi 170 mV).

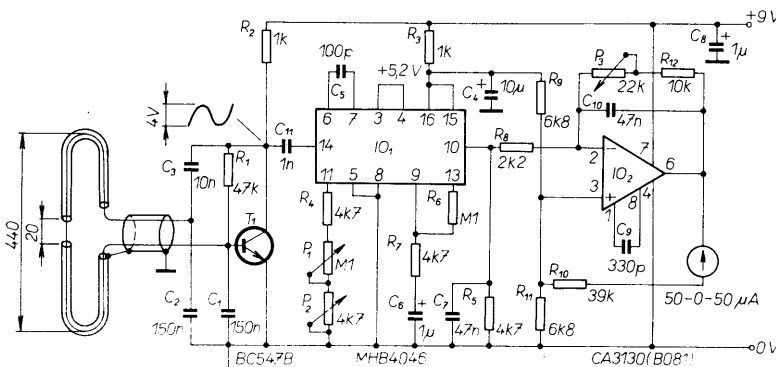


Obr. 122. Přijímač sekundových impulsů OMA-2500

torem C<sub>5</sub> nastavíme maximální amplitudu, nejvíce však 500 mV.

Protože u T<sub>1</sub> se jedná o rezonanční stupeň, ovlivňují se navzájem nastavení C<sub>2</sub> a C<sub>5</sub>. Pro stabilní signál na T<sub>3</sub> je nutné nastavení několikrát opakovat. To může být nutné i tehdy, je-li signál velmi silný a přijímač je přezen.

Odběr ze zdroje je jen 10 mA. Anténa má být delší drátová. Signály (sekundové impul-

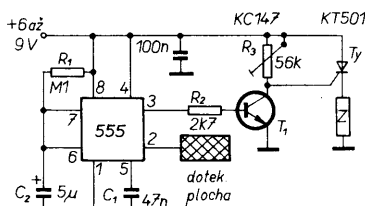


Obr. 121. Detektor kovových předmětů

sy) na výstupu zpracujeme podle potřeby Schmittovým klopným obvodem nebo pod.

### Poplachové zařízení

Na obr. 123 je přenosné poplachové zařízení, které je možno provozovat i jako stabilní. Nejobvyklejším použitím je připojení dotekové plochy – postačí i holý drát – ke klice u dveří, která musí být kovová – uchopí-li někdo klíku do ruky, ozve se poplašný signál. Dotekovou plošku můžeme připojit k jakémukoli kovovému předmětu, předmět však nesmí být uzemněn. Dotekom přivádíme na chráněný předmět brumové napětí, které postačuje k tomu, aby se obvod 555 překlopil a tak změnil stav svého výstupu. Nezapomeňme, že přístroj může pracovat jen tam, kde je v blízkosti síťové napětí; v lese kupř., kde bydlíme ve stanu a široko daleko není elektrické vedení, pracovat nebude. Obrázeně: při bouřce se může stát, že bez doteku bude vyvolán poplach působením blesku (statické elektřiny).

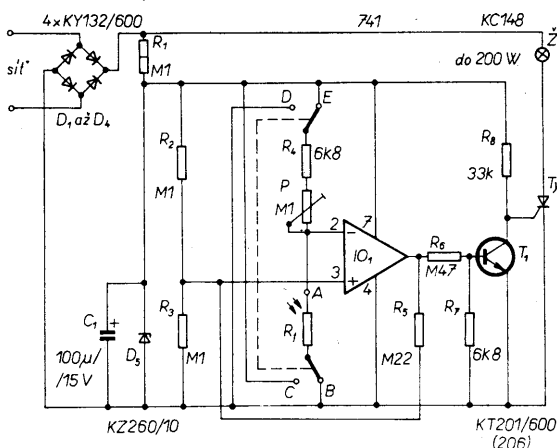


Obr. 123. Poplachové zařízení

V klidovém stavu je na výstupu 555 kladné napětí, které udržuje tranzistor  $T_1$  v otevřeném stavu. Jeho kolektor udržuje řídící elektrodu tyristoru na zemním potenciálu, tedy tyristor nevede. Přivedeme-li na dotekovou plošku brumové napětí, výstup obvodu se překlopí, tranzistor se uzavře a přes trimr  $R_3$  dostane řídící elektroda kladný impuls, kterým se tyristor otevře a sepné zvukovou signalizaci. Stav otevřeného tranzistoru trvá jen asi 1,5 sekundy, potom tranzistor přestane vést, na řídící elektrodě tyristoru bude opět zemní potenciál, tyristor však i nadále zůstává otevřen, poplašný signál stále zni, přerušit ho můžeme jen přerušením napájecího napětí. Citlivost zařízení nastavíme trimrem  $R_3$ .

Pro napájení budou nejhodnější dvě ploché baterie v sérii a malý bzučák nebo zvonek (třeba z dětských stavebnic).

Obr. 125. Automatické osvětlení



### Řízení světlem

Na obr. 124 je světlem řízený vozík, jehož řízení spočívá v tom, že zadní kola jsou samostatně poháněna motorky, rychlosť otáčení každého z motorků je závislá na osvětlení jednoho fototranzistoru, proto se vozidlo může otáct doprava nebo doleva, příp. kolem dokola podle řídícího světla. Poháněcí napětí motorků je impulsní, vozidlo s takovým řízením (a nejen vozidlo) se hodí pro nejrůznější účely, hračkou počínaje a konče robotem.

Zapojení obsahuje tři časovače 555. První z nich pracuje jako astabilní multivibrátor na kmitočtu asi 150 Hz. Těmito impulsy řídíme  $IO_2$  a  $IO_3$ , které přes konkavé stupně  $T_3$ ,  $T_5$ , popř.  $T_4$ ,  $T_6$  řídí oba poháněcí motory.  $IO_2$  a  $IO_3$  pracují v monostabilním režimu. Když na jejich vstup – vývod 2 – přichází z  $IO_1$  záporný impuls, na jejich výstupu se objeví řídící napětí, které vybudí výkonový stupně a motory se připojí na napájecí napětí. Na vývod 5 časovačů  $IO_2$  a  $IO_3$  jsou připojeny fototranzistory, jejich osvětlením ovlivňujeme výstupní impulsy, tedy řídící napětí pro motory. Osvětlením měníme šířku pravoúhlého napětí na výstupu, tedy motory jsou řízeny šířkově modulovaným signálem. Přepínačem měníme režim motorů, jednak reakci na režim světlo-tma, jednak směr jejich otáčení.

Na fotografii na obálce je vidět uspořádání vozidla. Na základní desce je umístěna deska s plošnými spoji se všemi součástkami, pod ní je zdroj – baterie 4,5 nebo 9 V, jedna nebo dvě ploché baterie podle typu použitých motorků. Zadní kola jsou veliká, o Ø asi

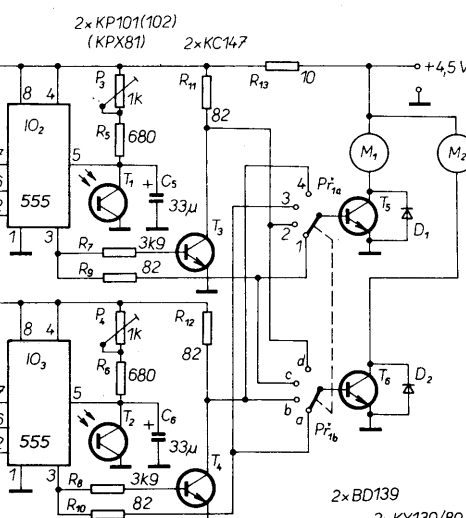
50 až 60 mm, byly použity modelářské pneumatiky z letadel. Vpředu je pod deskou jen jedno kolečko, které se může otáct kolem svislé osy (jako kolečka pod pojízdným stolek). Oba poháněcí motory jsou stejné ( $MO_1$ ,  $MO_2$ ). Můžeme použít japonský motorek z hraček nebo pod. Ve vzhledu byly použity vyřazené motory 9 V z magnetofonů Uran z bazaru, proto bylo použito napájení 9 V. Motory mají na hřidelích pryžová poháněcí kolečka, která jsou přitlačována na obvod zadních kol a tak slouží jako poháněcí třetí ústrojí a zároveň i jako vhodný převod do pomalé.

Oba fototranzistory jsou umístěny vpředu jako reflektory, aby je bylo možné podle potřeby osvětlovat zvlášť. Můžeme je dát odděleně do malých trubiček a tak řídit rychlosť jednoho nebo druhého motorku, měnit směr jízdy vozidla, otáct ho na obě strany. Tímto způsobem můžeme ovládat i nejrůznější servomechanismy k řízení složitých mechanických dějů.

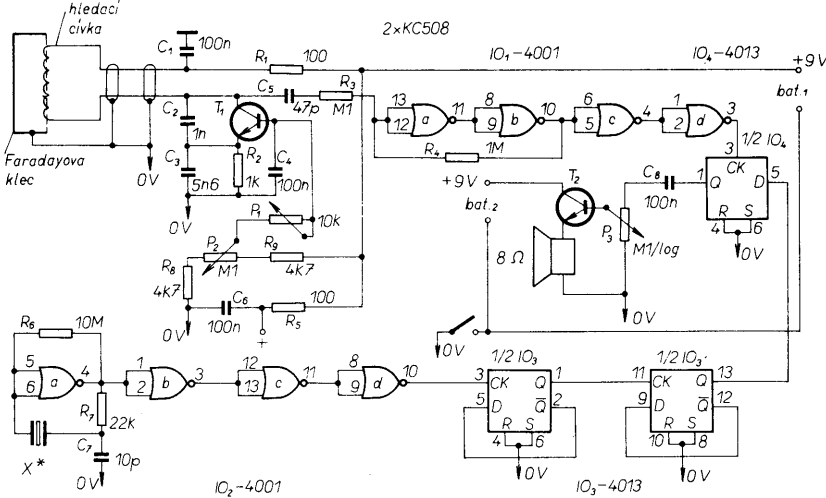
### Samočinné osvětlení

Zařízení, které automaticky rozsvítí žárovku při setmání a zhasne při rozdení, je na obr. 125. Můžeme ho používat při osvětlení dvorku, schodiště, ulice, vchodu do domu apod., kde potřebujeme, aby byl celou noc objekt osvětlen a tím i chráněn proti nežádoucím návštěvám. Celé zařízení lze umístit do malé krabice, nepotřebuje žádné ošetřování, jen okénko fotorezistoru musíme občas vyčistit od prachu. Okénko je třeba při instalaci zařízení umístit tak, aby intenzita světla, které dopadá na jeho citlivou vrstvu, splňovala naše požadavky na rozsvěcení a zhášení světla. Zařízení nepotřebuje napájecí transformátor, je napájeno přímo ze sítě, proto musíme věnovat velkou pozornost izolaci a ochraně proti doteku nepovolenou osobou.

Přípravek tedy napájíme přímo ze sítě, diody  $D_1$  až  $D_4$  usměrňují síťové napětí, z něhož přes  $R_1$  odeberáme napájecí napětí, které upravíme Zenerovou diodou  $D_5$  asi na 10 V. Usměrněným síťovým napětím lze napájet žárovku nebo žárovky do celkového příkonu asi 200 W, které budou spinány tyristorem.  $R_2$  a  $R_3$  tvoří dělič, z něhož se odeberá referenční napětí pro komparátor. Trimrem  $P$  nastavíme napětí na invertujícím vstupu operačního zesilovače tak, aby v okamžiku zvoleného zatemnění  $R_1$  se jeho výstup stal záporným, přičemž  $T_1$  se uzavře, na řídící elektrodě tyristoru se dostane přes  $R_8$  kladné napětí, tyristor se otevře a napájí žárovku. Větším osvětlením  $R_1$  se mění stav na výstupu operačního zesilovače, tranzistor na řídící elektrodě tyristoru přivádí záporné napětí, tím se tyristor uzavře, protože je napájen tepavým napětím 100 Hz, žárovka zhasne. Když regulace světlo-tma nebyla dostatečná, lze zvětšit odpor  $P$  až na 1 MΩ.



Obr. 124. Světlem řízené vozidlo (prototyp)



Obr. 126. Hledací kovů

Pro  $R_4$  vyhovuje v podstatě každý typ. Přepnačem  $P_1$  v případě potřeby můžeme obrátit funkci celého zařízení tak, že tranzistor bude napájet žárovku při osvětlení. Když neuvažujeme o takovém režimu práce, přepinač můžeme vynechat. Tranzistor opatřime chladičem.

### Hledací kovů

Na obr. 126 je hledací kovů, který pracuje na principu zázájného oscilátoru (Beat Frequency Oscillator), BFO. Má jednu hledací cívku a krystalem řízený oscilátor; když se rozloží hledací oscilátor, přístroj indikuje změnu kmitočtu.

Při ovládání použijeme tři ovládací prvky: nastavení kmitočtu hrubě, jemně a zesílení. Nastavení „hrubé kmitočet“ kompenzuje různé činitele, působící změnu kmitočtu oscilátoru (teplota, napětí baterie), jemným řízením kmitočtu kompenzujeme vliv složení a stav půdy, nad kterou se pohybujeme s cívkou hledacího oscilátoru.

Nejdůležitějším prvkem, který určí použitelnost zařízení, je stabilita obou oscilátorů a rychlá reakce hledacího oscilátoru při nalezení kovu. Pro splnění těchto požadavků byly použity integrované obvody CMOS pro zapojení referenčního v Colpittsova oscilátoru. Cívka oscilátoru je zapojena do kolektoru tranzistoru  $T_1$ . Kondenzátory oscilátoru  $C_2$  a  $C_3$  mají být stabilní, nejlépe polystyrenové (TGL), protože určují stabilitu kmitočtu. Měnit kmitočet oscilátoru v malé míře můžeme potenciometrem  $P_1$ , ve větší míře pomocí  $P_2$ , změnou napájecího napětí báze tranzistoru  $T_1$ . Jemně ladění s  $P_1$  je asi desetinou hrubého ladění.

Signál oscilátoru (s hledací cívkou) je veden přes  $C_5$  na Schmittův klopový obvod, složený ze dvou hradel  $IO_1$  (a, b). Za ním následují dvě hradla pro tvarování a inverzi signálu, pravoúhlý signál pak přichází do směšovače  $IO_2$ .

Referenční oscilátor je řízen krystalem, jeho zapojení je klasické s jedním hradlem. Použijeme krystal kolem 3,5 MHz, na absolutním kmitočtu celkem nezáleží, hlavní je jeho stabilita. Obvod  $IO_3$  dělí kmitočet oscilátoru 4krát a do směšovače privádíme signál o kmitočtu asi 900 kHz. Privádime-li z hledacího oscilátoru signál asi 120 kHz na vstup  $CK$  jako hodinové impulsy a na vstup  $D$  asi 900 kHz, pak při změně kmitočtu hledacího oscilátoru o 1 Hz se na výstupu směšovače mění kmitočet o 8 Hz. Protože neslyšíme kmitočet ani jednoho oscilátoru, budeme slyšet jen změnu, vyvolanou rozladěním hledací cívky blízkosti kovu, která bude zesílena tranzistorem  $T_2$ . Tedy již nepatrná změna, vyvolaná skrytým kovovým předmětem.

cívku i s podloženou izolační páskou sejmeme z formy, izolační pásku přehneme přes dráty a ještě dvakrát omotáme dráty izolací, takže dostaneme dosti tuhý kulatý svazek dráťů. Pro pevnost můžeme toto „kolo“ natřít tlustší vrstvou epoxidu. Po zaschnutí nastříháme z hliníkové fólie – alobalu – asi 15 mm široké pásky, kterými dvakrát obalíme celé kolo tak, že u vývodů ponecháme mezeru asi 10 mm. Pod hliníkové stínění dáme holý drát, který bude sloužit jako vývod stínění – drát případně připájíme. Kolo znovu obalíme izolační páskou, pak nasuneme na nějakou tuhou formu z izolační hmoty a potřeme epoxidem. Po zaschnutí máme k dispozici plochou cívku jako disk. Na tuto hledací cívku připevníme tyč odpovídající délky také z plastické hmoty, na tyč upevníme krabičku s elektronikou a baterií, kterou spojíme s hledací cívkou stíněným kabelem. Upevnění tyče k cívce má být bez feromagnetických dílů.

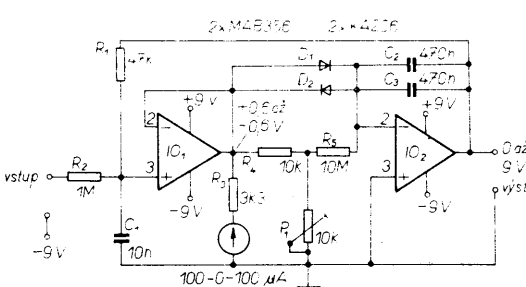
Po změření a nastavení kmitočtu oscilátoru nastavíme nulový záznam a zkusíme cívku přiblížit ke kovovému předmětu, při dosažení určité vzdálenosti uslyšíme záznam, který se při přiblížování nebo vzdalování od předmětu má měnit. Nulový záznam v klidovém stavu označíme na ovládacích knoflíčích regulačních prvků, při začátku hledání vždy nastavíme nulový záznam.

### Detektor lži

Na obr. 127 je detektor lži. Princip podobných detektorů je dosti známý: spočívá v tom, že vzrušení, vyvolané nějakým podnětem, vytváří kromě bušení srdce, chvění hlasu, návalu krve i větší sekreci potních žláz, tj. vlnutí pokožky ruky, čímž se mění i její odpor. Na tuto změnu reaguje naš detektor, který má dvě možnosti použití: přímé zjišťování reakce osob na jím dané otázky a stanovení celkového stavu, který se zjišťuje měřením odporu pokožky během delšího časového úseku.

Jako snímač použijeme dva holé ohebné dráty, které omotáme kolem dvou prstů nebo kolem prstu a zápěstí. Přístroj je napájen ze dvou desítkových baterií 9 V.

Signál z elektrod postupuje přes  $IO_1$ , který je zapojen jako sledovač. Měřidlo reaguje na každou změnu odporu kůže. Kondenzátor na vstupu má za účel potlačit brumové napětí. Operační zesilovač  $IO_2$  pracuje jako integrátor, který se nastaví automaticky na střední odpor pokožky „vysetřované“ osoby. Doba potřebná pro toto nastavení je dána členem  $R_5$ ,  $C_2$  a  $C_3$ . Ke kontrole použijeme libovolné měřidlo – Avomet – na výstupu. Antiparalelní zapojení diod  $D_1$ ,  $D_2$  slouží k tomu, aby se měřená veličina rychle ustálila. Strmost lze nastavit trimrem  $P_1$ . Protože odpor pokožky u různých osob se dosti podstatně liší, může se stát, že bude třeba  $R_1$  změnit. U osob, které mají obvykle mokré ruce, může být  $R_1$  menší, aby výsledky nebyly zkreslené. proto je  $R_1$  možné nahradit potenciometrem.



Obr. 127. Detektor lži

## Reakce rostlin

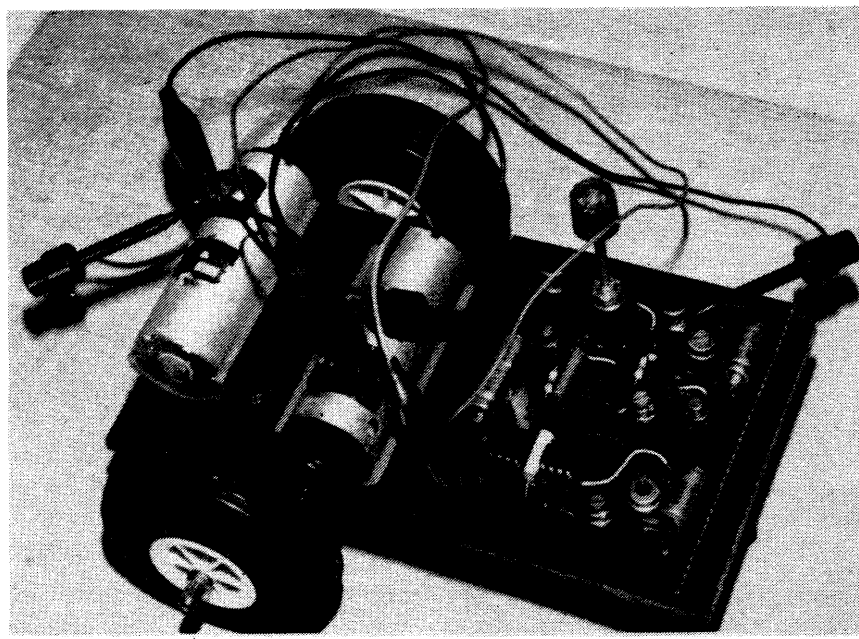
Mnozí z milovníků květin tvrdí, že i rostliny mají „duši“ a dovedou reagovat na nejrůznější vnější vlivy. Pro důkaz schopnosti reakce rostlin byl vyzkoušen popsáný přístroj podle obr. 128, kterým lze naměřit neperiodické signály v rozsahu 1 až 40 Hz s amplitudou několika milivoltů.

Nelze sice s určitostí vždy stanovit vztah mezi signálem a aktivitou rostliny, často nejsou osciloskopem snímané veličiny v přímé souvislosti s manipulací s rostlinou, ale otevírá se široké pole možností a pokusů pro milovníky tohoto oboru. Na počátku pokusu vždy byla pozorována výrazná reakce, potom se ustálil tvar křivky podle obr. 128. Každopádně je k pozorování těchto jevů nezbytný zesilovač s velkým potlačením rušivých signálů. Výhodu to má, že stejný speciální zesilovač můžeme použít i k pozorování jiných biologických jevů, jako křípání srdečních nebo mozkových aktivit apod.

Na vstupy A – B je připojen zesilovač s velkým vstupním odporem  $1 M\Omega$  ( $R_1, R_2$ ). Signál postupuje do rozdílového zesilovače  $A_3$ , kde bude zesílen desetkrát. Toto malé zesílení je zvoleno proto, aby příp. offsetové napětí operačního zesilovače nepřivedlo výstup do limitace. Z tohoto signálu se snažíme odfiltrovat síťové brumové napěti a signály vysokých kmitočtů dolní propustí –  $A_4$ , jejíž dolní mezní kmitočet je nižší než 50 Hz. Pasivní horní propustí s  $C_3, R_{13}$  vyfiltruje signál od stejnosměrné složky, která prošla dolní propustí. Mezní kmitočet horní propusti je asi 1 Hz. Tako vyfiltrovaný signál postupuje na neinvertující zesilovač se zesílením 1000. Víme, že každý zesilovací stupeň přidává k signálu šum i brum, proto i zde následuje horní a dolní propust k vyfiltrování zesíleného signálu. Citlivým osciloskopem pak lze na  $C_6, R_{19}$  „něco“ změřit. Chceme-li použít zapisovač nebo méně citlivý osciloskop, signál ještě musíme zesílit. K tomuto účelu slouží operační zesilovač  $A_7$ . Celkové zesílení můžeme měnit  $P_1$  v rozsahu od  $2 \cdot 10^4$  do  $10^6$ . Při největším zesílení signál 1  $\mu V$  vyzvolá na výstupu 1 V.

Aby síťového brumu proniklo do zařízení co možno nejméně, je použito bateriové napájení. Aby byly vyloučeny i vlivy přívodů sítě (osciloskop, zapisovač) je použit optický vazební člen  $R_f-D_f$ .

Chceme-li dosáhnout vyrovnaných výsledků, musíme měřit dlouhodobě, i např. v naší nepřítomnosti. K tomu již nepostačuje jen osciloskop, bude třeba použít i zapisovač. Jako nahraďka za zapisovač může posloužit VCO (napětím řízený oscilátor), jehož signál v naší nepřítomnosti lze nahrát na magnetofon.



*K obr. 124. Šasi světlém řízeného vozíku. Na obrázku je vidět, že každé kolo je řízeno zvláštním motorkem (motorek je z magnetofonu Uran). V přední části vozíku je deska elektroniky, která má v předních rozích umístěny fototranzistory*

K měření potřebujeme snímače – elektrody. Nejdostupnější jsou zlacené kontakty objímky pro integrované obvody, nebo kontakty z konektorů FRB, příp. můžeme použít zlacené plošky z „vysloužilých“ desek počítačů. Tyto elektrody potíráme vodivou vazelínou (používá se např. u EKG).

Potřebujeme tři elektrody-snímače, prostřední se připojí na stínění, dvě krajní jsou připojeny na vstupy A a B. Obě vedení musí mít samostatná stínění. Snímače nemají být vzdáleny od sebe více než asi 30 mm (obr. 128c). Připojený registraci přístroj nebo osciloskop musí být uzemněn, všechna vedení musí být co nejkratší.

Pracuje-li zapojení správně, výstupní signál se bude podobat obr. 128b, který dává informaci o změnách napěti rostliny. Podržíme-li na chvíli plamen zapalovače pod nejbližším listem, uvidíme, jak se mění napětí na elektrodách, jak zásah rostlinu „bolí“.

## Seznam literatury

Rádiotechnika, ročníky 1982 až 1988.

Ročenky Rádiotechniky 1977, 1984 až 1988.

Elektronika v domácnosti, Bp., 1983.

Australian Electronics 8/1987.

Funkschau č. 2/1986, č. 22/1985.

Radioelektronika č. 12/1986.

Das Elektron č. 12/1980.

RFE č. 2/1986.

Electronics Australia č. 1, 3/1988.

ETI č. 12/1976.

Funkamateur č. 6/1987.

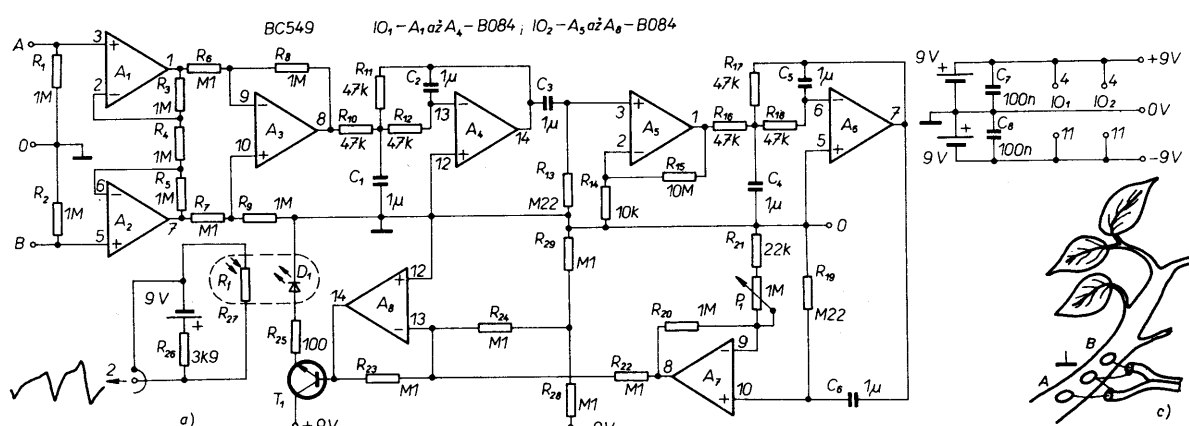
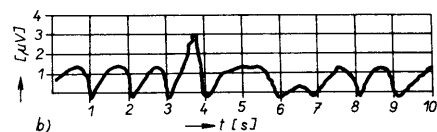
Radio Electronics č. 6/1987.

Ezermester č. 7–8/1988.

Elektor č. 10/1986, č. 7–8/1985, č. 7–8/1988.

Revista Espanola č. 6/1986.

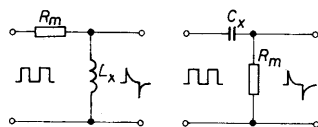
Électronique pratique č. 1484.



*Obr. 128. Zkoumání reakce rostlin*

## MĚŘÍČ KAPACIT A INDUKČNOSTÍ

Měřicích metod pro měření kapacit a indukčnosti je známa celá řada. Jednou z nich je metoda, která vyhodnocuje měřenou veličinu z derivací pravoúhlých impulsů. Princip je znázorněn na obr. 1. Cívce nebo kondenzátor je přiřazený měřicí rezistor  $R_m$ , který spolu s  $C_x$  a  $L_x$  tvoří obvod, který derivuje pravoúhlé impulsy. Integraci takto získaných jehlových impulsů (kladních i záporných) získáme napětí, které je úměrné měřené indukčnosti nebo kapacitě.



Obr. 1. Princips měření  $C_x$  a  $L_x$

Přístroj má sedm rozsahů pro měření kapacity a šest rozsahů pro měření indukčnosti. Rozsah měření kapacit je od 0,1 pF do 200  $\mu$ F a rozsah měření indukčnosti je od 0,1  $\mu$ H do 20 H. Jednotlivé rozsahy s příslušnými měřicími a taktovacími kmitočty jsou v tab. 1.

Přístroj se skládá ze tří hlavních dílů. Jsou to oscilátor s děličem kmitočtu, vlastní měřicí obvody a převodník A/D spolu s displejem.

Oscilátor (obr. 2) vyrábí kmitočet 3 MHz. Musí být řízen krystalem, protože změny kmitočtu by ovlivňovaly

přesnost měření. Dělicí poměry se programují přepínačem. IO<sub>5</sub> dává z výstupu 11 symetrické pravoúhlé impulsy do měřicího obvodu. K taktování ICL7106 se hodí i nesymetrické signály. Ty získáváme z čítače IO1, který je zapojen jako monostabilní klopový obvod.

Signál „měřicí kmitočet 1“ je zpozděn dvěma invertory a členem  $RC$  asi o 1  $\mu$ s a přiveden jako „měřicí kmitočet 2“ na analogový přepínač 4051.

Navrhovaný měřicí obvod pro měření indukčnosti se řídí podle příslušných kmitočtů. Čím vyšší kmitočet (a tím i  $R_m$ ), tím menší je přesnost vlivem sériového odporu měřené cívky. Čím nižší je kmitočet, tím méně je měření ovlivněno vlastní kapacitou cívky. Při příliš vysokých kmitočtech se mohou projevit dokonce i rezonance.

Pro měření kapacit naproti tomu nejsou měřicí kmitočty v širokém rozsahu kritické. Jsou voleny pokud možno nízké, aby potom velký  $R_m$  zmenšoval spotřebu.

### Zapojení

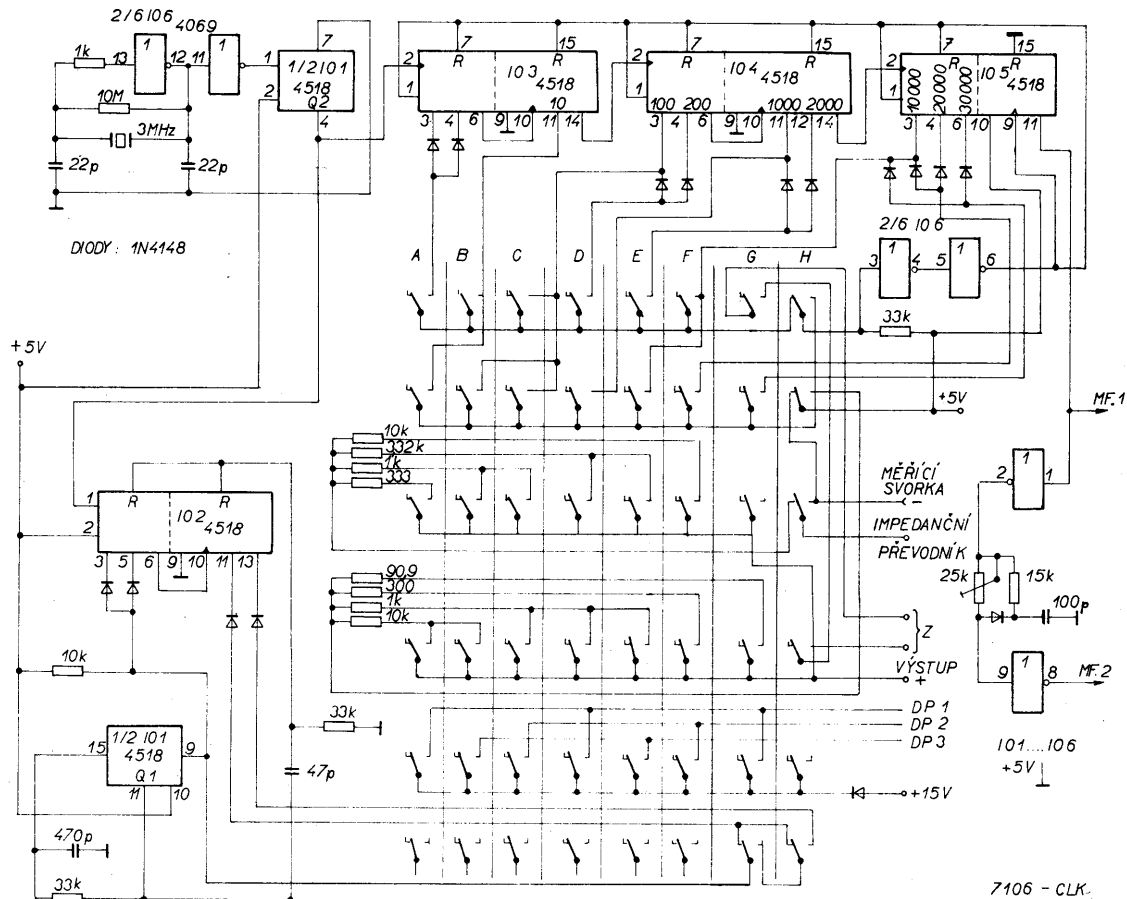
V měřicím obvodu (obr. 3) je zapojen omezovač rychlosti přeběhu (OZ CA3130) na maximálně 10 V/ $\mu$ s. To je nutné, protože impedanční převodník následující za měřicím obvodem je osazen operačním zesilovačem s malou spotřebou (LF351), který má rychlosť přeběhu minimálně 13 V/ $\mu$ s.

Na rozsahu 200  $\mu$ F je rychlosť přeběhu omezena na 100 V/ $\mu$ s, aby se zmenšil špičkový proud zkoušeného kondenzátoru. To zjednoduší výkonové dimenzování spínacích stupňů (tranzistory BC338, BC328) a stabilizátoru 5 V. Rychlosť přeběhu se přepíná přepínači G a H. Aby se zkrátil čas zotavení CA3130 z přebuzeného stavu, byla zvolena poněkud neobvyklá fázová kompenzace (4,7 pF, 100 pF + 1 k $\Omega$ , dělič 47 k $\Omega$  + 10 k $\Omega$ ). Obě diody 1N4148 mají za úkol tento čas ještě zkrátit.

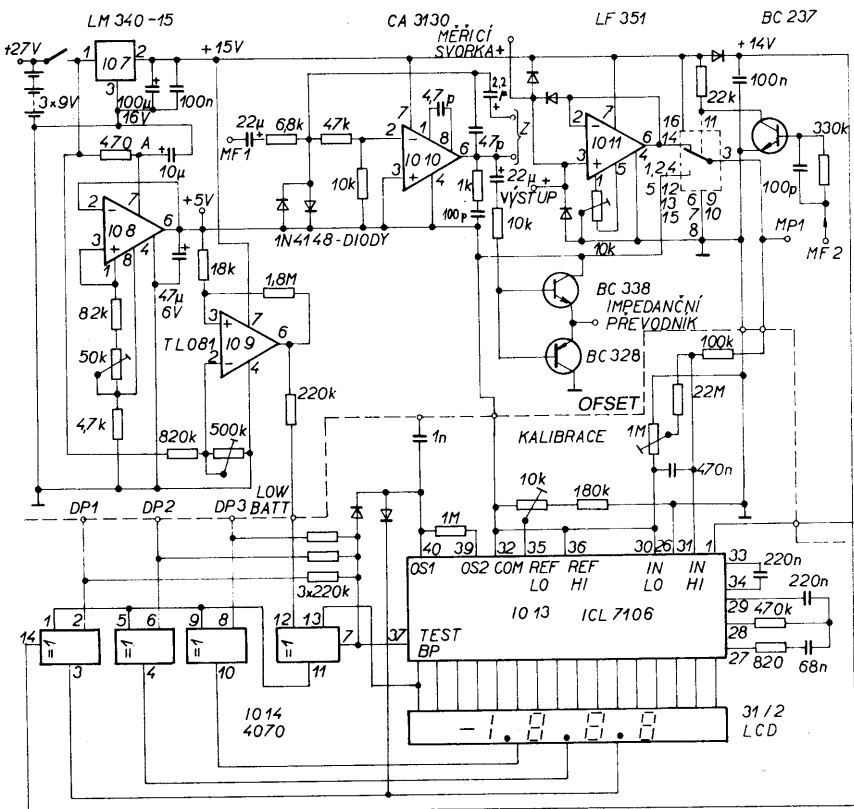
Takto získané mírně lichoběžníkovité napětí je omezeno přesně na +5 V a 0 V přebuzeným protitaktním emitorovým sledovačem. Potom je vedeno na měřicí obvod (skládá se z měřené součástky a příslušného měřicího rezistoru) a derivováno.

Bude-li měřicí obvod zapojen proti zemi (obr. 4a), pak by po skončení derivace kladného impulu ss proud tranzistorem n-p-n, měřicím rezistorem a cívku vyvolal úbytek napětí na činném odporu cívky. Tento úbytek  $U$ , by ovšem zkresil výsledek měření. Východiskem by bylo zpracovat derivaci záporné poloviny. Protože přístroj nemá záporné napájecí napětí pro následný budicí zesilovač, není to možné. Z těchto důvodů je měřicí obvod připojen na +5 V (obr. 4b). Tím je dosaženo, že kladné poloviny neobsahují žádné chybové ss napětí, proto mohou být dále zpracovány budicím zesilovačem a spínačem LF351. Jeho napájecí napětí je +15 V a proto nikterak neovlivňuje přenos signálu.

Cinný odpor cívky způsobuje, že se výsledné napětí zmenšuje. Měřicí od-



Obr. 2. Schéma zapojení oscilátoru s děliči



Obr. 3. Schéma zapojení analogové části

por je však dimenzován tak, že tato chyba může být zanedbána.

Velkým vstupním odporem OZ LF351 není „měřicí“ obvod prakticky vůbec zatěžován. Tři diody 1N4148 chrání OZ před poškozením a přebuzením.

Analogový spínač (4051) je řízen impulsy „měřicího kmitočtu 2“ tak, že propouští kladné půlvlny signálu a záporné signály zadružuje. K tomu musí „měřicí kmitočet 2“ způsobit přepnutí vždy krátce před příchodem náběžné hrany užitečného signálu. Signál „měřicí kmitočet 1“ je po průchodu IO CA3130 zpožděn asi o 1 až 1,5 μs. Tento předstih by ale byl na rozsahu 200 μH příliš velký (měřicí kmitočet 100 kHz – půlpérioda je 5 μs). Proto je „měřicí kmitočet 2“ proti „měřicímu kmitočtu 1“ zpožděn o 1 μs.

Střední hodnota měřeného napětí je úměrná měřené veličině. V nejjednodušším případě by mohlo být toto napětí filtrováno členem  $RC$  a přivedeno na převodník A/D. Takový filtrační člen by způsobil na rozsahu 200 μF (3,333 Hz) rušivě dlouhé integrační časy. Proto byla zvolena jiná metoda. Hodinový kmitočet převodníku A/D je na všech rozsazích zvolený tak, aby během integrace signálu proběhl vždy přesně celistvý počet period měřicího kmitočtu. Převodník tak potlačuje měřicí kmitočet a jeho vyšší harmonické a ukazuje proto stejnosměrnou složku měřeného napětí. Z tohoto důvodu musí být taktovací kmitočet snížen na rozsahu 200 μF na 13,333 kHz. Četnost měření je na tomto rozsahu 0,833 měření/s, zatímco u ostatních měření je 2,5 měření/s.

Člen  $RC$ , který se skládá z rezistoru 100 kΩ a kondenzátoru 0,47 μF, na

vstupu převodníku má vyfiltrovat měřené napětí jen tak, aby špičková a střední hodnota se příliš nelišily. Tím získáme velkou odolnost proti rušivým impulsům.

Pro kompenzaci kapacit a induktostí pívodních vodičů můžeme display využívat potenciometrem „offset“ (při měření  $L$  — zkratované přívody). Jako referenční napětí pro převodník A/D (ICL7106) slouží napájecí napětí +5 V. Dlouhodobá nebo teplotní změna tohoto napětí se neuplatní, protože je od něho současně odvozena i amplituda výkonového spínacího stupně a amplituda měřicího napětí na vstupu převodníku.

### Nastavení

Nastavování všech rozsahů začíná kompenzací nuly  $IO_{11}$ . LF351 potenciometrem 10 kΩ (napětí mezi vývody 2, 3 má být menší než 0,1 mV). Pro dosažení co největší přesnosti by měla být přesnost měřicích rezistorů lepší než 1 %. Potom přepneme přístroj na rozsah 200 μH (nejvyšší kmitočet), připojíme induktost 50 až 200 μH a na vývod 3  $IO_{12}$  (4051 — bod MP1) zapojíme osciloskop. Na osciloskopu je průběh z obr. 5. Potenciometr 25 kΩ ve zpožďovacím stupni (mezi dvěma invertory 4069) nastavíme tak, aby průběh odpovídal spodnímu obrázku, (křivka musí začínat přesně na nulové čáře).

Nakonec nastavíme trimr 10 kΩ (kalibrace) tak, aby displej přesně ukazoval induktost měřené referenční cívky.

Přístroj v uvedeném zapojení může být napájen jak ze tří baterií 9 V, tak ze síťového zdroje. Zmenší-li se napětí pod minimální mez, reaguje komparátor (TL081) a na displeji se signalizuje pokles napětí tak, že zapojená desetinná tečka zhasne a ostatní se aktivují. Pokud máme na displeji přímo nápis „Low batery“ nebo šipku, můžeme komparátorem přímo ovládat hradlo EX-OR a jím aktivovat tuto signalizaci. Úroveň spínání signalizace nastavíme potenciometrem 500 kΩ tak, aby se spínala asi při 15 V.

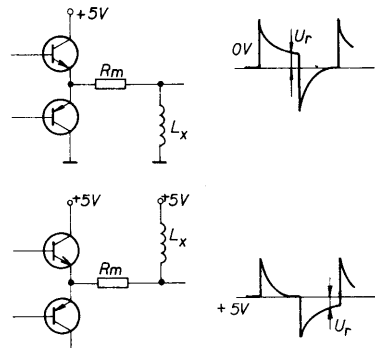
Jako tlačítkovou soupravu lze použít přepínače Isostat se sedmi závislými a jedním nezávislým tlačítkem. Každé tlačítko má šest přepínačních kontaktů.

### K použitým součástkám

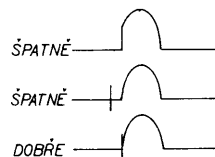
Použité číslicové obvody CMOS se u nás vyrábějí. Pouze invertory 4069 v naší řadě CMOS nejsou, ale jdou samozřejmě nahradit obvodem MHB4049. Obvod 4070 je úplně stejný jako obvod MHB4030. Převodník A/D ICL7106 se již má u nás vyrábět pod označením MHB7106. Operační zesilovače CA3130 a LF351 by bylo možné po menších úpravách nahradit operačním zesilovačem z NDR B081, který je shodný s OZ TL081. Diody 1N4148 odpovídají našim diodám KA206. Stabilizátor LM340-15 odpovídá stabilizátoru MA7815 (pouze se liší pouzdro). Operační zesilovač LM10 má vestavěný referenční zdroj. V přístroji slouží jako zdroj +5 V. Můžeme ho nahradit zapojením podle obr. 6 s obvodem MAA723.

### Literatura

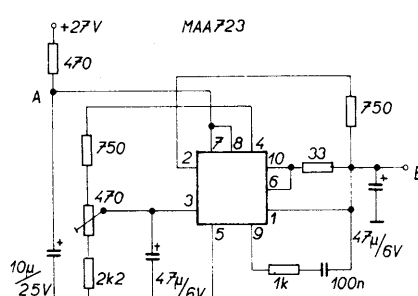
- [1] Funkschau 11/86
- [2] Rádiotechnika 5/88



Obr. 4. Zapojení měřeného obvodu (a — připojen proti zemi; b — připojen na napájecí napětí)



Obr. 5. Průběh signálu v bodu MP1

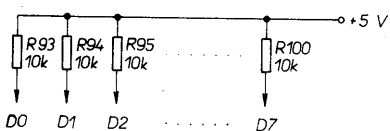


Obr. 6. Schéma zapojení náhrady LM10

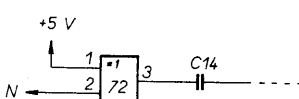
# OSOBNÍ MIKROPOČÍTAČE

(Dokončení z AR B1/89)

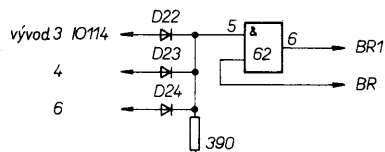
Vážení přátelé, doplňte si do AR B1/89 u obr. 34 k výstupům IO<sub>35</sub> (D0 až D7) rezistory takto



k obr. 48 je třeba za C<sub>14</sub> zapojit invertor



k obr. 44 je třeba ke vstupům D0, D1 a D2 IO<sub>114</sub> zapojit součástky podle obrázku



Tab. 1. Tabulka rozsahů a kmitočtů

Rozsah	Měřicí kmitočet	Takovací kmitočet
200 μH	100 kHz	40 kHz
2 mH	30 kHz	40 kHz
20 mH	3 kHz	40 kHz
200 mH	1 kHz	40 kHz
2 H	100 Hz	40 kHz
20 H	30 Hz	40 kHz
200 pF	30 kHz	40 kHz
2 nF	3 kHz	40 kHz
20 nF	3 kHz	40 kHz
200 nF	300 Hz	40 kHz
2 μF	30 Hz	40 kHz
20 μF	10 Hz	40 kHz
200 μF	3,333 Hz	13,333 kHz

Obr. 93. Výpis změn v paměti

Začátek změny: #0002 = 2  
32 3B SC 18 0C FF

Začátek změny: #0013 = 19  
2A 10 SC 18 0D

Začátek změny: #0025 = 37  
2B 18 03

Začátek změny: #0028 = 43  
3E 07 C3 AA 04

Začátek změny: #0061 = 97  
C3 C0 39 18 C7

Začátek změny: #0067 = 103  
CS DS ES DD ES FD ES DS  
CS DS C3 80 3B

Začátek změny: #04AA = 1194  
D3 FE 7C B5 CA 35 12 AF  
11 FF FF C3 CB 11 FE 10  
C2 8A 1C F1 C3 C1 38 00

Začátek změny: #04C7 = 1223  
00 15

Začátek změny: #0720 = 1836  
DE

Začátek změny: #072E = 1934  
CD A2

Začátek změny: #0791 = 1937  
18 1D DD ES D1 21 F0 FF  
19 06 0A 7E 3C 20 03 79  
80 4F 13 1A BE 23 20 01  
0C D7 10 F6 C3 F3 38

Začátek změny: #0971 = 2417  
CD 6E 0D 3E FD CD 01 16  
0E F6 0D 7E 00 CD A2 09  
FD CB 02 EE DD ES

Začátek změny: #0988 = 2440  
11 00 AF CD C2 04 DD E1  
06 19 76 10 FD DD 5E 0B  
DD 55 0C 3E FF DD C1 C3  
C2 04 CS FS SE 2A D7 3A

Začátek změny: #09A9 = 2473  
SC FS A7 20 12 ED 4E 4S  
SC CD 1B 1A 3E 3A D7 FD  
4E 0D 06 00 CD 1B 1A F1  
CD 39 15 F1 11 D7 09 CD  
0A 0C C1 C3 93 07 53 4R  
31 30 25 3F 3F 0A 80 50  
72 6F 67 72

Začátek změny: #09DE = 2526  
6D EA 41 72 72 61 79 EA  
41

Začátek změny: #09E8 = 2526  
72 61 79 20 24 EA 42 79  
74 65 73 EA

Začátek změny: #0A33 = 2611  
19

Začátek změny: #0A48 = 2632  
3B 0C

Začátek změny: #0CF9 = 3321  
50 6F 73 75 6E 20

Začátek změny: #0FDB = 4059  
01 00 00

Začátek změny: #0FDF = 4063  
58

Začátek změny: #0FE1 = 4065  
00 00 00

Začátek změny: #0FF9 = 4089  
CD 6E 38

Začátek změny: #105E = 4190  
CD A1 38

Začátek změny: #11CB = 4555  
F3 47 3E 3F ED 47 62 6B  
36 02 2B BC 20 FA A7 ED  
52 19 23 30 06 35 26 03  
35 28 F3 2B D9 ED 43 B4  
5C ED 53 38 5C 22 7B SC  
09 04 28 19 22 B4 SC 11  
BE 3A 01 A8 00 EB ED B8  
EB 23 22 7B SC 2B 01 1E  
1E ED 43 38 5C 22 B2 SC  
21 CA 5C 22 57

Začátek změny: #1221 = 4641  
80 23 22 59 SC 36 0D 00  
36 80 23 22 61 SC 22 63  
SC 22 65 SC 2A B2

Začátek změny: #1238 = 4664  
36 3E 2B F9 2B 2B 22 3D  
SC 3E 01 D3 FE 21 00 3C  
22 36 SC ED 56 FD 21 3A  
SC 11 B6 SC ED 53 4F SC  
21 AF 15 01 15 00 ED B0  
3E 0E 32 8D

Začátek změny: #1265 = 4709  
32 8F SC 32 48 SC 21 23  
05 22 09 SC FD 35 CG FD  
55 CA 21

Začátek změny: #1279 = 4729  
15 11 10 SC 01 0E 00 ED  
B0 FB FD CB 01 CE CD EB  
0E FD 36 31 02 CD 6B 0D  
AF 11 4C 39 CD 0A 0C FD  
CB 02 EE CU B0 16 C3 7E  
3C

Začátek změny: #12BD = 4797  
2A 5F SC 22 5B SC

Začátek změny: #1303 = 4867  
FB

Začátek změny: #1399 = 5017  
20 62 65 7A 20 20 46 4F  
D2 50 72 6F 60 65 6E 6E  
61 20 20 6E 65 6E 69

Začátek změny: #13B1 = 5041  
6E 61 6C 65 7A 65 6E E1  
43 63 79 62 6E 79

Začátek změny: #13C0 = 5056  
69 61 64 65 FB 4D 69 6D  
6F 20 70 61

Začátek změny: #13CE = 5070  
20 20 A0 4D 68 6D 6F  
20 6F 62 72 61 7A 20 20  
A0 43 69 73 6C 6F 20 6A  
65 20 20 76 65 6C 68 65  
52 45 54 55 52 4E 20 20  
62 65 7A 20 20 47 4F 53  
55 42 A0 48 6F 6E 65 63  
20 2H

Začátek změny: #1411 = 5137  
70 72 69 6B 61 7A

Začátek změny: #1418 = 5144  
6D A0 53 70 61 74 6E 79  
20

Začátek změny: #142A = 5162  
43 65 6C 61 20 63 61 73  
74 20 6D 6B 6D 6F

Začátek změny: #143A = 5178  
6F 7A 73 AE

Začátek změny: #143F = 5183  
65 73 6D 79 73 6C 20 75  
20 42 41 53 49 43 75 A0

Začátek změny: #145C = 5212  
6F 70 61 6B 75 6A ES 4D  
69 6D 6F 20 44 41 54

Začátek změny: #146C = 5228  
20 20 A0 43 68 79 62 6E  
65

Začátek změny: #1476 = 5238  
6A 6D 65 6E EF 4E 65 6E

Začátek změny: #1485 = 5253  
20 70 72

Začátek změny: #1488 = 5267  
20 72 61 64 65 EB

Začátek změny: #1494 = 5268  
76 20 49 4E 50 55 54 F5

Začátek změny: #14A0 = 5280  
62 65 7A 20 4E 45 58 D4  
43 68 79 62 61 20 49 2F  
4F 20 70 65 72 69 66 65  
72 69 ES 43 68 79 62 61  
72 65 45 41 4B 20 70 72

Začátek změny: #14D2 = 5330  
70 72 6F 67 72 61 6D FS  
43 68 79 62 6E 65 20 7A  
76 6F 6C 65 6E 79 20 52

Začátek změny: #1218 = 4633  
23 22 53 SC 22 4E SC

## NA ŽÁDOST ČTENÁŘŮ

uveřejňujeme dny, v nichž by měla vyjít další čísla Amatérského radia řady B (pro konstruktéry):

č. 2, Zajímavá a praktická zapojení, 13. 4.,

č. 3, Integrované obvody zemí RVHP VII, 8. 6.,

č. 4, Rozhlasové přijímače do auta, 3. 8.,

č. 5, (Příjem signálů z družic), 12. 10.,

č. 6, (Základy výpočetní techniky), 7. 12.,

u titulů v závorkách nejsou zatím v redakci k dispozici smluvně zajištěn rukopisy.

Dále upozorňujeme čtenáře, že podmínky dalšího ročníku konkursu AŘ na nejlepší amatérské konstrukce byly uveřejněny v AR A4, výsledky loňského ročníku konkursu byly uveřejněny v AR A3/89.



# Anritsu Instruments

World Leader in  
Optical Fiber Measurement Technology  
Phoenix Praha A.S., Ing. Havlicek, Tel.: (2) 69 22 906

**elsinco**

Obr. 94. Výpis programu ZAVADEC ZX-BASIC

```

SFE8 00 70 10 0C 10 10 70 00
3FF0 00 14 28 00 00 00 00 00
3FF6 3C 42 BD A1 A1 BD 42 3C

Copyright (C) HISoft 1983,4
All rights reserved

Pass 1 errors: 00

+HISoft GEN53M2 ASSEMBLER+
ZX SPECTRUM

Copyright (C) HISoft 1983,4
All rights reserved

Pass 1 errors: 00

1 *C-
10 ; **** ZAVADEC ****
20 ; *** ZX-BASIC ***
30 ;
40 ;
50 ;
60 ORG #SC36
70 ZAC DI
80 LD DE,#4000
90 LD IX,#8000
100 SCF ;LOAD
110 LD A,#FF
120 ;BEZ HLAVICKY
130 CALL #566
140 -----
150 ;
160 PRESUN LD DE,#8000
170 LD HL,ZAVAD
180 LD BC,K-ZAVU
190 LDIR ;PRESUN
200 JP #8000
210 -----
220 ;
230 ; *** ZAVADEC ***
240 ZAV LD A,128
250 OUT (128),A
260 ,BOOT=1
270 LD DE,0
280 LD IL,#9000
290 LD BC,#4000
300 LDIR ;DO RAM
310 IN A,(128)
320 ;ELON ZAPISU
330 RST 0
340 ;INICIALIZACE ZX
350 K NOP
360 PECTRA ADR=#556

Pass 2 errors: 00

K SC64 PRESUN 3044
ZAC SC66 ZAV SC52

Table used: 54 from 163
3C36 F3 11 00 40 00 21 00 90
3C3E 37 0E FF CD 56 05 11 00
3C46 50 21 52 3C 01 12 00 ED
3C4E 50 03 00 80 3E 80 D3 7E
3C56 11 00 00 21 00 90 01 00
3C5E 40 E10 B0 DE 7E C7 FF CA


```

Obr. 95. Hexa výpis programu ZAVADEC ZX-BASIC

```

9000 F3 21 00 F0 11 00 40 00
9002 21 00 90 37 3E FF CD 34
9010 00 00 ED 11 00 20 21
9015 00 01 12 00 ED 00 03 00
9020 50 3E 00 40 7E 11 00
9025 21 00 90 01 00 40 ED 00
9030 DE TE 07 00 14 0E 19 F3
9035 0E 0F 0C FE 00 00 00 00
9040 05 FE 1F 06 20 F5 02 4F
9045 BF CD 00 00 00 21 19 04
9050 10 FE 2B 7C 05 20 F5 00
9055 00 00 00 00 00 00 00 00
9060 00 00 00 00 00 00 00 00
9065 00 00 00 00 00 00 00 00
9070 00 00 00 00 00 00 00 00
9075 00 00 00 00 00 00 00 00
9080 00 05 00 18 1F 00 00 07
9085 00 00 00 00 00 00 00 00
9090 11 AD 00 79 1F 4F 13 18
9095 07 00 75 00 AD 00 DD 25
90A0 1B 00 00 52 2E 01 CD BF
90A5 00 00 00 CB 00 00 00 00
90B0 50 00 00 7C AD 07 7A
90B5 00 20 00 00 00 01 C9 00
90C0 C0 00 00 00 16 3D 20 FD
90C5 A7 04 C8 3E 7F DB FE 1F
90D0 00 A9 E6 20 28 F3 79 2F
90D5 4F F6 07 F6 08 D5 FE 3V
90E0 C9 00 00 00 00 00 00 00
90E5 00 00 00 00 00 00 00 00


```

Obr. 96. Výpis programu ZAVAD-ZX

```

0083 860 JR MARKER
0085 870 ;
0086 880 LOOP: EX AF,AF'
0086 890 NOP JR NZ,FLAG
0089 900 NOP ;JR NC,UE
RIFY
008A 920 LD (IX+0),L
008D 930 JR NEXT
008F 940 FLAG: RL C
0091 950 XOR L
0092 960 RET NZ
0093 970 LD A,C
0094 980 RRA
0095 990 LD C,A
0096 1000 INC DE
0097 1010 JR DEC
00A1 1020 EX AF,AF'
00A2 1100 LD B,#B2
00A4 1110 MARKER LD L,#01
1120 ;
1130 BITS8: CALL EDGE2
1140 RET NC
00A8 1150 LD A,#CB
00AC 1160 CP B
00AD 1170 RL L
00AF 1180 LD B,#B0
00B1 1190 JP NC,BITS8
00B4 1200 LD A,M
00B5 1210 XOR L
00B6 1220 LD H,A
00B7 1230 ;
00B8 1240 LD A,D
00B9 1250 OR E
00B0 1260 JR NZ,LOOP
00B1 1270 LD A,M
00B2 1280 CP #01
1290 ;
1300 ;
1310 ;
1320 EDGE2: CALL EDGE1
1330 RET NC
00C2 1340 EDGE1: LD A,#16
00C5 1350 DELAY DEC A
00C6 1360 JR NZ,DELAY
00C8 1370 AND A
1380 ;
1390 SAMPLE INC E
00CA 1400 RET Z
00CB 1410 LD A,#7F
00CD 1420 IN A,(#FE)
00CF 1430 RRA
00D0 1440 RET NC
00D1 1450 XOR C
00D2 1460 AND #20
00D4 1470 JR Z,SAMPLE
00D6 1480 LD A,C
00D7 1490 CPL
00D8 1500 LD C,A
00D9 1510 AND #07
00D8 1520 OR #08
00D0 1530 OUT (#FE),A
00DF 1540 SCF
00E0 1550 RET

Pass 2 errors: 00

BITS8 00A6 BREAK 0049
00A8 00A9 DELAY 00C5
EDGE1 00C3 EDGE2 00EF
FLAG 008F KONZ 0073
LEADER 005C LOAD 0034
LOOP 0085 MARKER 00A4
NEXT 009E SAMPLE 00C9
START 004A SYNC 006A
VERIFY 0089 WAIT 0050
ZAC 0000 ZAVAD 0021

Table used: 246 from 334

Obr. 97. Výpis programu karta EPROM

+HISoft GEN53M2 ASSEMBLER+
ZX SPECTRUM

Copyright (C) HISoft 1983,4
All rights reserved


```

Pass 1 errors 00

UVE  
39C9 102 TISK LD A,(HL) HL  
39CA 103 RST #10 SAE4 195 DEC HL  
39CB 104 INC L SAE5 196 LD SP,HL  
39CC 105 DJNZ TISK SAE6 197 EX DE,HL  
39CE 106 LD A,#00 SAE7 198 INC L  
39D0 107 RST #10 SAE8 199 PUSH HL  
39D1 108 LD A,DELHLA- STARTU  
39D2 109 ADD A,L SAE9 201 INC L  
39D3 110 LD L,A SAEH 202 INC L  
39D4 111 LD NZTAVEN NA HLAV SAEI 203 PUSH HL  
39D5 112 PRIPAONENIO DALSIHO SAEJ 204 PRESUN SOUBORU DANE  
39D6 113 JR TEST SAEK 205 PROGRAMU  
39D7 114 ----- SAEF 206 LDFILE POP HL  
39D8 115 ----- SAEI 207 LD C,(HL)  
39D9 116 TEST KLAUSNICE PRO RU 208 INC L  
39DA 117 PUKRACOVANI Z MENU SAEI 209 LD E,(HL)  
39DB 118 (NEBO) INYCH FUNKCI SAEI 210 V EC JE DELKA SOUBO  
39E0 119 UYBER CALL KEYSNC STUJE 211 TEST ZDA SOUBOR EXI  
39E1 120 INC E SAEI 212 T.J. MA DELKA RUZNO  
39E2 121 OR C SAEI 213 INC EC  
39E3 122 PUSH BC SAEI 214 LD A,B  
39E4 123 PUSH IX SAEI 215 OR C  
39E5 124 PUSH IY SAEI 216 JR Z,START  
39E6 125 EXX SAEI 217 DEC EC  
39E7 126 PUSH BC SAEI 218 INC L  
39E8 127 PUSH DE SAEI 219 VASTAVENI ADRESY SO  
39E9 128 JR Z,ZPRAC UDRU 220 EPROMU, ADRESA TEZ  
39E10 129 INC B SAEI 221 LD A,(HL)  
39E11 130 CP #15 SAEI 222 OUT (#7F),A  
39E12 131 JR Z,ZPRAC SAEI 223 LD E,A  
39E13 132 INC B SAEI 224 INC L  
39E14 133 CP #00 SAEI 225 LD A,(HL)  
39E15 134 JR Z,ZPRAC SAEI 226 OUT (#3F),A  
39E16 135 INC B SAEI 227 LD D,A  
39E17 136 CP #05 SAEI 228 PUSH DE  
39E18 137 JR Z,ZPRAC SAEI 229 USCHOVAT ADRESU EPR  
39E19 138 INC B SAEI 230 INC L  
39E20 139 CP #04 SAEI 231 LD E,(HL)  
39E21 140 JR Z,ZPRAC SAEI 232 INC L  
39E22 141 INC B SAEI 233 LD D,(HL)  
39E23 142 (EPROM DIR. MUZE OB M JE U 234 ADRESA SOUBORU V RA  
39E24 143 MAXIMALNE 6 POLOZE SAEI 235 INC L  
39E25 144 37 Bytech. KAZDA P SAEI 236 INC L  
39E26 145 MUZE OBSAHOVAT AZ M JE U 237 NASEDUJICIHO SOUBO  
39E27 146 TEST SPECIALNICH FU SAEI 238 PUSH HL  
39E28 147 PRO MENU SAEI 239 LD H,D  
39E29 148 NKCI SAEI 240 LD L,E  
39E30 149 CP #09 SAEI 241 ADRESA SOUBORU V RA  
39E31 150 JR NZ,LL1 SAEI 242 INC L  
39E32 151 LD HL,(#SCB0 SAEI 243 INC SP  
39E33 152 CP #05 SAEI 244 POP DE  
39E34 153 JR Z,ZPET SAEI 245 ADRESA SOUBORU V EP  
39E35 154 LL1 CP #1F SAEI 246 DELKA SOUBORU JE U  
39E36 155 JR Z,#3C36 SAEI 247 DEC SP  
39E37 156 CP #0E SAEI 248 DEC SP  
39E38 157 JR Z,ZPET SAEI 249 DEC SP  
39E39 158 BYLA STISKNUTA JINA SAEI 250 DEC SP  
39E40 159 NZZ 0-6, N, S, R SAEI 251 ULASTNI PRESUN SOUB  
39E41 160 JR UYBER SAEI 252 EPROM DO RAM  
39E42 161 ----- SAEI 253 PRESUN IN A,(#3F)  
39E43 162 LD HL,PRTEUF SAEI 254 LD (HL),A  
39E44 163 ZPRAC JP #3C7 SAEI 255 INC HL  
39E45 164 ----- SAEI 256 DEC EC  
39E46 165 ----- SAEI 257 INC E  
39E47 166 URCENI ADRESY PROGR SAEI 258 TEST ZDA JIZ EC=0  
39E48 167 EPROM DIR. SAEI 259 LD A,B  
39E49 168 ----- SAEI 260 OH C  
39E50 169 ORC #3C7 SAEI 261 POKUD EC=0, ZACNE S  
39E51 170 LD HL,PRTEUF SAEI 262 PRESUNOVAT DALSI SO  
39E52 171 LD H,D SAEI 263 JR Z,LDFILE  
39E53 172 OR A SAEI 264 LD A,E  
39E54 173 JR Z,LL3 SAEI 265 OR A  
39E55 174 LL2 LD A,DELHLA SAEI 266 JR NZ,PRESUN  
39E56 175 ADD H,L SAEI 267 NYNI JE POTREBA NAS  
39E57 176 LD L,H SAEI 268 TAVIT  
39E58 177 DJNZ LL2 SAEI 269 WYSSI BYTE ADRESY E  
39E59 178 LL3 LD A,(HL) SAEI 270 PROM  
39E60 179 INC A SAEI 271 270 INC D  
39E61 180 TEST ZDA HLAVICKA SAEI 272 LD A,D  
39E62 181 UYBRANEHO SAEI 273 OUT (#3F),A  
39E63 182 JR NZ,TISK SAEI 274 JR ,PRESUN  
39E64 183 ADD H,L SAEI 275 PROGRAM JE CEPLY PRE  
39E65 184 LD L,H SAEI 276 A JE INICIALIZOVAN  
39E66 185 LD L,A SAEI 277 STARTOVNI ADRESA:  
39E67 186 HL NASTAVEN NA PHRA SAEI 278 START POP HL  
39E68 187 UYBRANEHO PROGRAMU SAEI 279 POP HL  
39E69 188 EPROM DIR. SAEI 280 LD C,(HL)  
39E70 189 LD E,(HL) SAEI 281 INC L  
39E71 190 INC L SAEI 282 LD B,(HL)  
39E72 191 LD D,(HL) SAEI 283 LD H,B  
39E73 192 EX DE,HL SAEI 284 LD L,C  
39E74 193 V HL JE HODNOTA RAM SAEI 285 STARTOVNI ADRESA JE  
39E75 194 LD (RAMTOP), SAEI 286 EI  
39E76 195 LD (HL) SAEI 287 JP (HL)

Pass 2 errors 00

# KIKUSUI Oscilloscopes

Superior in Quality  
First class in Performance!

Product Sales & Technical Support: (305) 677-2296

**EPROM**

KEYSCN	028E	LDFILE	3AEC
LL1	3A05	LL2	3ACE
LL3	3A04	NAVRAT	3B8B
PRESUN	3B10	PRTEUF	5B00
RAMTOP	5C82	START	3B24
TEST	3960	TISK	39C9
UNVER	3907	ZPET	39C7
ZPRHC	3H10		

Table used 288 from 686

Obr. 98. Hexa výpis programu karta EPROM

3A0F	96	EB	22	B2	5C	26	F4	EB	I = 24	Adr. = 15582	#3CDE
3A0F	96	03	78	B1	28	9F	0E	2C	I = 25	Adr. = 23842	#5D22
3A0F	97	05	7F	5F	3C	7D	03	3F	I = 26	Adr. = 15524	#3500
3A0F	97	05	2C	5F	2C	5B	2C	E5	I = 27	Adr. = 7306	#1C8A
3B07	62	0B	33	33	D1	3E	3B	3B	I = 28	Adr. = 49947	#C31B
3B0F	3B	0B	3F	77	23	0B	1C	76	I = 29	Adr. = 2344	#0928
3B17	B1	28	D2	7B	B7	20	F2	14	I = 30	Adr. = 26573	#67CD
3B1F	7A	03	3F	18	EC	E1	E1	4E	I = 31	Adr. = 3360	#0020
3B27	2C	46	60	69	FB	E9	00	00	I = 32	Adr. = 52513	#CD21
3B2F	00	00	00	00	00	00	00	00	I = 33	Adr. = 33485	#82CD

Obr. 99. Tabulka vektorů přerušení pro ZX Spectrum

Adresy	rutin	pro ROM-Spectrum
I = 0	Adr. = 20430	*#FCE
I = 1	Adr. = 52816	#CE52
I = 2	Adr. = 22268	#56FD
I = 3	Adr. = 39020	#886C
I = 4	Adr. = 10418	#28B3
I = 5	Adr. = 2294	*#8F6
I = 6	Adr. = 29148	*#7100
I = 7	Adr. = 16039	#3EA7
I = 8	Adr. = 2088	*#0828
I = 9	Adr. = 65129	#FE69
I = 10	Adr. = 32802	*#8022
I = 11	Adr. = 58886	*#E608
I = 12	Adr. = 53183	#CFBF
I = 13	Adr. = 52503	*#CD17
I = 14	Adr. = 14367	*#381F
I = 15	Adr. = 27928	*#6018
I = 16	Adr. = 51984	*#CE10
I = 17	Adr. = 8728	*#2119
I = 18	Adr. = 52481	*#CD01
I = 19	Adr. = 49749	*#C255
I = 20	Adr. = 25705	*#6469
I = 21	Adr. = 51673	*#C909
I = 22	Adr. = 51568	*#C970
I = 23	Adr. = 12493	*#30CD

## INZERCE



Inzerci přijímá osobně s poštou Vydavatelství Naše vojsko, inzertní oddělení (inzerce ARB), Vladislavova 26, 113 66 Praha 1, tel. 26 06 51-9, linka 294. Uzávěrka tohoto čísla byla dne 30. 1. 1989, do kdy jsme museli obdržet úhradu za inzerát. Neopomeňte uvést prodejní cenu, jinak inzerát neuveřejníme. Text inzerátu pište čitelně, aby se předešlo chybám vznikajícím z nečitelnosti předloh.

## PRODEJ

IO AY-3-8500: NE555 (250, 25). M. Hubka, 270 35 Příčina 62.

Video-tuner Bosch VTU 25 s dálkovým ovládáním (2700). J. Dobřanský, nám. Českých bratří 13, 320 22 Plzeň, tel. 27 29 79.

### Socialistická organizace

koupí ihned

videokameru

systém VHS.

Tel. Pardubice, 39 44 11,

39 44 12.

CF 300 (200). D. Letaši, 020 54 Lysá p. Mak. 46.  
BFT, BFR90, 91, 96 (140, 70, 80, 75), UHF ant. zes. TAPT 31÷33k. 15 dB (360). E. Rádek, Londýnská 7, 120 00 Praha 2.

Výbojky IFK 120 (90). J. Kůra, Konrádova 11, 628 00 Brno.

Eeprom 2708 (100), MH8224 (30). K. Hanák, Vodní 21, 789 85 Mohelnice.

Děrovač a snímač děrné pásky Consul (1200, 1000); kazety s programy na ZX Spectrum (à 200); gramošasi amat. (600); osazené a část oživené desky na počítač podle ARB 6/83 (2000); čas. relé TM10 220 V/120 s (50); UB855D (100); digitrony 3x Z574M (60); 9x KPX81, MH3205, 2x K155LP8, 74S74, 74S00, další IO, tranz., vcelku (400). J. Cibulká, Kyselská 316/23, 418 01 Břeclav.

Konc. stupeň 2x 150 W/4 Ω so zdrojom (2000); Crossover 3 pásmá, 18 dB/okt. s FET IO (1300); videozos. so zdrojom - 3 výstupy pre nahrávanie (400); modul VKV IOR-CCIR stereo 1,5 μV/26 dB (500). A. Erent, Mýtna 31, 917 01 Trnava.

ICL7126 (600); CIC8035 (200); SAA1057 (500); CD4059 (80); K561KT3 (4066) (25); CD4046 (45); CD4047 (50); HEF4060 (50); CD4030 (20); XR2206 (350); TDA1029 (300); LM3900 (90); LF356 (60); CA3130 (100); CA3140 (120); NE556 (80); L7915 (60); TL084 (90). E. Sauman, Jabloneček 518/2, 031 01 Liptovský Mikuláš.

Elektronické přístroje a různé sučiastky po zrušení elektronické dielne. Najradšej všetko spolu. Hodnota cez 10 000 Kčs. Zoznam proti známke. M. Boldišová, Mlynská ul., 925 22 Veľké Uťany, okr. Galanta, tel. 07 36 17 51, s. Takács.

Programy pre Commodore C64 a Sinclair ZX Spectrum - (a 5÷20). Alebo vymením. Zoznam proti známke. M. Kocúr, Jesenského 1234/25, 024 01 Kysucké Nové Mesto.

BFR91 4 ks. BFR96 3 ks. BFT66 4 ks (305, 225, 540). L. Šťastna, Na Libuši 826, 391 65 Bechyně.

Indikátor dobíjania autobatérie počas jazdy (10× svet. diody) (200). J. Volkmer ml., Komsomolská 24, 960 01 Zvolen.

## KOUPĚ

Kryštalý 1 MHz, 10 MHz, 14 MHz, 35 MHz, priechodkové kondenzátory 1 nF a 2n2, sklenené priechody, BPYP46, MDA4431, BFR90, 91, 96, BF245C, vf ku prexit, bezvývodové kondenzátory malých kapacit. RNDR. J. Dluhos, Prostějovská 5, 080 01 Prešov, tel. 09 14 29 78 večer.

Tranzistory do PA stupňů VHF řady KT900, BFR90A, BFR91A, BFG65, BFQ69, BFW93 a jiné na SAT. L. Skalický, Kunčice 76, 561 51 p. Letohrad.

IR LEDy. K. Gigal, 783 85 Šumvald 91.

LM1035, 1036, 1040, U806, dekoder teletextu, osc. CI-94, BPW41, 34, CQY98, 99. M. Šeda, Výpustky 50, 622 00 Brno.

Osobní mikropočítač + pís. Stav + popis, cena – pisemně. M. Tomáš, 756 51 Zašová 35.

Počítač Atari 130 XE + dataset XC 12. R. Strouhal, Křížkovského 6, 789 01 Zábřeh.

Na Commodore VC-20 a ZX-81 programování ve strojovém kódu a jiné doplňky, moduly. Osciloskop 10 MHz. Nabídnete cenu. R. Sigmund, 753 56 Opatovice 129.

PU 310. J. Krejcárek, Vodslivy 9, 257 24 Chocerady.

## VÝMĚNA

Hry na Sharp MZ-800 nebo koupi m. Šenk, Fügnerovo nábr. 410, 664 01 Bielovice n. Svitavou.

# ČKD Praha, kombinát

Chcete pracovat v novém atraktivním prostředí?  
Chcete pracovat na nejmodernější výpočetní  
technice?

Chcete vidět jak se chová Vaše technické dílo?  
Chcete se podílet na programu automatizace?  
Čekáme na Vás – informujte se přímo v závodě!!!  
Možnost získání bytu!

**ČKD POLOVODIČE, Budějovická 5,  
Praha 4 – Nusle.**

Informace: tel. 412 2203, 412 2215, 412 2225

Na trase metra C  
Stanice: Mládežnická  
Budějovická

## Přijímáme:

programátory, systémové ing., prog. – analytiky, projektanty, teoret. kybernetiky a ing. silnoproudé i slaboproudé elektrotechniky pro vývoj složitých automatických systémů řízení dodávaných do tuzemsku i na export.

Přijímáme absolventy i přibuzných oborů ochotné se podílet na tomto programu, ať již v oblasti vývoje HW a SW automat. prostředků vyráběných a vyvýjených v ČKD POLOVODIČE, tak v oblasti projektování a návrhu systémů automatizovaného řízení technologických procesů a tech. objektů pro oblast teplých a studených válcoven, hutního a slevárenského průmyslu, cementáren, úpraven rud a dalších.

Domácí potřeby  
Praha  
prodejna Radioamatér  
Otevřeno máme: po-pá 8.30-18.00  
Naše tel. číslo: 20 19 46, 20 19 45  
Žižná 7  
Praha 1

Nabízíme zákazníkům za hotové a socialistickým organizacím na fakturu:

### INTEGROVANÉ OBVODY

MH5440, MH5450, MH5460, MH7460, MH7472, MHB4032, MAA225, MAA345, MBA225

### TRANZISTORY

GS502, GC500, GD608, GD609, GD617, GD619, GF501, GF502, GF503, GF504, GF506, KC148, KC149, KD616, SF240, KF124, KF503, KF504, KF506, KF507, KF508, KF517, KF621, KC507, KC508, KC509

### ELEKTRONKY

6P1P, 6C10P, PCF200, EL500

### DIODY

33NQ52, 40NQ70, KA202, KA203, KA223, KA224, KY702R, KY703R, KY704R, KT206/400, KT207/200 KT704, KT713, KT730/800, KT782, KY701, KY702, KY703, KY704, KY705, KY706, KY710, KYT11, KY712, KY715, KY717, KY718, KY719, KY721, KY722, KY723, KY724, KA206, KA207

Hroty a vložky do všech druhů gramofonů EUROPHON

### Zboží na dobírku nezasíláme!

O jednotlivých druzích součástek – integrovaných obvodech, tranzistorech, diodách, tyristorech i o dalších druzích prodávaného sortimentu – odporech, kondenzátořech, odporových trimrech, kondenzátorových trimrech, potenciometrech, konstrukčních součástkach, například přepínacích, konektorech, knoflicích a náhradních dílech atd. – o cenách a podmírkách dodání se informujte přímo ve specializované prodejně.

## Mezinárodní a meziměstská telefonní a telegrafní ústředna

v Praze 3, Olšanská 6

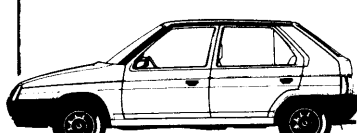
### přijme

techniky – inženýry pro vývoj a údržbu SW telekomunikačních zařízení.

Platové zařazení: podle ZEUMS II, podle dosaženého vzdělání a praxe, tř. 10–12 + osobní ohodnocení + prémie.

Pro mimopražské pracovníky zajistíme ubytování.

Informace osobně, písemně i telefonicky na č. telefonu 714 26 75, 27 28 53.



tradice  
kvalita  
spolehlivost



**ŠKODA**

## AZNP státní podnik Mladá Boleslav

### přijme špičkové odborníky

### systémové inženýry a programátory

pro zajištění mimořádných úkolů a řešení problémů z oblasti řídicích systémů  
a jejich programování.

Nabízíme: — výjimečné pracovní podmínky

— roční hrubý příjem až 75 000 Kčs (podle pracovních  
výsledků)

— možnost přidělení bytu

Nabídky s uvedením osobních údajů zasílejte kádrovému odboru AZNP s. p.  
Mladá Boleslav, PSČ 293 60. Dotazy na telefonu 0326 61 39 83.